



การพัฒนา กังหันลมแกนตั้งขนาดเล็กด้วยวัสดุคอมโพสิต
Development of a small vertical axis wind turbines with
composite material

นายวันชัย พูโน รหัส 51383652
นายวุฒิไกร กำเจียวน รหัส 51383676
นายอนันท์ธรรภัณฑ์ มาลา รหัส 51384758

ที่มาของเอกสารนี้	2 ต.ค. 2558 เวลา
ชื่อผู้รับ.....	/
เลขที่บ้าน.....	16430254
เบอร์โทรศัพท์.....	95.
บ้านเลขที่บ้าน.....	2426 A

2558

ปริญญาอินพนธ์นี้เป็นส่วนหนึ่งของการศึกษาหลักสูตรปริญญาวิศวกรรมศาสตรบัณฑิต
สาขาวิชาวิศวกรรมเครื่องกล ภาควิชาวิศวกรรมเครื่องกล
คณะวิศวกรรมศาสตร์ มหาวิทยาลัยนเรศวร
ปีการศึกษา 2555



ใบรับรองปริญญาบัณฑิต

ชื่อหัวข้อโครงการ	การพัฒนาภัณฑ์ทันสมัยแกนตั้งขนาดเล็กด้วยวัสดุคอมโพสิต		
ผู้ดำเนินโครงการ	นายวันชัย พูโน	รหัสนิสิต	51383652
	นายวุฒิไกร กำเขียว	รหัสนิสิต	51383676
	นายอนันท์ชัยวัฒ มาลา	รหัสนิสิต	51384758
ที่ปรึกษาโครงการ	ดร.ศลิษา วีรพันธุ์		
สาขาวิชา	วิศวกรรมเครื่องกล		
ภาควิชา	วิศวกรรมเครื่องกล		
ปีการศึกษา	2555		

คณะวิศวกรรมศาสตร์ มหาวิทยาลัยนเรศวร อนุมัติให้ปริญญาบัณฑิตนี้เป็นส่วนหนึ่ง
ของการศึกษาตามหลักสูตรวิศวกรรมศาสตรบัณฑิต สาขาวิชาวิศวกรรมเครื่องกล

.....ที่ปรึกษาโครงการ
(ดร. ศลิษา วีรพันธุ์)

.....กรรมการ
(รศ.ดร. มัท尼 สงวนเสริมศรี)

.....กรรมการ
(ดร. ภาณุ พุทธวงศ์)

ชื่อหัวข้อโครงการ	:การพัฒนา กังหันลมแกนตั้งขนาดเล็กด้วยวัสดุคอมโพสิต			
ผู้ดำเนินโครงการ	:นายวันชัย พูโน	รหัสนิสิต	51383652	
	นายวุฒิไกร กำเขียว	รหัสนิสิต	51383676	
	นายอนันท์ธนวัฒ มาลา	รหัสนิสิต	51384758	
ที่ปรึกษาโครงการ	:ดร.ศลิษา วีรพันธุ์			
สาขาวิชา	:วิศวกรรมเครื่องกล			
ภาควิชา	:วิศวกรรมเครื่องกล			
ปีการศึกษา	:2555			

บทคัดย่อ

วัตถุประสงค์ของโครงการนี้คือ ศึกษาเทคนิคการขึ้นรูปและคุณสมบัติของวัสดุคอมโพสิตแบบเรซิ่นเสริมไยแก้ว ทดสอบและเปรียบเทียบประสิทธิภาพและประสิทธิภาพเชิงกลของกังหันลมแกนตั้งขนาด 30×30 เซนติเมตร ในความเร็วลม 5.5 เมตรต่อวินาที โดยการทดสอบกังหันลม 2 แบบ คือ กังหันลมแกนตั้งชนิด 3 ในแบบใบโถง และกังหันลมแกนตั้งชนิด 3 ในแบบใบเรียบ โดยใบกังหันทำมาจากวัสดุคอมโพสิตแบบเรซิ่นเสริมไยแก้ว

ผลการทดสอบวัสดุคอมโพสิตแบบเรซิ่นเสริมไยแก้วในอัตราส่วนที่ต่างกัน 9 แบบ ทำให้ได้ข้อสรุปว่าอัตราส่วนที่ดีที่สุดคือ เรซิ่น 67.57 เปอร์เซ็นต์ ไฟเบอร์ริยแก้ว 29.73 เปอร์เซ็นต์ Styrenmonomer (ตัวทำละลาย) 2.03 เปอร์เซ็นต์ MEKP (ตัวทำแข็ง) 0.68 เปอร์เซ็นต์ มีค่าบัง醪ดูลัลส์ 7073.87 MPa ซึ่งสูดที่สุดใน 9 แบบ

ได้มีการนำเอาวัสดุคอมโพสิตแบบเรซิ่นเสริมไยแก้วในอัตราส่วนที่ทำการทดสอบที่ดีที่สุดมาสร้างใบพัดของกังหันลมแนวแกนตั้งแบบใบเรียบ 1 ชุดและแบบใบโถง 1 ชุดเพื่อนำมาทดสอบเปรียบเทียบประสิทธิภาพของกังหันทั้ง 2 ชนิด

ผลจากการทดสอบพบว่ากังหันลมแกนตั้งชนิด 3 ในแบบใบโถงมีประสิทธิภาพ 59.2 เปอร์เซ็นต์ และมีประสิทธิภาพเชิงกล 22.23 เปอร์เซ็นต์ กังหันลมแกนตั้งชนิด 3 ในแบบใบเรียบมีประสิทธิภาพ 56.25 เปอร์เซ็นต์ และมีประสิทธิภาพเชิงกล 9.82 เปอร์เซ็นต์ ข้อสังเกตค่าประสิทธิภาพของกังหันลมแกนตั้งตามงานวิจัยมีค่าสูงที่สุดที่เป็นไปได้เพียง 30 เปอร์เซ็นต์ แต่ผลจากการทดลองกลับได้ค่าประสิทธิภาพสูงถึง 59.2 เปอร์เซ็นต์ เป็นผลกระทบจากการทดลองในอุโมงค์ลมขนาดเล็กทำให้ประสิทธิภาพของกังหันสูงกว่าค่าทางทฤษฎี ตามงานวิจัยผลกระทบของอุโมงค์ลมขนาดเล็กที่มีต่อ กังหันแกนตั้ง และสมการที่ใช้ไม่ครอบคลุมตัวแปรที่เกี่ยวข้องทั้งหมด

Project title	:Development of a small vertical axis wind turbines with composite material		
Name	:Wanchai	Funoo	code 51383652
	:Woottikrai	Kakeaw	code 51383676
	:Anontawat	Mala	code 51384758
Project advisor	:Dr.Salisa Verapun		
Major	:Mechanical Engineering		
Department	:Mechanical Engineering		
Academic year	:2012		

Abstract

The purpose of this study is to investigate a hand-layup composite material forming technique to fabricate a flat and a curved turbine blade and the properties of the composite sheet under tensile test were observed. Thereafter, a small 3-blade vertical wind turbines were built and tested for overall performance under the wind speed of 5.5 meter per second.

The material properties testing results that, among 9 formulas, one of which contains 67.57 percent resin, 29.73 percent glass fiber, 2.03 percent Monostyren Monomer and 0.68 percent MEKP provides the highest modulus of 7073.87 MPa. This is chosen to furnish the turbine blade.

Conclusion of the test wind turbine vertical axis type 3 blades an efficiency of the turbine 59.2 percent and the mechanical performance of the turbine 22.23 percent. Wind turbines vertical axis type 3 blades flat plate, efficient turbines 56.25 percent and the mechanical performance of the turbine 9.82 percent. Observed the performance of wind turbines, vertical axis according to research with the highest possible is 30 percent, but the results of experiments on the efficiency of up to 59.2 percent as a result of experiments in the wind tunnel, a small performance of higher than the turbine theory. According to research the effects of small wind tunnel with a vertical axis turbine. And equations used do not cover all the relevant variables.

กิตติกรรมประกาศ

โครงการนี้สำเร็จลงได้ด้วยดี ผู้เขียนขอขอบพระคุณ ดร.ศลิษา วีรพันธุ์ เป็นอย่างสูงที่ได้ กรุณาให้คำปรึกษาชี้แนะแนวทางและช่วยแก้ปัญหาต่างๆ อันเป็นประโยชน์ยิ่งต่อการทำโครงการในครั้งนี้ให้สำเร็จลุล่วงไปได้ด้วยดี

ขอขอบพระคุณ อาจารย์ศิริกาญจน์ ขันสมฤทธิ์ ที่ช่วยให้คำปรึกษา แนะนำแนวทางในการทำโครงการนี้ และขอขอบพระคุณผู้ที่มีส่วนเกี่ยวข้องทุกท่านที่มีส่วนร่วมในการทำหรือให้ข้อมูลเป็นที่ปรึกษาการทำโครงการจนเสร็จสมบูรณ์ตลอดจนให้การดูแลและให้ความเข้าใจ ช้าพเจ้าขอขอบคุณไว้ ณ ที่นี่

ขอขอบพระคุณพ่อแม่สำหรับกำลังทรัพย์และกำลังใจที่สำคัญยิ่งและท่านอื่นๆ ที่ช้าพเจ้าไม่ได้กล่าวนามทุกท่านที่ได้ให้ความเมตตาและให้คำแนะนำช่วยเหลือในการจัดทำโครงการในครั้งนี้

ขอขอบพระคุณคณะวิศวกรรมศาสตร์ มหาวิทยาลัยนเรศวร ที่สนับสนุนโครงการสถานที่ และค่าใช้จ่ายบางส่วนของการทำโครงการนี้ และขอขอบพระคุณภาควิชาวิศวกรรมเครื่องกล เจ้าหน้าที่ประจำภาควิชาทุกท่านที่เอื้อเพื่อสถานที่ในการทำโครงการ

คณะกรรมการ
นายวันชัย พูโน^{พูโน}
นายวุฒิไกร กำเขียว^{กำเขียว}
นายอนันท์ชัยวัฒนา^{มาลา}
มีนาคม 2556

สารบัญ

	หน้า
ใบรับรองปริญญาบัณฑิต.....	ก
บทคัดย่อภาษาไทย.....	ข
Abstrac.....	ค
กิตติกรรมประกาศ.....	ง
สารบัญ.....	จ
สารบัญรูป.....	ช
สารบัญตาราง.....	ญ
สารบัญสัญลักษณ์และอักษรย่อ.....	ฉ
 บทที่ 1 บทนำ.....	 1
1.1 ความสำคัญและที่มาของปัจจุบัน.....	1
1.2 วัตถุประสงค์ของโครงการ.....	1
1.3 ขอบเขต.....	1
1.4 ประโยชน์ที่คาดว่าจะได้รับ.....	2
1.5 สถานที่ปฏิบัติงาน.....	2
1.6 อุปกรณ์ที่ใช้.....	2
1.7 งบประมาณที่ใช้.....	2
1.8 แผนการดำเนินงาน.....	3
 บทที่ 2 ทฤษฎีที่เกี่ยวข้อง.....	 4
2.1 พลังงานลม.....	4
2.2 การใช้พลังงานลมในประเทศไทย.....	4
2.3 ชนิดของกังหันลมแบบแกนตั้ง.....	5
2.4 ประสิทธิภาพของกังหันลม.....	7
2.5 วัสดุคอมโพสิต.....	11
2.6 คุณสมบัติของวัสดุคอมโพสิตที่พอลิเมอร์เป็นส่วนผสมหลัก(FRP).....	13
2.7 การรับแรงของวัสดุคอมโพสิต.....	13
2.8 ความสัมพันธ์ระหว่างความดันกับความเครียด(Stress-Strain Relationship).....	14
2.9 การทดสอบแรงดึงของพลาสติกตามมาตรฐาน ASTM D638 TYPE I.....	15
2.10 กังหันลมแกนตั้งชนิด 3 ใน แบบใบเรียน.....	17
2.11 กังหันลมแกนตั้งชนิด 3 ใน แบบใบโถ้ง.....	18

สารบัญ (ต่อ)

	หน้า
บทที่ 3 วัสดุคอมโพสิต.....	19
3.1 วัตถุประสงค์ในการขึ้นรูปวัสดุคอมโพสิต.....	19
3.2 ส่วนประกอบของวัสดุคอมโพสิต.....	20
3.3 สูตรการผสม.....	23
3.4 การขึ้นรูปวัสดุทดสอบเป็นแผ่นแบบ 1 ชิ้น และนำมารัดเป็นชิ้นงานตามมาตรฐาน ASTM D638 TYPE I.....	24
3.5 วัสดุและอุปกรณ์ในการทดสอบด้วยแรงดึง.....	27
3.6 วิธีการทดสอบ.....	27
3.7 ขั้นตอนการทดสอบแรงดึงวัสดุ.....	28
3.8 ผลการทดสอบ.....	33
3.9 วิเคราะห์ผลการทดลอง.....	34
3.10 สรุปผลการทดสอบ.....	35
บทที่ 4 วิธีการสร้างกังหันลมแกนตั้ง.....	36
4.1 รูปแบบของกังหันที่จะสร้าง.....	36
4.2 วัสดุและอุปกรณ์.....	37
4.3 วิธีการสร้างกังหัน.....	38
บทที่ 5 การทดสอบหาประสิทธิภาพของกังหันลมแกนตั้ง.....	49
5.1 การทดสอบประสิทธิภาพกังหันลมแกนตั้งที่ความเร็วลมประมาณ 5.5 เมตรต่อวินาที.....	49
5.2 ผลการทดสอบกังหันลมในอุโมงค์ลม กังหันลมแกนตั้งชนิด 3 ใบพัด.....	55
5.3 การคำนวณหาประสิทธิภาพกังหันลม.....	58
5.4 วิเคราะห์ผลการทดสอบกังหันลมแกนตั้งในอุโมงค์ลม.....	58
5.5 สรุปผลการทดสอบกังหันลมในอุโมงค์ลม.....	59
บทที่ 6 สรุปและข้อเสนอแนะ.....	61
บรรณานุกรม.....	62
ภาคผนวก ก การทดสอบแรงดึงของวัสดุเรซิ่นเสริมใยแก้ว.....	63
ภาคผนวก ข การทดลองกังหันลมแกนตั้งในอุโมงค์ลม.....	115
ภาคผนวก ค การคำนวณ.....	132
ภาคผนวก ง แบบร่างกังหันลมแกนตั้ง.....	136

สารบัญรูป

	หน้า
รูปที่ 2.1 กังหันลมแกนตั้งความเร็วต่ำ.....	4
รูปที่ 2.2 แบบกังหันลมที่ขับด้วยแรงฉุด ชนิดกังหันลมชาโวเนียส.....	5
รูปที่ 2.3 แบบกังหันลมที่ขับด้วยแรงยก ชนิดกังหันลมแดร์เรียส.....	6
รูปที่ 2.4 แบบกังหันลมต่างๆ.....	6
รูปที่ 2.5 กระบวนการทำงานของกังหันลม.....	7
รูปที่ 2.6 Control Volume กังหันลม.....	8
รูปที่ 2.7 การเปลี่ยนรูปพลังงานลมเป็นพลังงานไฟฟ้า.....	11
รูปที่ 2.8 วัสดุคอมโพสิต.....	11
รูปที่ 2.9 โครงสร้างภายในของวัสดุคอมโพสิต.....	12
รูปที่ 2.10 แสดงลักษณะแรงดึงที่กระทำต่อคอมโพสิต.....	13
รูปที่ 2.11 แสดงลักษณะคอมโพสิตที่ได้รับแรงกดอัด.....	13
รูปที่ 2.12 แสดงลักษณะแรงเฉือนที่กระทำต่อคอมโพสิต.....	14
รูปที่ 2.13 แสดงลักษณะแรงดัดที่กระทำต่อคอมโพสิต.....	14
รูปที่ 2.14 เส้นโค้งความเค้น-ความเครียด (Stress-Strain Curve).....	15
รูปที่ 2.15 มาตรฐานวัสดุทดสอบ ASTM D638 TYPE I.....	15
รูปที่ 2.16 ตัวอย่างกราฟแสดงผลการทดสอบมาตรฐานวัสดุทดสอบ ASTM D638 TYPE I.....	16
รูปที่ 2.17 กังหันลมใบเรียบตันแบบ.....	17
รูปที่ 2.18 กังหันลมใบโค้งตันแบบ.....	18
รูปที่ 3.1 ขัดผิวแม่แบบ.....	24
รูปที่ 3.2 การผสมสารเคมี.....	25
รูปที่ 3.3 ทาเรซินที่ผสมแล้วลงในแม่แบบ.....	25
รูปที่ 3.4 การวางไยแก้ว.....	25
รูปที่ 3.5 การประกอบแม่แบบ.....	26
รูปที่ 3.6 การตัดแบบโดยตัดตามแนวเส้นไย.....	26
รูปที่ 3.7 นำชิ้นงานทดสอบไปขัดด้วยกระดาษทราย.....	27
รูปที่ 3.8 ชิ้นงานคอมโพสิตที่ตัดตามมาตรฐาน ASTM D638 TYPE I.....	27
รูปที่ 3.9 เปิดเครื่องดึงวัสดุ.....	28
รูปที่ 3.10 เปิดโปรแกรมเครื่องดึง.....	28
รูปที่ 3.11 หน้าจอเครื่องดึง.....	28
รูปที่ 3.12 ตั้งค่าเริ่มต้น.....	29
รูปที่ 3.13 ติดตั้งชิ้นงานในเครื่องดึงเพื่อทำการทดสอบ.....	29

สารบัญรูป (ต่อ)

	หน้า
รูปที่ 3.14 กดปุ่ม New ก่อนจะทดสอบชิ้นงาน.....	30
รูปที่ 3.15 กดปุ่ม Start เพื่อทำการทดสอบการดึง.....	30
รูปที่ 3.16 กราฟแสดงผลข้อมูลค่าต่างๆ.....	30
รูปที่ 3.17 ปุ่ม Stop การใช้งาน.....	31
รูปที่ 3.18 ตารางผลการทดสอบ.....	31
รูปที่ 3.19 ทำการปิดโปรแกรม.....	31
รูปที่ 3.20 บันทึกข้อมูล.....	32
รูปที่ 3.21 ชิ้นงานก่อนทำการทดสอบ.....	34
รูปที่ 3.22 ชิ้นงานหลังทำการทดสอบ.....	34
รูปที่ 4.1 กังหันลมแกนตั้งชนิด 3 ในแบบใบเรียบ.....	36
รูปที่ 4.2 กังหันลมแกนตั้งชนิด 3 ในแบบใบโค้ง.....	36
รูปที่ 4.3 แสดงลักษณะของอะคริลิก.....	38
รูปที่ 4.4 แสดงลักษณะของการตัดเส้นไข่ไก่.....	38
รูปที่ 4.5 แสดงลักษณะการเตรียมน้ำยาเรซิ่น.....	39
รูปที่ 4.6 แสดงลักษณะแสดงการทำทับของน้ำยาเรซิ่น.....	39
รูปที่ 4.7 แสดงลักษณะแกะแบบออก.....	40
รูปที่ 4.8 แสดงลักษณะการตัดของแบบใบเรียบ.....	40
รูปที่ 4.9 แสดงลักษณะการผ่าเครื่องของห่อพีวีซีใช้ทำแม่พิมพ์.....	41
รูปที่ 4.10 แสดงลักษณะขัดมันด้วยเทียน.....	41
รูปที่ 4.11 แสดงลักษณะการวางทับกันของแผ่นพีวีซี 2 แผ่น.....	42
รูปที่ 4.12 แสดงลักษณะการตัดที่ได้ขนาดของใบโค้ง.....	42
รูปที่ 4.13 แสดงลักษณะลักษณะตุ๊กตาครอบคลังปืน.....	43
รูปที่ 4.14 แสดงแกนเพลาของกังหัน.....	43
รูปที่ 4.15 แสดงลักษณะการเชื่อมติดกันของตัววัดแรงบิด.....	44
รูปที่ 4.16 แสดงลักษณะการเจาะแผ่นอะคริลิก.....	45
รูปที่ 4.17 แสดงลักษณะการตัดแผ่นสังกะสีที่ได้.....	45
รูปที่ 4.18 แสดงลักษณะการพับและการเจาะจากจี้บี้ด.....	46
รูปที่ 4.19 แสดงตำแหน่งการวางตุ๊กตาอะคริลิก.....	46
รูปที่ 4.20 แสดงลักษณะการวางทำมุนกันของกังหันลมแบบใบเรียบ.....	47
รูปที่ 4.21 แสดงลักษณะการวางทำมุนกันของกังหันลมแบบใบโค้ง.....	47

สารบัญรูป (ต่อ)

	หน้า
รูปที่ 4.22 แสดงลักษณะการติดฉากจับยึดแบบထะกัน.....	47
รูปที่ 4.23 แสดงลักษณะการการสวมนื้อตอกกับตัวฉากจับยึด.....	48
รูปที่ 5.1 อุโมงค์ลม.....	49
รูปที่ 5.2 เครื่องวัดความเร็วลมชนิด testo 511.....	49
รูปที่ 5.3 เครื่องวัดความเร็วรอบ MULTIFUNCTIONAL ENGINE TACHOMETER 950-1495.....	50
รูปที่ 5.4 ตาชั่งสปริง.....	50
รูปที่ 5.5 ชุดประกอบใบพัดกังหันลมแนวแกนตั้ง.....	50
รูปที่ 5.6 ชุดประกอบกังหันลมแนวแกนตั้งกับอุโมงค์ลม.....	51
รูปที่ 5.7 แสดงตำแหน่งการวัดความเร็วลมโดยยึดจากด้านจากด้านหน้าของอุโมงค์ลม.....	52
รูปที่ 5.8 แสดงตำแหน่งการวางกังหันลม และตำแหน่งการวัดความเร็วลมหน้า – หลังกังหันลม ใน อุโมงค์ลมโดยยึดจากด้านบนของอุโมงค์ลม.....	52
รูปที่ 5.9 การประกอบกังหันลมเข้ากับอุโมงค์ลม.....	53
รูปที่ 5.10 แสดงการหมุนของกังหันลมก่อนทำการทดสอบ.....	53
รูปที่ 5.11 แสดงการวัดความเร็วลม.....	54
รูปที่ 5.12 แสดงการติดกระดาษเรืองแสงลงบนแผ่นอะคริลิกเพื่อที่จะวัดความเร็วรอบ.....	54
รูปที่ 5.13 แสดงการวัดทอร์ก (T).....	54
รูปที่ 5.14 แสดง contour plot ของความเร็วหน้าและหลังกังหันลมแบบใบเรียบ.....	55
รูปที่ 5.15 แสดง contour plot ของความเร็วหน้าและหลังกังหันลมแบบใบโค้ง.....	57

สารบัญตาราง

	หน้า
ตารางที่ 1.1 งบประมาณที่ใช้.....	2
ตารางที่ 2.1 ตารางเปรียบเทียบ ข้อดี – ข้อเสีย ของกั้งหันลมแกนตั้ง.....	7
ตารางที่ 3.1 วัสดุในการขึ้นรูปวัสดุคอมโพสิต.....	20
ตารางที่ 3.2 อุปกรณ์ในการขึ้นรูปวัสดุคอมโพสิต.....	21
ตารางที่ 3.3 ปริมาณส่วนผสมทั้ง 9 สูตร.....	23
ตารางที่ 3.4 ผลการทดสอบที่ได้ในสูตร A – D สูตรละ 5 ชิ้น.....	33
ตารางที่ 3.5 เปรียบเทียบค่าเฉลี่ยที่ได้ในการทดสอบทั้ง 9 สูตร.....	35
ตารางที่ 5.1 ผลการทดสอบความเร็วลมหน้าและหลังของกั้งหันลมแกนตั้งชนิด 3 ใน แบบใบเรียบ ในอุโมงค์ลม.....	55
ตารางที่ 5.2 ผลการวัดความเร็วรอบและแรงบิดของกั้งหันลมแกนตั้งชนิด 3 ใน แบบใบเรียบ.....	56
ตารางที่ 5.3 ผลการทดสอบความเร็วลมหน้าและหลังของกั้งหันลมแกนตั้งชนิด 3 ใน แบบใบโค้ง ในอุโมงค์ลม.....	56
ตารางที่ 5.4 ผลการวัดความเร็วรอบและแรงบิดของกั้งหันลมแกนตั้งชนิด 3 ใน แบบใบโค้ง.....	57
ตารางที่ 5.5 ผลการคำนวณประสิทธิภาพของกั้งหันลม.....	58
ตารางที่ 5.6 ผลการคำนวณประสิทธิภาพเชิงกลของกั้งหันลม.....	58

สารบัญสัญลักษณ์และอักษรย่อ

สัญลักษณ์	ความหมาย
A	พื้นที่รับลม (ตารางเมตร)
A_0	พื้นที่หน้าตัดที่รับแรง (ตารางเมตร)
C_p	สัมประสิทธิ์กำลังงาน (Power Coefficient)
D	เส้นผ่านศูนย์กลาง (เมตร)
E	Modulus of elasticity (นิวตันต่อตารางเมตร)
H	ความสูง (เมตร)
I	กระ杂质ไฟฟ้าที่วัดได้ (แอมป์)
l_0	ความยาวเริ่มต้น (มิลลิเมตร)
Δl	ความยาวที่ยืดออก (มิลลิเมตร)
MEKP	Methy Ethyl Ketone Peroxide Butanox M-60
ก	มวลอากาศ (กิโลกรัมต่อวินาที)
N	ความเร็วรอบ (รอบต่อนาที)
ຖ	ประสิทธิภาพ (เบอร์เซ็นต์)
P	กำลังไฟฟ้า (วัตต์)
P_a	กำลังลม (วัตต์)
P_w	กำลังลมที่กังหันลมดึงออกมาได้ (วัตต์)
ρ	ความหนาแน่น (กิโลกรัมต่อลูกบาศก์เมตร)
T	แรงบิด (นิวตันต่อมเมตร)
V	ความเร็วลม (เมตรต่อวินาที)
V_s	ความต่างศักย์ของกระแสไฟฟ้า (โวลต์)
ω	ความเร็วเชิงมุ่ง (เรเดียนต่อวินาที)
σ	ความเค้น (นิวตันต่อตารางเมตร)
ε	ความเครียด

บทที่ 1

บทนำ

1.1 ความสำคัญและที่มาของปัญหา

พลังงานลมเป็นพลังงานตามธรรมชาติที่เกิดจากความแตกต่างของอุณหภูมิ ความกดดันของบรรยากาศและแรงจากการหมุนของโลก สิ่งเหล่านี้เป็นปัจจัยที่ก่อให้เกิดความเร็วลมและกำลังลม เป็นที่ยอมรับโดยทั่วไปว่าลมเป็นพลังงานรูปหนึ่งที่มีอยู่ในตัวเอง ในปัจจุบันมนุษย์จึงได้ให้ความสำคัญ และนำพลังงานจากลมมาใช้ประโยชน์มากขึ้น เนื่องจากพลังงานลมมีอยู่โดยทั่วไป ไม่ต้องซื้อหามา เป็น พลังงานที่สะอาดไม่ก่อให้เกิดอันตรายต่อสภาพแวดล้อม และสามารถนำมาใช้ประโยชน์ได้อย่างไม่ รู้จักหมดสิ้น ซึ่งปัจจุบันได้มีการนำเอาพลังงานลมมาใช้ประโยชน์มากขึ้น แต่ในประเทศไทยบางพื้นที่ ยังมีปัญหาในการวิจัยพัฒนานำเอาพลังงานลมมาใช้งานเนื่องจากปริมาณของลมไม่สม่ำเสมอตลอดปี แต่ก็ยังคงมีพื้นที่บางพื้นที่สามารถนำเอาพลังงานลมมาใช้ให้เกิดประโยชน์ได้ เช่น พื้นที่บริเวณชายฝั่ง ทะเลเป็นต้น ซึ่งอุปกรณ์ที่ช่วยในการเปลี่ยนจากพลังงานลมออกมารูปพลังงานในรูปอื่น ๆ เช่น พลังงานไฟฟ้าหรือพลังงานกล เป็นต้น ได้แก่ กังหันลม ซึ่งนำไปสู่โครงการนี้

1.2 วัตถุประสงค์ของโครงการ

1.2.1 ศึกษาคุณสมบัติและเทคนิคการขึ้นรูปของวัสดุคอมโพสิตแบบเรซิ่นเสริมไยแก้ว

1.2.2 ศึกษาการนำวัสดุคอมโพสิตไปใช้ทำใบพัดกังหันลมขนาดเล็กแบบแกนตั้ง

1.2.3 ทดสอบและเปรียบเทียบประสิทธิภาพของกังหันลมแกนตั้งขนาดเล็กแบบใบเรียน 3 ใบ และใบโค้ง 3 ใบ

1.3 ขอบเขต

1.3.1 ทดสอบวัสดุคอมโพสิตเรซิ่นเสริมไยแก้วแบบท่อจากการขึ้นรูปด้วยมือ

1.3.2 สร้างกังหันลมแกนตั้งขนาดเล็ก แบบใบโค้ง 3 ใบ และแบบใบเรียน 3 ใบโดยใช้วัสดุ คอมโพสิตแบบเรซิ่นเสริมไยแก้ว

1.3.3 ทดสอบและเปรียบเทียบประสิทธิภาพเชิงกลของกังหันลมทั้ง 2 แบบภายใต้ความเร็ว ลมประมาณ 5.5 m/s

1.4 ประโยชน์ที่คาดว่าจะได้รับ

- 4.1 ได้เรียนรู้เทคนิคการขึ้นรูปของสตุคอมโพสิตแบบเรซิ่นเสริมไยแก้ว
- 4.2 ได้เรียนรู้อีกการสร้างใบพัดของกังหันโดยใช้สตุคอมโพสิตแบบเรซิ่นเสริมไยแก้ว
- 4.3 สามารถเปรียบเทียบประสิทธิภาพของกังหันลมทั้ง 2 แบบที่นำมาทดสอบได้

1.5 สถานที่ปฏิบัติงาน

คณะวิศวกรรมศาสตร์ มหาวิทยาลัยนเรศวร จังหวัดพิษณุโลก

1.6 อุปกรณ์ที่ใช้

- 1.6.1 อุโมงค์ลม
- 1.6.2 กังหันลมแกนตั้งแบบใบโถง 3 ใบ และแบบใบเรียบ 3 ใบ
- 1.6.3 เครื่องวัดความเร็วลม
- 1.6.4 เครื่องวัดความเรื้อรอบ
- 1.6.5 ตาชั่งสปริงขนาด 5 kg

1.7 งบประมาณที่ใช้

ตารางที่ 1.1 งบประมาณที่ใช้

ลำดับ	รายการ	ราคา	หน่วย
1	ค่ากังหันลม	1000	บาท
2	ค่าอุปกรณ์ทำฐานและตัวยึดกังหันลม	1000	บาท
3	ค่าใช้จ่ายการทำรูปเล่มรายงาน	500	บาท
4	อื่นๆ	500	บาท

1.8 แผนการดำเนินงาน

กิจกรรม	Pre - Project												Project												
	ก.ย.	ก.ค.	ก.พ.	ก.ย.	ก.ค.	ก.พ.	ก.ย.	ก.ค.	ก.พ.	ก.ย.	ก.ค.	ก.พ.	ก.ย.	ก.ค.	ก.พ.	ก.ย.	ก.ค.	ก.พ.	ก.ย.	ก.ค.	ก.พ.	ก.ย.	ก.ค.	ก.พ.	
	ก.ย. 2555												ก.ย. 2556												
1. โครงการศูนย์เรียนรู้แบบทั่วไป แบบ แผนพัฒนาบ้านเรือน																									
2. เส้นทางแบบทั่วไป																									
3. ศูนย์แบบทั่วไปชุมชน																									
4. สำนักงานแบบทั่วไปชุมชนและ เชิงพาณิชย์ (ศูนย์ห้าม)																									
5. ห้องเรียนแบบทั่วไปชุมชน																									
6. ตลาดแบบทั่วไปชุมชน																									
7. ห้องแบบทั่วไปชุมชนและห้องเรียน																									
8. สำนักงานศูนย์แบบทั่วไปชุมชน และห้องเรียน																									
9. ศูนย์แบบทั่วไปชุมชนและห้องเรียน																									
10. ศูนย์แบบทั่วไปชุมชนและห้องเรียน																									
11. ห้องเรียน																									

บทที่2

ทฤษฎีที่เกี่ยวข้อง

2.1 พลังงานลม

การเคลื่อนที่ของลมเกิดจากการที่มีอุณหภูมิในแต่ละสถานที่ต่างๆ แตกต่างกันโดยอากาศร้อนจะวิ่งเข้ามาแทนที่อากาศเย็นรวมทั้งการหมุนของโลกซึ่งทำให้มีการหมุนเวียนของลมเกิดขึ้นตลอดเวลา ลมเป็นพลังงานทดแทนที่ไม่มีวันหมดไปจากโลกใบนี้ ถ้าโลกยังคงหมุนอยู่และยังคงมีแสงอาทิตย์

การนำพลังงานลมมาใช้นั้นต้องทำการแปลงรูปพลังงานที่เกิดจากการเคลื่อนที่ของอากาศหรือที่เรียกว่า พลังงานจลน์ของลมเปลี่ยนมาเป็นพลังงานกล ในการเปลี่ยนรูปพลังงานจลน์ที่ได้จากการมาเป็นกำลังงานทางกลนั้น จะต้องมีอุปกรณ์ทางกลหรือกลไกที่จะต้องสร้างขึ้นมาเพื่อเปลี่ยนรูปของพลังงานโดยแบ่งออกได้หลายชนิดและหลายวิธี แต่ที่ได้รับความนิยมและถือว่าเป็นเครื่องกลไกที่มีประสิทธิภาพสูงเป็นที่ยอมรับโดยทั่วไปในขณะนี้คือเรียกว่า กังหันลม

2.2 การใช้พลังงานลมในประเทศไทย

จากการศึกษาแผนที่ศักยภาพพลังงานลมของประเทศไทย[1] โดยกรมพัฒนาพลังงานทดแทนและอนุรักษ์พลังงานพบว่า ความเร็วลมเฉลี่ยของประเทศไทยอยู่ในระดับปานกลางถึงต่ำ มีความเร็วลมเฉลี่ยประมาณ 4 เมตร/วินาทีโดยแหล่งศักยภาพพลังงานลมที่ดีที่สุดของประเทศไทยมีความเร็วลมเฉลี่ยประมาณ 6.4 เมตร/วินาทีขึ้นไปที่ความสูง 50 เมตร โดยจะอยู่ในแถบเทือกเขาและบริเวณชายทะเล

เนื่องจากประเทศไทยมีศักยภาพพลังงานลมที่ต่ำ การติดตั้งกังหันลมขนาดใหญ่จึงมักเกิดปัญหาเพราะว่า กำลังลมไม่เพียงพอต่อการผลิตกระแสไฟฟ้าของกังหันลมขนาดใหญ่ ซึ่งต้องการอยู่ประมาณ 12-15 เมตร/วินาที ทางเลือกที่เหมาะสมในการติดตั้งกังหันลมของประเทศไทยจึงควรเป็นกังหันแบบขนาดเล็กในช่วงกำลังลมที่เหมาะสม โดยในส่วนของกังหันลมผลิตกระแสไฟฟ้าความเร็วต่ำ ได้มีการออกแบบให้สามารถทำงานได้ที่ความเร็วลมต่ำถึงแสดงในรูปที่ 2.1



รูปที่ 2.1 กังหันลมแกนตั้งความเร็วต่ำ[2]

2.3 ชนิดของกังหันลมแบบแกนตั้ง

กังหันลมแบบแกนตั้ง (Vertical Axis Turbine (VAWT)) กังหันลมแนวแกนตั้ง เป็นกังหันลมที่มีแกนหมุนและใบพัดตั้งฉากกับการเคลื่อนที่ของลมในแนวราบ ซึ่งทำให้สามารถรับลมในแนวราบได้ทุกทิศทาง เช่น กังหันลมแดรรีอุส (Darrieus) และกังหันลมชาโวเนียส (Savonius) โดยกังหันลมแบบแกนตั้งมีกังหันลมแนวคิดใหม่ที่สร้างใบพัดให้รับลมในแนวแกนตั้งซึ่งหมายความว่ากับการใช้งานในพื้นที่ที่มีลมแรงมากๆ เช่น บริเวณชายทะเล เป็นต้น เนื่องจากการรับลมในแนวแกนตั้งจึงทำให้มีกำลังมากกว่า สำหรับการนำในไปประยุกต์ใช้ในการผลิตกระแสไฟฟ้าจากพลังงานลม โดยใช้รอบการทำงานประมาณ 100 - 300 รอบต่อนาที ประสิทธิภาพในการเปลี่ยนพลังงานต่ำ มีข้อจำกัดในการขยายให้มีขนาดใหญ่และการยกชุดใบพัดเพื่อรับแรงลม การพัฒนาจึงอยู่ในวงจำกัดและมีความไม่ต่อเนื่องในการพัฒนา ซึ่งกังหันลมแบบแกนตั้งสามารถแบ่งได้เป็น 2 แบบ คือ

2.3.1 กังหันลมที่ขับด้วยแรงดูด

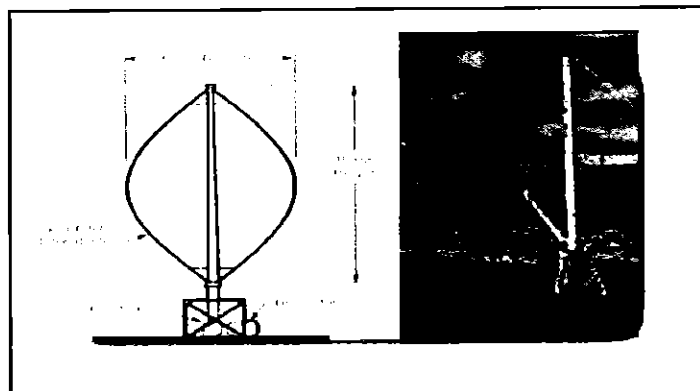
เป็นแรงที่ต่อต้านการเคลื่อนที่ของวัตถุในอากาศมีทิศทางขนานกับวัตถุที่เคลื่อนที่นั่นก็คือ แรงเสียดทานของอากาศที่ผ่านส่วนต่างๆ ของกังหันลม กังหันลมจะหันหน้าใบพัดเข้าสู่กระแสของลม ให้กังหันลมประเภทนี้มีแรงบิดสูงแต่ความเร็วรอบต่ำ เช่น แบบชาโวเนียสและแบบรูปคล้าย ที่รู้จักกันมาก คือ แบบชาโวเนียส เป็นกังหันแบบใช้แรงดูด



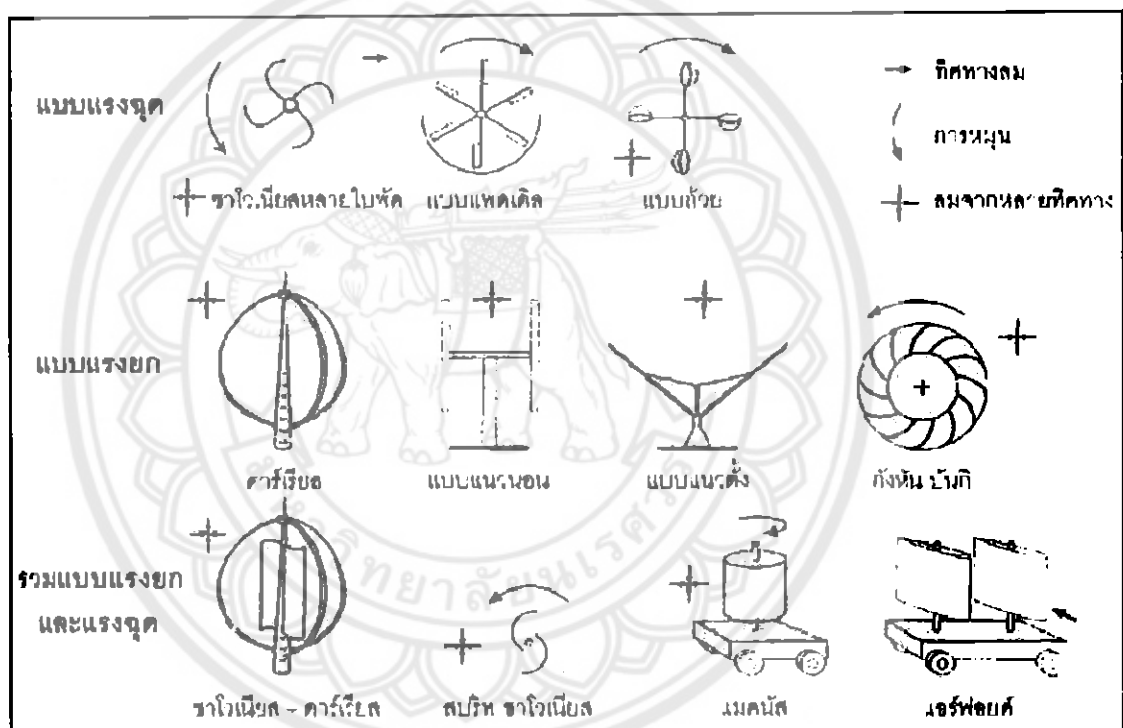
รูปที่ 2.2 แบบกังหันลมที่ขับด้วยแรงดูด ชนิดกังหันลมชาโวเนียส

2.3.2 กังหันลมที่ขับด้วยแรงยก

เกิดขึ้นโดยความกดอากาศต่ำที่เกิดขึ้นที่พื้นผิวทั้ง 2 ด้านของใบพัดไม่เท่ากันด้านที่มีระยะทางมากกว่าอากาศจะไหลผ่านเร็วกว่าจึงทำให้เกิดความกดอากาศต่ำตามหลักของ เบอร์นูลี ดังนั้นจึงทำให้เกิดแรงยก กังหันลมแกนตั้งที่ขับด้วยแรงยก จะหันข้างเข้าหากกระแสการไหลทำให้เกิดแรงในแนวตั้งจาก ซึ่งกังหันลมแบบนี้จะให้ความเร็วรอบสูง หมายความว่าการผลิตกระแสไฟฟ้า



รูปที่ 2.3 แบบกังหันลมที่ขับด้วยแรงยก ชนิดกังหันลมแดร์เรียส [3]

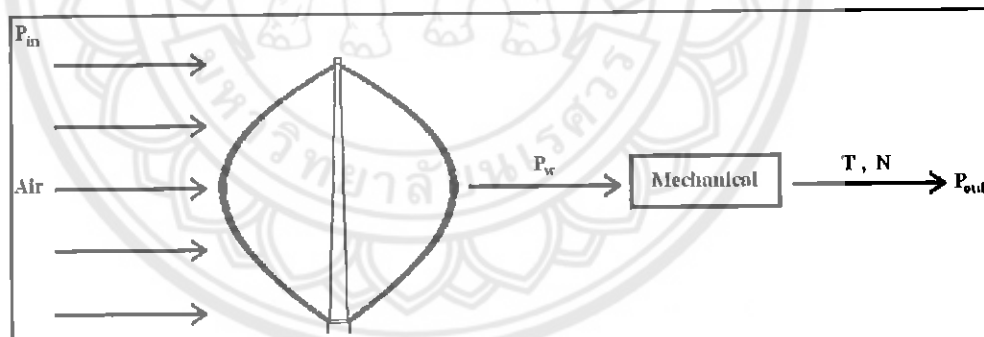


รูปที่ 2.4 แบบกังหันลมต่างๆ

ตารางที่ 2.1 ตารางเปรียบเทียบ ข้อดี – ข้อเสีย ของกังหันลมแบบตั้ง

ข้อดี	ข้อเสีย
- สามารถรับลมได้ทุกทิศทาง	- กังหันลมแบบตั้งมีข้อเสียตรงที่ เวลาลมพัดมาจะมีใบเพียงหนึ่งใบเท่านั้นที่จะรับลมเต็มที่ร้อยเปอร์เซ็นต์ เช่น ถ้ามีสองใบที่ติดตั้งห่างกัน ๑๘๐ องศา ก็จะมีหนึ่งใบรับลม อีกหนึ่งใบไม่รับลม นอกจานนี้ใบที่ไม่ได้รับลม ยังมีแรงลมตีด้านหลังใบ ทำให้มีแรงต้านเกิดขึ้นอีกด้วย ดังนั้นถ้าสังเกตตอนที่กังหันลมแบบนี้ตอนจะเริ่มหมุน มักจะออกตัวเริ่มต้นหมุนลำบาก
- ไม่ต้องมีทางใบบังคับให้ตัวกังหันหมุนเข้ารับลม	
- ออกแบบใบและสร้างได้ง่ายและประหยัด	
- สร้างสาขของกังหันลมได้ง่ายและประหยัด	
- ต่อเข้ากับอุปกรณ์ต่างๆในระบบได้ง่าย	
- การควบคุมและซ่อมบำรุงอุปกรณ์ต่างๆ ทำได้ง่าย เพราะสามารถติดตั้งกับพื้นดินได้	

2.4 ประสิทธิภาพของกังหันลม



รูปที่ 2.5 กระบวนการทำงานของกังหันลม

ประสิทธิภาพของกังหันลมวัดได้จากพลังงานกลที่ได้ออกมา (P_{out}) หารด้วยพลังงานลมที่ป้อนเข้า (P_{in})

$$\eta_{tot} = \frac{P_{out}}{P_{in}} \quad (1)$$

2.4.1 กำลังลม (Wind Power $P_a = P_{in}$)

ปริมาณของพลังงานลมในหนึ่งหน่วยเวลา (กำลังลม) คำนวณได้จากสมการพื้นฐาน พลังงาน
จลน'

$$P_{in} = \frac{1}{2} \dot{m} V^2 \quad (2)$$

$$\dot{m} = \rho A V \quad (3)$$

$$P_{in} = \frac{1}{2} \rho A V^3 \quad (4)$$

(ในกรณีที่อากาศเป็นการไหลแบบ incompressible, ρ = คงที่)

P_{in} = กำลังลม (วัตต์)

\dot{m} = มวลอากาศที่ตัดกระบทั้งจากกับทิศทางการไหล (กิโลกรัมต่อวินาที)

V = ความเร็วลม (เมตรต่อวินาที)

ρ = ความหนาแน่นมวลอากาศ 1.23 (กิโลกรัมต่อลูกบาศก์เมตร)

A = พื้นที่รับลมของกังหันโดยที่ $A = DH$ (ตารางเมตร)

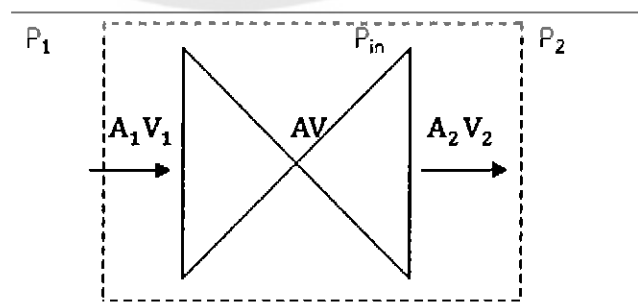
D = เส้นผ่าศูนย์กลาง (เมตร)

H = ความสูงของใบพัดกังหัน

2.4.2 กำลังที่กังหันลมสามารถดึงออกมากได้ (P_w)

จากกฎการอนุรักษ์พลังงาน (Law of Conservation of Energy) พลังงานไม่มีการสูญหายหรือสร้างขึ้นมาใหม่ได้ แต่เปลี่ยนรูปจากพลังงานแบบหนึ่งไปเป็นอีกแบบหนึ่งเท่านั้น เมื่อพิจารณาที่ตัวกังหันลมจากรูปที่ 1 สามารถเขียนความสัมพันธ์ของการเคลื่อนที่ต่อเนื่อง (Continuity Equations) ได้ดังนี้

$$A_1 V_1 = AV = A_2 V_2 \quad (5)$$



รูปที่ 2.6 Control Volume กังหันลม

เราพบว่ากำลังที่กังหันลมสามารถดึงออกมายได้นั้นดูจากความเร็วลม V_1 ที่มาประทับกับกังหันลม และความเร็วลม V_2 หลังกังหันลม

$$\text{จะได้ว่า} \quad V = (V_1 - V_2) \quad (6)$$

ดังนั้นกำลังที่กังหันลมสามารถดึงพลังงานลมออกมายได้โดยไม่คำนึงถึงการสูญเสีย

$$P_w = \frac{1}{2} \rho A (V_1^2 - V_2^2) \quad (7)$$

กฎการอนุรักษ์อัตราการไหลเชิงมวล(สมการความต่อเนื่อง)จะได้ดังนี้

$$\rho A_1 V_1 = \rho A_2 V_2 \quad (8)$$

ดังนั้น

$$P_w = \frac{1}{2} \rho A_1 V_1 (V_1^2 - V_2^2) \quad (9)$$

หรือ

$$P_w = \frac{1}{2} \dot{m} (V_1^2 - V_2^2) \quad (10)$$

จากรากฐานการอนุรักษ์โมเมนตัม โดยอากาศออกแรงบนกังหันลมสามารถแสดงได้ดังนี้

$$F = \dot{m} (V_1^2 - V_2^2) \quad (11)$$

ตามกฎข้อที่ 3 ของนิวตัน(แรงกริยาเท่ากับแรงปฏิกิริยา) แรงผลักด้วยถูกหักล้างกับแรงจากอากาศที่ไหลผ่านกังหันด้วยความเร็ว \dot{V} กำลังที่ต้องการคือ

$$P = F \dot{V} = \dot{m} (V_1 - V_2) \dot{V} \quad (12)$$

ดังนั้นกำลังกลได้รับแรงอากาศที่ไหลสามารถส่งพลังงานหรือกำลังก่อนและหลังกังหันลมที่ต้องรับภาระจากแรงผลักและความเร็วการไหล สมการแสดงความสัมพันธ์ความเร็วการไหล \dot{V} ดังนี้

$$\frac{1}{2} \dot{m} (V_1^2 - V_2^2) = \dot{m} (V_1 - V_2) \dot{V} \quad (13)$$

$$\dot{V} = \frac{1}{2} (V_1 + V_2) \quad (14)$$

ดังนั้นอัตราการไฟลเชิงมวลจะได้ดังนี้

$$\dot{m} = \frac{1}{4} \rho A \bar{V} = \frac{1}{2} (V_1 + V_2) \quad (15)$$

กำลังที่ได้จากหันสามารถแสดงได้ดังนี้

$$\frac{1}{4} \rho A (v_1^2 - v_2^2) (v_1 + v_2) \quad (16)$$

2.4.3 ประสิทธิภาพของกังหันลม (Wind turbine Efficiency - η_T)

ประสิทธิภาพของกังหันลม (Wind turbine Efficiency - η_T) คืออัตราส่วนระหว่างกำลังที่ได้รับจากกังหันลม (P_w) กับกำลังลม (P_{in})

$$\eta_T = \frac{P_w}{\frac{1}{2} \rho A V_1^3} \quad (17)$$

η_T ประสิทธิภาพของกังหันลม ไม่ได้คำนึงถึงความสูญเสียจากพื้นเพื่องและกลไกที่ส่งกำลังเบร์จ

P_w = กำลังลมที่กังหันสามารถดึงออกได้

ρ = ความหนาแน่นของอากาศ

A = พื้นที่รับลมของกังหันโดยที่ A = DH (ตารางเมตร)

2.4.4 ความสัมพันธ์ระหว่างแรงบิดและกำลัง (P_{out})

$$P_{out} = T \omega = T \frac{2\pi N}{60} \quad (18)$$

ω = ความเร็วเชิงมุมมีค่าเท่ากับ $\frac{2\pi N}{60}$ (rad /s)

N = ความเร็วรอบของเพลา (rpm)

T = โมเมนต์หรือแรงบิดที่เกิดขึ้น (N/m)

2.4.5 ประสิทธิภาพเชิงกลของกังหันลม (Mechanical Efficiency - η_M)

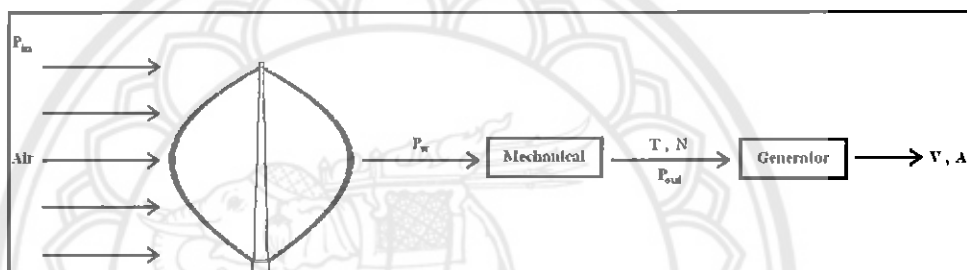
ประสิทธิภาพเชิงกลของกังหันลม (Mechanical Efficiency – η_M) คืออัตราส่วนระหว่างกำลังงานที่ได้รับจากกังหันลม (P_{out}) กับกำลังลม (P_{in})

$$\eta_M = \frac{P_{out}}{P_{in}} \quad (19)$$

$$\eta_M = \frac{T \cdot \omega}{\frac{1}{2} \rho A V_1^3} \quad (20)$$

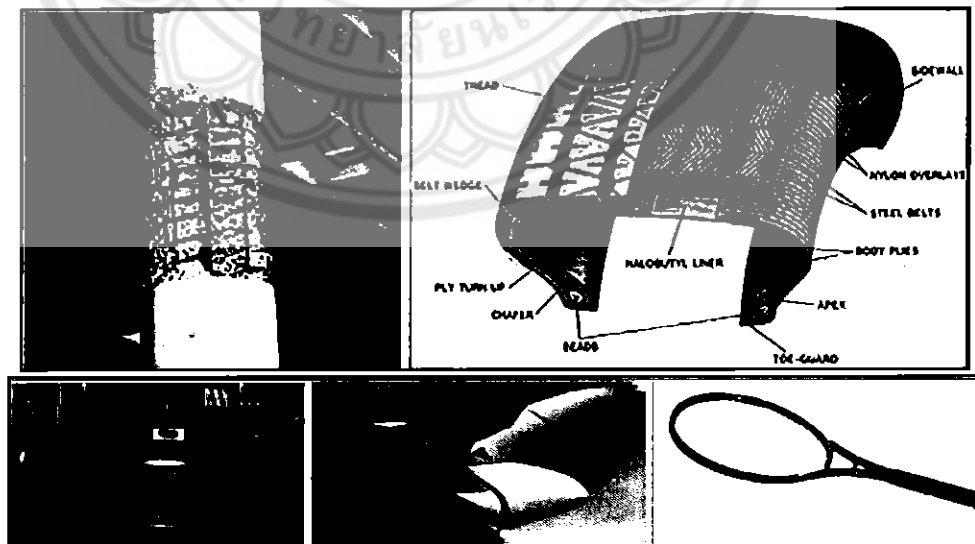
2.4.6 การเปลี่ยนรูปพลังงานลมเป็นพลังงานไฟฟ้า

พลังงานลมซึ่งเกิดจากการเคลื่อนที่ของมวลอากาศที่มีความเร็วค่าหนึ่ง (พลังงานลม) เปลี่ยนรูปไปเป็นพลังงานทางกลด้วยแรงบิดและความเร็วของแกนหมุนกังหัน พลังงานกลจากแกนหมุนของกังหันจะถูกเปลี่ยนรูปไปเป็นพลังงานไฟฟ้าโดยเครื่องกำเนิดไฟฟ้าที่ถูกเชื่อมต่อกับแกนหมุนของกังหันลมในรูปของกระแสไฟฟ้าและความต่างศักย์ ดังแสดงในรูปที่ 2.8



รูปที่ 2.7 การเปลี่ยนรูปพลังงานลมเป็นพลังงานไฟฟ้า

2.5 วัสดุคอมโพสิต (Composites Materials)

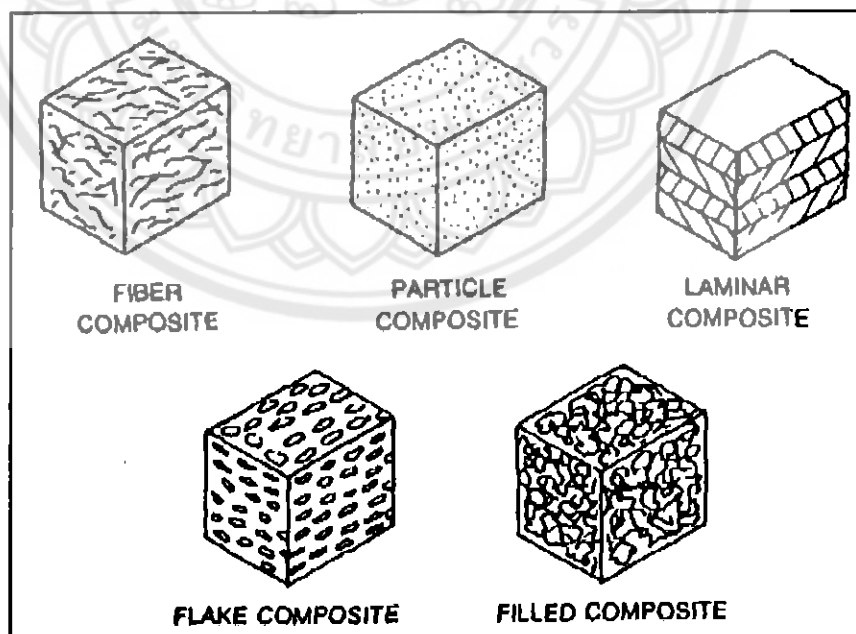


รูปที่ 2.8 วัสดุคอมโพสิต (Composites Materials) [4]

วัสดุคอมโพสิต (Composite) เป็นวัสดุที่ประกอบด้วยการรวมวัสดุมากกว่า 2 ประเภทเข้าด้วยกัน โดยทั่วไปวัสดุคอมโพสิตจะมีวัสดุที่เป็นเนื้อหลัก (matrix) และวัสดุเสริมแรง (reinforcement materials) ที่กระจายตัวอยู่ในเนื้อหลักนั้น วัสดุที่เป็นเนื้อหลัก จะรองรับวัสดุเสริมแรงให้อยู่ในรูป่างที่กำหนด ขณะที่วัสดุเสริมแรงจะช่วยเพิ่ม หรือปรับปรุงสมบัติเชิงกลของวัสดุเนื้อหลัก ให้สูงขึ้น ซึ่งวัสดุเสริมแรงอาจมีลักษณะเป็นเส้น ก้อน อนุภาค หรือเกล็ดก็ได้ แทรกอยู่ในวัสดุเนื้อหลัก (base materials) อย่างโลหะ เชรามิกส์ หรือพอลิเมอร์ ผลของการรวมวัสดุต่างกัน 2 ประเภทเข้าด้วยกันทำให้วัสดุคอมโพสิตมีความแข็งแรง โดยรวมมากกว่าเมื่อเทียบกับ ความแข็งแรงของวัสดุแต่ละประเภทโดยลำพัง

ปัจจุบันวัสดุคอมโพสิตแบ่งออกเป็น 3 ประเภทคือ กลุ่มที่มีพอลิเมอร์เป็นส่วนผสมหลัก (fiber-reinforced polymers, FRP) กลุ่มที่มีเซรามิกเป็นส่วนผสมหลัก (ceramic-matrix composite, CMC) และกลุ่มที่มีโลหะเป็นส่วนผสมหลัก (metal-matrix composite, MMC) นอกจากนี้ วัสดุคอมโพสิตแบ่งได้ตามลักษณะของตัวเสริมแรง ได้แก่

- 2.5.1 ตัวเสริมแรงมีลักษณะเป็นเส้นใย (Fibrous Composites)
- 2.5.2 ตัวเสริมแรงมีลักษณะเป็นเส้นใยสั้นแบบสุ่ม (Random/Short Fiber)
- 2.5.3 ตัวเสริมแรงมีลักษณะเป็นเส้นใยยาว/เส้นใยต่อเนื่อง (Continuous/Long Fiber)
- 2.5.4 ตัวเสริมแรงมีลักษณะเป็นอนุภาค (Particulate Composites)
- 2.5.5 ตัวเสริมแรงมีลักษณะเป็นชิ้นเล็กๆ (Flake Composites)
- 2.5.6 ตัวเสริมแรงมีลักษณะเป็นสารตัวเติม (Filled Composites)
- 2.5.7 ตัวเสริมแรงมีลักษณะเป็นชั้นหรือชั้นแผ่น (Laminar or Layered Composites)



รูปที่ 2.9 โครงสร้างภายในของวัสดุคอมโพสิต (Composites Materials)

2.6 คุณสมบัติของวัสดุคอมโพสิตที่มีพอลิเมอร์เป็นส่วนผสมหลัก(FRP)

2.6.1 สมบัติของเส้นใยเสริมแรง

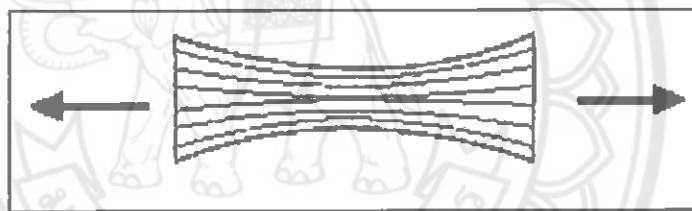
2.6.2 สมบัติของพอลิเมอร์(เรซิ่น)

2.6.3 สัดส่วนของเส้นใยเสริมแรง

โดยทั่วไปการขึ้นรูปผลิตภัณฑ์คอมโพสิต เช่น เรือไฟเบอร์กลาสจะนิยมขึ้นรูปด้วยวิธีที่เรียกว่า แอนด์เลย์อัพ (hand lay-up) ซึ่งจะมีสัดส่วนของเส้นใยเสริมแรงประมาณ 30-40% แตกต่างจากชิ้นงานคอมโพสิตที่ใช้ในอุตสาหกรรมการบิน และอวากาศที่ผลิตด้วยเทคโนโลยีขั้นสูงจะมีสัดส่วนของเส้นใยประมาณ 70% การจัดเรียงตัว (orientation) ของเส้นใยในคอมโพสิต เนื่องจากเส้นใยเสริมแรงให้ค่าสมบัติเชิงกลตามแนวยาวสูงกว่าแนวขวาง ดังนั้นหากเส้นใยในคอมโพสิตมีการจัดเรียงตัวไปในทิศทางเดียวกันแล้ว สมบัติเชิงกลของวัสดุคอมโพสิตที่แสดงออกมาจะมีค่าแตกต่างกัน ตามแนวแรงที่กระทำ ดังนั้นสิ่งสำคัญอย่างหนึ่งที่ต้องพิจารณาตั้งแต่การออกแบบคือ ขนาดและลักษณะแรงที่กระทำต่อชิ้นงาน

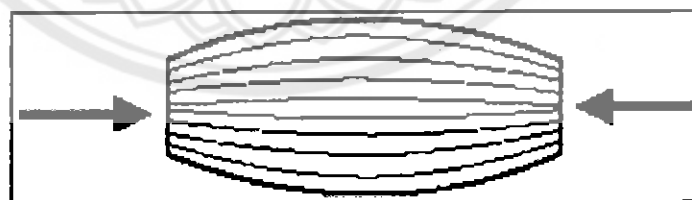
2.7 การรับแรงของวัสดุคอมโพสิต

การรับแรงของวัสดุ โดยทั่วไปแรงที่กระทำต่อวัสดุมีด้วยกัน 4 ประเภท คือ



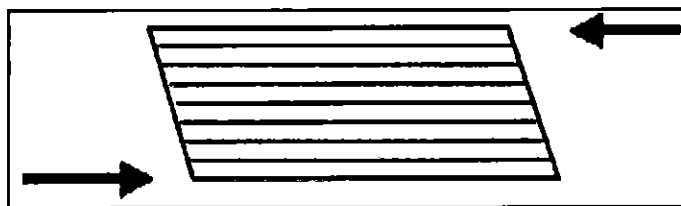
รูปที่ 2.10 แสดงลักษณะแรงดึงที่กระทำต่อวัสดุคอมโพสิต

แรงดึง (Tension) รูปที่ 2.10 แสดงลักษณะแรงดึงที่กระทำต่อวัสดุคอมโพสิต การตอบสนองต่อแรงกระทำของวัสดุขึ้นอยู่กับแรงดึง และความแข็งแรงเชิงกลของเส้นใยเสริมแรงที่ใช้



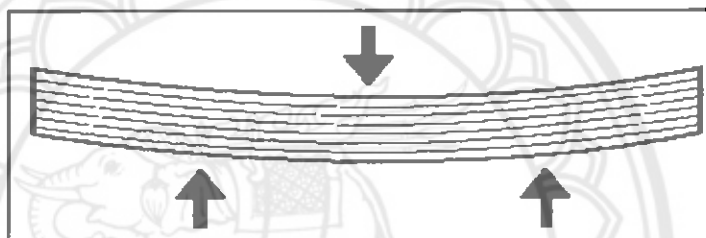
รูปที่ 2.11 แสดงลักษณะคอมโพสิตที่ได้รับแรงกดอัด

แรงกดอัด (Compression) รูปที่ 2.11 แสดงลักษณะคอมโพสิตที่ได้รับแรงกดอัด ในสภาพนี้ความแข็งแรงของวัสดุจะขึ้นกับสมบัติความแข็งดึง และการยึดติด (adhesion) ของเนื้อพอลิเมอร์เป็นหลัก เนื่องจากพอลิเมอร์ทำหน้าที่ห่อหุ้มเส้นใยเสริมแรงให้อยู่ในลักษณะเส้นตรง และป้องกันไม่ให้เส้นใยโค้งงอ



รูปที่ 2.12 แสดงลักษณะแรงดึงเดือนที่กระทำต่อวัสดุคอมโพสิต

แรงเฉือน (Shear) ลักษณะแรงที่กระทำต่อวัสดุคอมโพสิตมีทิศทางตรงข้ามกัน และแนวแรงอยู่ต่างระดับกัน ดังรูปที่ 2.12 ภายใต้สภาวะแบบนี้พลิเมอร์จะมีบทบาทอย่างมากในเรื่องการยึดติดกับเส้นใยเสริมแรงไม่ใช่ในเรื่องสมบัติความแข็งแรงเชิงกล โดยเฉพาะอย่างยิ่งในวัสดุคอมโพสิตที่มีการเรียงเส้นใยเสริมแรงเป็นชั้นๆ



รูปที่ 2.13 แสดงลักษณะแรงดัดที่กระทำต่อวัสดุคอมโพสิต

แรงดัด (Flexure) ลักษณะของแรงที่กระทำกับวัสดุมีลักษณะผสมของแรงดึง แรงเฉือน และแรงกดอัตรา 3 แรงเข้าด้วยกัน รูปที่ 2.13 แสดงลักษณะแรงดัดที่กระทำต่อคอมโพสิต เห็นได้ว่า กีกกลางของด้านบนของวัสดุถูกแรงกดอัดกระทำ ขณะที่ใต้วัสดุจะถูกแรงยืดและแรงเฉือนจากการยึดตัวของวัสดุ

2.8 ความสัมพันธ์ระหว่างความเค้นกับความเครียด (Stress-Strain Relationship)

ความสัมพันธ์ที่เกิดขึ้นระหว่างความเค้น และความเครียดในโลหะ ความสัมพันธ์นี้จะเกิดขึ้นก็ต่อเมื่อวัสดุถูกแรงกระทำจนความเค้นเพิ่มขึ้น ความเครียดก็จะเพิ่มขึ้นด้วย หรือความเครียดเพิ่มขึ้น ความเค้นก็จะเพิ่มขึ้นตามไปด้วย อัตราส่วนความเค้นต่อความเครียดจะเป็นสัดส่วนแบบเชิงเส้นถึงค่าหนึ่งจากนั้นก็จะไม่เป็นเชิงเส้น วัสดุจะเริ่มเข้าสู่การเสียรูปจากรูปร่างเดิม จนเกิดความเสียหาย โดยวัสดุแต่ละชนิดจะมีค่านี้ไม่เท่ากัน

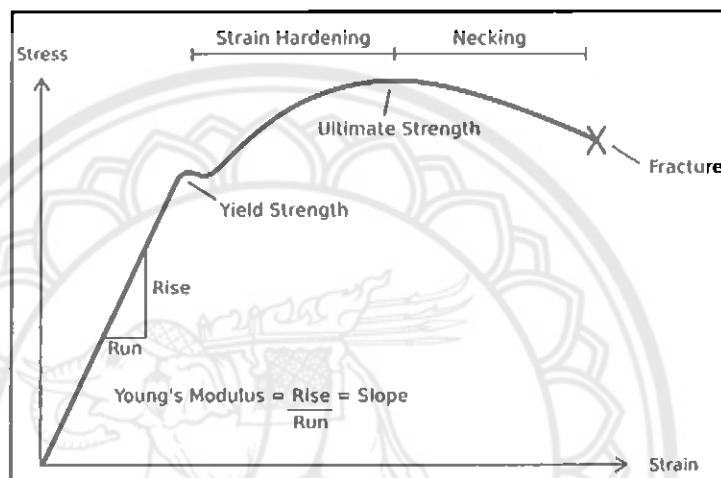
อัตราส่วนความเค้นต่อความเครียดของวัสดุเราเรียกว่า โมดูลัสความยืดหยุ่น หรือค่าyoung โมดูลัส (Modulus of elasticity or Young's Modulus : E) หน่วยที่ได้เหมือนกับความเค้น (N/m^2) ส่วนสมการที่ใช้คำนวณความเค้นต่อความเครียด เป็นดังนี้

$$E = \frac{\text{ความเค้น} (\sigma)}{\text{ความเครียด} (\epsilon)} \quad (12)$$

$$\text{ความเค้น } (\sigma) = \frac{\text{แรง } (F)}{\text{พื้นที่หน้าตัด } (A)} \quad (13)$$

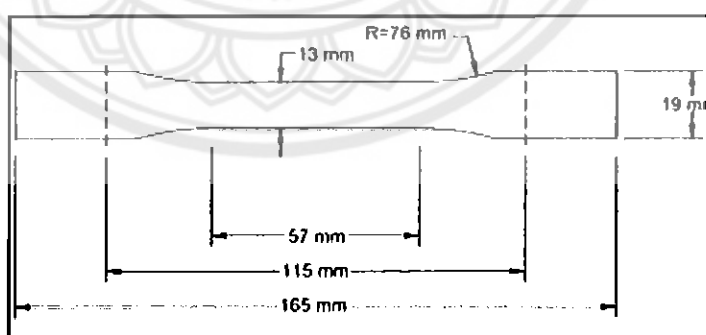
$$\text{ความเครียด } (\epsilon) = \frac{\text{ความยาวเดิม } (l_0)}{\text{ความยาวที่เปลี่ยนไป } (\Delta l)} \quad (14)$$

ข้อดีของค่าโมดูลัสความยืดหยุ่นในทางวิศวกรรม เมื่อวัสดุมีค่าโมดูลัสความยืดหยุ่นมาก วัสดุก็สามารถทนทานต่อแรงกระแทกได้มาก และเสียรูปร่างเดิมได้ยากกว่าวัสดุที่มีค่าโมดูลัสความยืดหยุ่นน้อย และยังสามารถทำงานอย่างเสียรูปของวัสดุเมื่อถูกแรงชนิดต่าง ๆ กระทำได้



รูปที่ 2.14 เส้นโค้งความเค้น-ความเครียด (Stress-Strain Curve)

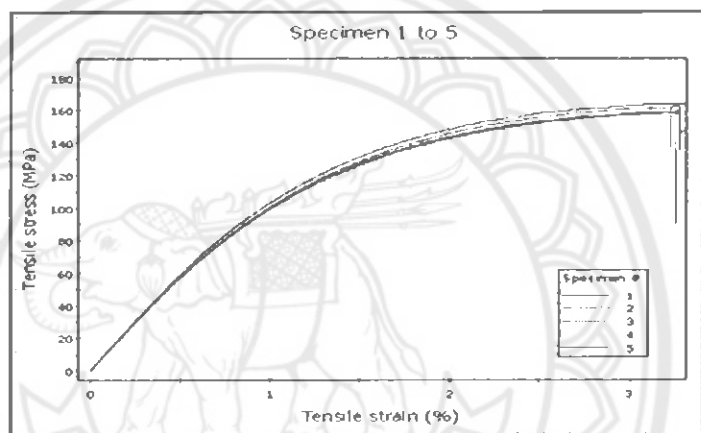
2.9 การทดสอบแรงดึงของพลาสติกตามมาตรฐาน ASTM D638 TYPE I



รูปที่ 2.15 มาตรฐานวัสดุทดสอบ ASTM D638 TYPE I [5]

ส่วนนี้ของมาตรฐาน ASTM D638 ระบุสภาวะสำหรับการทดสอบบัตติงของพลาสติกและพลาสติกเสริมแรง โดยใช้ชิ้นงานรูปร่างดั้มเบลล์ (Types I – V), แท่ง หรือห้องกระบอก สมบัติแรงดึงเหล่านี้ได้แก่ ความต้านทานแรงดึงสูงสุด ความเครียดที่จุดแตกหัก modulus ของยัง และสมบัติทางกลของพลาสติกสามารถเปลี่ยนแปลงเมื่อมีการเติมสารตัวเติมบางประเภทเข้าไปในพลาสติก เช่น ความแข็งแรง การยึดตัวและ ความเหนียว เช่นเดียวกับวัสดุหลายประเภท จะต้องมีการ

ใช้ extensometer ในการวัดค่าความเครียดได้อย่างถูกต้อง กราฟความสัมพันธ์ระหว่างความคืบและความเครียดของพลาสติกมักจะประกอบด้วยส่วนของอิเลสติกแบบเชิงเส้นและส่วนของพลาสติกแบบไม่เป็นเชิงเส้น บริเวณส่วนของเชิงเส้นนั้นจะเกิดขึ้นที่ค่าความเครียดต่ำมากและเนื่องจากค่ามอดูลัสจะตรวจวัดที่ในบริเวณนี้ การใช้ extensometer ที่มีความละเอียดสูงจึงมีความจำเป็น โดยส่วนใหญ่แล้ว extensometer นี้จะมีระยะการวัดที่จำกัดและต้องมีการถอดออกจากการซึ้งงานในระหว่างการทดสอบ แต่ extensometer แบบไวร์รัมปัส เช่น Advanced Video Extensometer (AVE) หรือ Standard Video Extensometer (SVE) จะมีความละเอียดและความยืดหยุ่นในการตรวจวัดค่ามอดูลัสของยังและความเครียดที่จุดแตกหักสำหรับพลาสติกเกือบทุกประเภท นอกจากนี้ แนะนำให้ใช้ mechanical wedge grips หรือ pneumatic side-acting grips สำหรับการจับยึดชิ้นงานในการทดสอบนี้

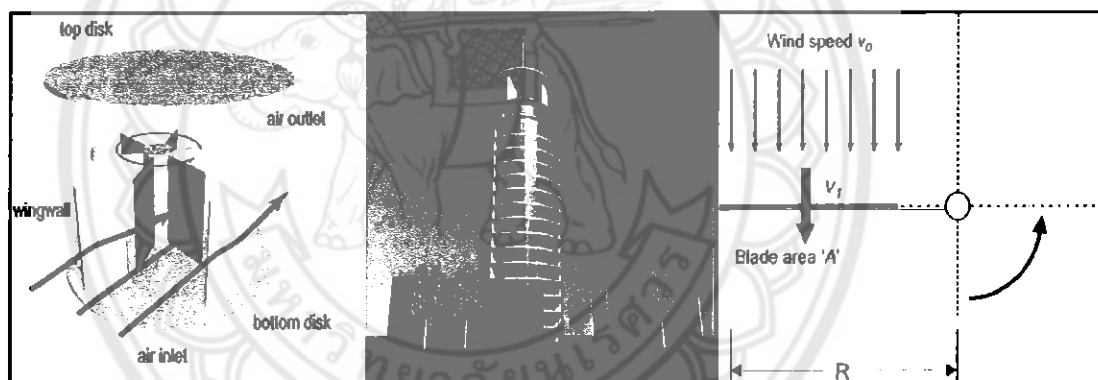


รูปที่ 2.16 ตัวอย่างกราฟแสดงผลการทดสอบมาตรฐานวัสดุทดสอบ ASTM D638 TYPE I

จากตัวอย่างกราฟแสดงความสัมพันธ์ระหว่างความคืบและความเครียด ซึ่งแกน y เป็นความคืบดึงและแกน x เป็นความเครียดดึง

2.10 กังหันลมแกนตั้งชนิด 3 ใน แบบใบเรียบ

การสร้างกังหันลมแกนตั้งชนิด 3 ใน แบบใบเรียบ ได้นำรูปแบบของกังหันลมมาจาก Renewable Energy[6] ซึ่งในบทความได้ก้าวถึง กังหันลมแกนตั้งแบบใบเรียบที่ได้พัฒนามาจาก กังหันลมแกนตั้งสมัยโบราณ มาเป็นกังหันแกนตั้งสมัยใหม่ที่สามารถติดตั้งไว้บนอาคารสูง มีลักษณะ เป็นแบบแพดเดิล มีใบพัด 4 ใบ มีแผ่นเพลทลักษณะเป็นวงกลมติดตั้งอยู่เหนือใบพัด และได้ใบพัดทั้ง 4 ใบ ซึ่งในการสร้างกังหันลมได้นำแบบของกังหันลมในบทความมาประยุกต์ใช้ในการสร้าง โดยการ สร้างได้ทำการสร้างกังหันลมให้มีขนาดเล็กขนาด 30×30 เซนติเมตร จากใบพัดกังหันลมในบทความที่ มี 4 ใบ ลดเหลือ 3 ใบ เพราะจำนวนใบยังน้อยลง ความเร็วรอบจะสูงแต่แรงบิดต่ำ เหมาะสำหรับผลิต กระแสไฟฟ้า ถ้าตั้งแต่ 4 ใบขึ้นไป ความเร็วรอบจะต่ำแต่แรงบิดสูงเหมาะสำหรับสูบน้ำ เช่นต่อปั๊มน้ำ เข้ากับเพลาของกังหันลมเพื่อใช้สูบน้ำ โดยใบพัดกังหันลมทั้ง 3 ใบ ทำมุกัน 120 องศา ส่วนแผ่นเพลท กลมบนใบพัดกังหันลม และได้ใบพัด ใช้แผ่นอะคริลิกแทนในการจับยึดตัวลูกปืน และเป็นพื้นที่ที่ใช้ ตั้งใบพัดโดยมีแผ่นจากสังกะสีเป็นตัวจับยึดแผ่นอะคริลิกกับใบพัดอีกทีหนึ่ง



รูปที่ 2.17 กังหันลมใบเรียบตันแบบ

2.11 กังหันลมแกนตั้งชนิด 3 ใน แบบใบโค้ง

การสร้างกังหันลมแกนตั้งชนิด 3 ใน แบบใบโค้ง ได้นำรูปแบบของกังหันลมมาจาก Investigation into the relationship of the overlap ratio and shift angle of double stage three bladed vertical axis wind turbine(VAWT)[7] ซึ่งในบทความได้กล่าวถึง กังหันลมแกนตั้ง แบบใบโค้งที่เป็นที่นิยมพัฒนาอย่างต่อเนื่องจากอดีต มีลักษณะเป็นแบบชาโวเนียส มีใบพัด 3 ใบ มีแผ่นเพลทลักษณะเป็นวงกลมติดตั้งอยู่เหนือใบพัด และติดไว้ใบพัดทั้ง 3 ใบ มีจุดเด่น คือ ใช้ความเร็วลม ที่ทำให้เริ่มหมุนต่ำ มีกลไกการสร้างที่ไม่ซับซ้อน ทำการติดตั้งง่าย ในการสร้างกังหันลมได้นำแบบของ กังหันลมในบทความมาประยุกต์ใช้ในการสร้าง โดยการสร้างได้ทำการสร้างกังหันลมให้มีขนาดเล็ก ขนาด 30×30 เซนติเมตร ทำเป็นใบพัด 3 ใบเหมือนบทความซึ่งความเร็วรอบที่ได้สูงแต่แรงบิดต่ำ เหมาะสำหรับผลิตกระแสไฟฟ้า ถ้าตั้งแต่ 4 ใบขึ้นไป ความเร็วรอบจะต่ำแต่แรงบิดสูง โดยใบพัดกังหัน ลมทั้ง 3 ใบ ทำมุนกัน 120 องศา ส่วนแผ่นเพลทลักษณะเป็นวงกลมบนใบพัดกังหันลม และติดไว้ใบพัด ใช้แผ่นอะคริลิ คแทนในการจับยึดตัวลูกปืน และเป็นพื้นที่ที่ใช้ตั้งใบพัดโดยมีแผ่นจากสังกะสีเป็นตัวจับยึดแผ่น อะคริลิกกับใบพัดอีกด้วยกับกังหันลมแกนตั้งชนิด 3 ใน แบบใบเรียบ



รูปที่ 2.18 กังหันลมใบโค้งตันแบบ

บทที่ 3

วัสดุคอมโพสิต

วัสดุคอมโพสิต (Composite) เป็นวัสดุที่ประกอบด้วยการรวมวัสดุมากกว่า 2 ประเภทเข้าด้วยกัน โดยทั่วไปคอมโพสิตจะมีวัสดุที่เป็นเนื้อหลัก (matrix) และวัสดุเสริมแรง (reinforcement materials) ที่กระจายตัวอยู่ในเนื้อหลักนั้น วัสดุที่เป็นเนื้อหลัก จะรองรับวัสดุเสริมแรงให้อยู่ในรูปร่างที่กำหนด ขณะที่วัสดุเสริมแรงจะช่วยเพิ่ม หรือปรับปรุงสมบัติเชิงกลของวัสดุเนื้อหลัก ให้สูงขึ้น ซึ่งวัสดุเสริมแรงอาจมีลักษณะเป็นเส้น ก้อน อนุภาค หรือเกล็ดก็ได้ แทรกอยู่ในวัสดุเนื้อหลัก (base materials) อย่างโลหะ เซรามิกส์ หรือโพลิเมอร์ ผลของการรวมวัสดุต่างกัน 2 ประเภทเข้าด้วยกันทำให้คอมโพสิตมีความแข็งแรง โดยรวมมากกว่าเมื่อเทียบกับ ความแข็งแรงของวัสดุแต่ละประเภทโดยลำพัง

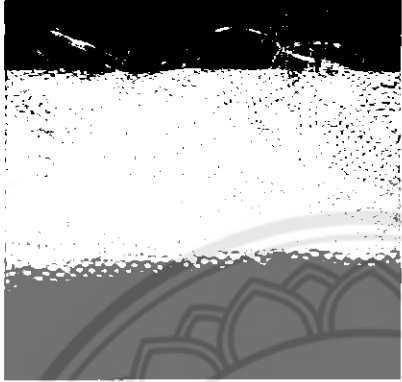
ในการขึ้นรูปวัสดุคอมโพสิต โดยสร้างใบกังหันลมแกนตั้งจากเรซินเสริมไยแก้วเนื่องจากมีคุณสมบัติที่เหนียว ยืดหยุ่น ไม่แตกหักง่าย จากการทำร่างใบของกังหันลมแกนตั้ง ใช้เทคนิคการขึ้นรูปใบพัดให้เป็นแผ่นแบบ 1 ชั้น (laminar composite) ซึ่งกังหันลมแกนตั้งชนิด 3 ในแบบใบเรียบใช้แม่พิมพ์เป็นแผ่นอะคริลิค 2 แผ่น ประกอบกัน ส่วนกังหันลมแกนตั้งชนิด 3 ในแบบใบโค้งใช้แม่พิมพ์เป็นห่อ PVC ผ่าครึ่งเป็นสองส่วน ครึ่งหนึ่งใช้ตรงส่วนโถงด้านนอก อีกครึ่งหนึ่งใช้ส่วนโถงด้านในของห่อ PVC หลังจากนั้นนำมาประกอบกัน เมื่อทำการหล่อเรซินเสริมไยแก้วเสร็จเรียบร้อยแล้ว ทึ้งไว้ให้แห้งแล้วแกะออกจากแม่พิมพ์ก็จะได้ใบกังหันลมของแต่ละแบบ ตามที่ต้องการ

3.1 วัตถุประสงค์ในการขึ้นรูปวัสดุคอมโพสิต

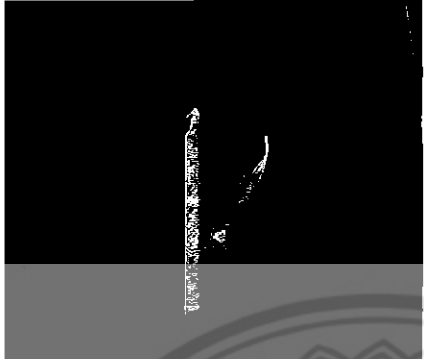
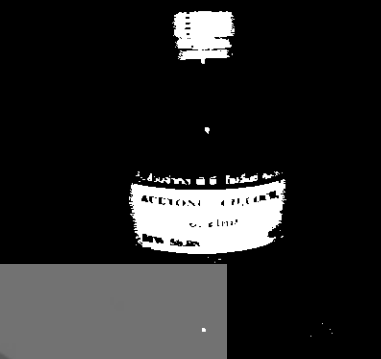
- 3.1.1 เพื่อหาส่วนผสมของวัสดุคอมโพสิตที่เหมาะสมในการขึ้นรูปใบพัดกังหันลม
- 3.1.2 พัฒนาเทคนิคการขึ้นรูปใบพัดกังหันลมแบบแผ่น 1 ชั้น ให้มีความสม่ำเสมอและมีคุณสมบัติเหมือนกันทุกใบ

3.2 ส่วนประกอบของวัสดุคอมโพสิต

ตารางที่ 3.1 วัสดุในการขึ้นรูปวัสดุคอมโพสิต

วัสดุ	
ไยแก้วแบบไขสาน (Woven Fabrics)	
MEKP (ตัวทำแข็ง)	
Polyester Resin (โพลีเอสเตอร์เรซิ่น)	
styren Monomer (ตัวทำละลาย, C8H8)	

ตารางที่ 3.2 อุปกรณ์ในการขึ้นรูปวัสดุคอมโพสิต

อุปกรณ์		
 ขี้ผึ้งขัดผิว (Rubbing Compound)	 น้ำยาล้างแปรรูป อะซิโตน (Acetone, C ₃ H ₆ O)	
 กระดาษทรายเบอร์ 320	 แปรรูปสำหรับทาเรซิ่น	
 เครื่องชั่งดิจิตอล	 ภาชนะบรรจุสำหรับเทียบ, ผสมเรซิ่น	

อุปกรณ์ (ต่อ)



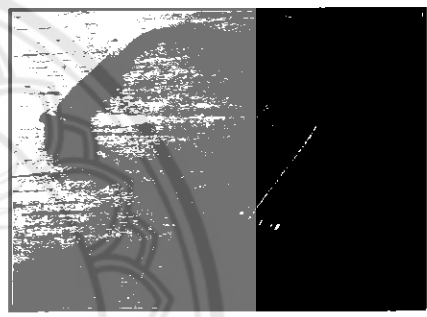
ลูกกลิ้ง สำหรับล้างฟองอากาศ



แผ่นอะคริลิคใช้เป็นแม่แบบ



กรรไกร



เลื่อยฉลุ

3.3 สูตรการผสม

เนื่องจากวัสดุที่นำมาทำใบกังหันลมต้องมีคุณสมบัติความเหนียวและแข็งแรง ซึ่งคุณสมบัติที่ได้จะขึ้นอยู่กับส่วนประกอบหลักคือ เรซินกับไยแก้วแบบไอลาน และตัวแปร คือ styren Monomer (ตัวทำละลาย) และ MEKP (ตัวทำแข็ง) โดยแต่ละสูตรมีส่วนผสมดังตารางที่ 3.3

ตารางที่ 3.3 ปริมาณส่วนผสมทั้ง 9 สูตร

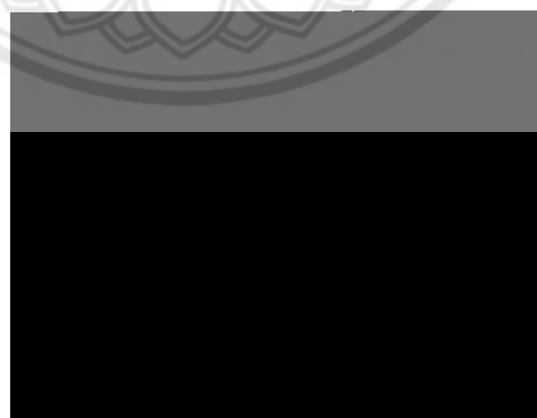
สูตร	ส่วนผสม	น้ำหนัก (กรัม)	คิดเป็น (%)
A	styren Monomer (ตัวทำละลาย)	2	1.37
	MEKP (ตัวทำแข็ง)	0.5	0.34
	เรซิน	100	68.26
	ไยแก้วแบบไอลาน	44	30.03
B	styren Monomer (ตัวทำละลาย)	3	2.03
	MEKP (ตัวทำแข็ง)	0.5	0.34
	เรซิน	100	67.80
	ไยแก้วแบบไอลาน	44	29.83
C	styren Monomer (ตัวทำละลาย)	4	2.70
	MEKP (ตัวทำแข็ง)	0.5	0.34
	เรซิน	100	67.34
	ไยแก้วแบบไอลาน	44	29.63
D	styren Monomer (ตัวทำละลาย)	2	1.36
	MEKP (ตัวทำแข็ง)	1	0.68
	เรซิน	100	68.03
	ไยแก้วแบบไอลาน	44	29.93
E	styren Monomer (ตัวทำละลาย)	3	2.03
	MEKP (ตัวทำแข็ง)	1	0.68
	เรซิน	100	67.57
	ไยแก้วแบบไอลาน	44	29.73
F	styren Monomer (ตัวทำละลาย)	4	2.68
	MEKP (ตัวทำแข็ง)	1	0.67
	เรซิน	100	67.11
	ไยแก้วแบบไอลาน	44	29.53

สูตร	ส่วนผสม	น้ำหนัก (กรัม)	คิดเป็น (%)
G	styren Monomer (ตัวทำละลาย)	2	1.35
	MEKP (ตัวทำแข็ง)	2	1.35
	เรซิ่น	100	67.57
	ไยแก้วแบบไยสาบ	44	29.73
H	styren Monomer (ตัวทำละลาย)	3	2.01
	MEKP (ตัวทำแข็ง)	2	1.34
	เรซิ่น	100	67.11
	ไยแก้วแบบไยสาบ	44	29.53
I	styren Monomer (ตัวทำละลาย)	4	2.67
	MEKP (ตัวทำแข็ง)	2	1.33
	เรซิ่น	100	66.67
	ไยแก้วแบบไยสาบ	44	29.33

ในการขึ้นรูปใบพัดกังหันลม กลุ่มการพัฒนา กังหันลมแกนตั้งขนาดเล็กด้วยวัสดุคอมโพสิต ทำการทดสอบ 4 สูตร (สูตร A – D) และกลุ่มการพัฒนา กังหันลมแกนนอนขนาดเล็กด้วยวัสดุคอมโพสิต ทำการทดสอบ 5 สูตร (สูตร E – I) ซึ่งมีปริมาณส่วนผสมของทั้ง 9 สูตร ดังตารางที่ 3.3 ผลการทดสอบการขึ้นรูปใบพัดของแต่ละสูตรที่แบ่งกันทำ จะนำมาเปรียบเทียบกัน เพื่อหาสูตรที่มีความเหมาะสมมากที่สุดที่จะขึ้นรูปใบพัดกังหันลม

3.4 การขึ้นรูปวัสดุทดสอบเป็นแผ่นแบบ 1 ชิ้น และนำมาตัดเป็นชิ้นงานตามมาตรฐาน ASTM D638 TYPE I

3.4.1 ทำความสะอาดแม่แบบด้วยน้ำเช็ดให้แห้ง



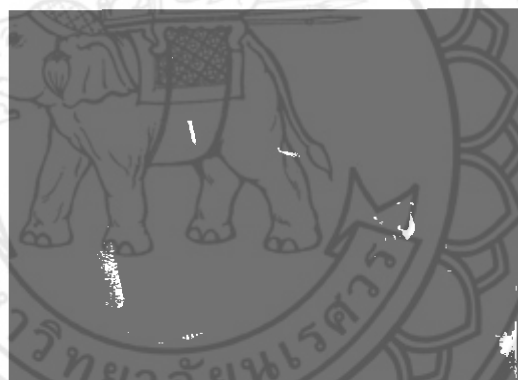
รูปที่ 3.1 ชุดผิวแม่แบบ

3.4.2 ขัดผิวแม่แบบดังรูปที่ 3.1 ให้เรียบมันด้วยชี้ฟึงขัดผิวหรือเทียน ให้ผิวเป็นมันเงา เพื่อป้องกันการติดกันระหว่างแม่แบบกับเรซิ่นเมื่อแข็งตัว

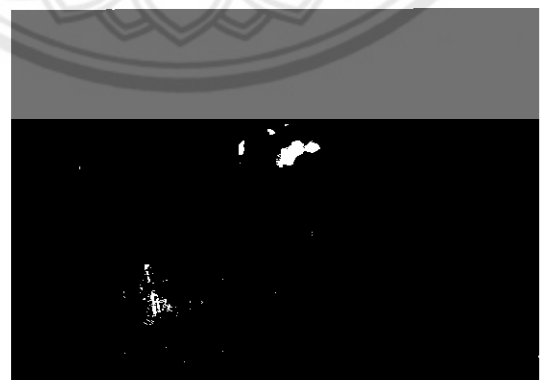


รูปที่ 3.2 การผสมสารเคมี

3.4.3 ทำการผสม MEKP (ตัวทำแข็ง) + เรซิ่น + styren Monomer (ตัวทำละลาย) ตามแต่ละสูตรทดสอบ ดังรูปที่ 3.2 เพื่อนำไปหล่อขึ้นรูปวัสดุคอมโพสิต



รูปที่ 3.3 ห้าเรซิ่นที่ผสมแล้วลงในแม่แบบ



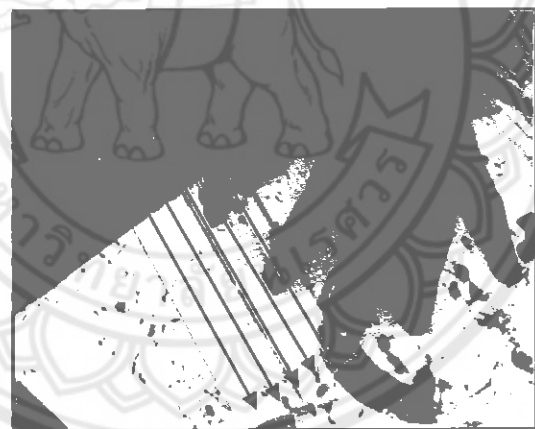
รูปที่ 3.4 การวางไข้แก้ว

3.4.4 วางไยแก้วดังรูปที่ 3.4 ที่ตัดไว้ ลงตามขอบหรือมุมที่คิดว่าจะวางยากก่อน แล้วค่อยไล่วางลงในส่วนที่เหลือให้ทั่ว แล้วใช้ประจุมโพลีเอสเตอร์เรซิ่นที่ผสมแล้วทาบนไยแก้วที่วางบนแม่แบบ แล้วดังรูปที่ 3.3



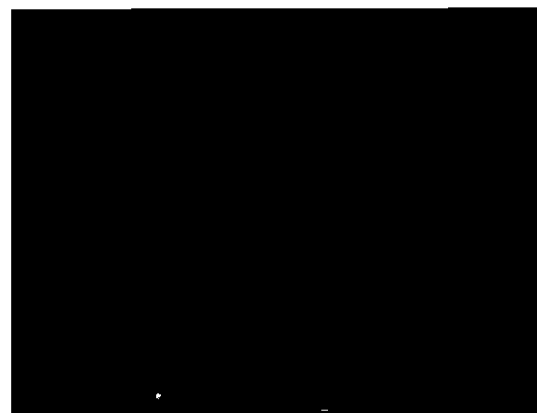
รูปที่ 3.5 การประบกแม่แบบ

3.4.5 ใช้แผ่นแม่แบบมาประบกให้ได้ความหนาประมาณ 1 ม.m. ดังรูปที่ 3.5 จากนั้นใช้ลูกกลิ้งไส้ฟองอากาศให้ทั่ว ทึ่งไว้ประมาณ 3-5 ซม. หลังจากนั้นทำการแกะแม่แบบออกตามแม่แบบออก



รูปที่ 3.6 การตัดแบบโดยตัดตามแนวเส้นไย

3.4.6 ทำการตัดแบบโดยใช้เลื่อยฉลุตัดตามแนวเส้นไยดังรูปที่ 3.6 แนวไหนแนวนั้น จะแนวอนหรือแนวตั้งก็ได้เนื่องจากไม่มีการಥอแบบตั้งๆ กัน



รูปที่ 3.7 นำชิ้นงานทดสอบไปขัดด้วยกระดาษทราย

3.4.7 หลังจากตัดเสร็จแล้วนำ มาขัดด้วยกระดาษทรายดังรูปที่ 3.7 เพื่อให้ผิวของเรียบยิ่งขึ้น จะได้ ชิ้นงานคอมโพสิตตามมาตรฐาน ASTM D638 TYPE I ดังรูปที่ 3.8



รูปที่ 3.8 ชิ้นงานคอมโพสิตที่ตัดตามมาตรฐาน ASTM D638 TYPE I

3.5 วัสดุและอุปกรณ์ในการทดสอบด้วยแรงดึง

- 3.5.1 ชิ้นงานทดสอบแรงดึงสูตรละ 5 ชิ้น
- 3.5.2 เวอร์เนียคลิปเปอร์
- 3.5.3 เครื่องมือทดสอบ Universal testing machine
- 3.5.4 คอมพิวเตอร์

3.6 วิธีการทดสอบ

- 3.6.1 วัดขนาดชิ้นงานทดสอบแรงดึงของวัสดุคอมโพสิต บันทึกลงตาราง
- 3.6.2 นำชิ้นงานมาทดสอบแรงดึงจนขาดโดยใช้เครื่องมือทดสอบ Universal testing machine (UTM) ให้บันทึกข้อมูล Load และ Extension เพื่อจะนำไปแสดงผลในรูปของ Stress-strain curve
- 3.6.3 คำนวนหาค่า Young's modulus, Load at Maximum load, Stress at Maximum load, Strain at Maximum load, Tensile Strength
- 3.6.4 วิเคราะห์ผลการทดลองและสรุปผล

3.7 ขั้นตอนการทดสอบแรงดึงวัสดุ



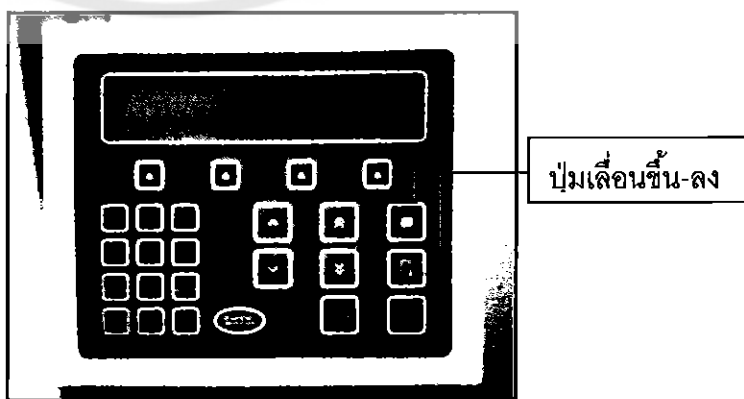
รูปที่ 3.9 เปิดเครื่องดึงวัสดุ

1. เริ่มจากเปิดเครื่องดึงวัสดุดังรูปที่ 3.9 ก่อนเพื่อเตรียมพร้อม



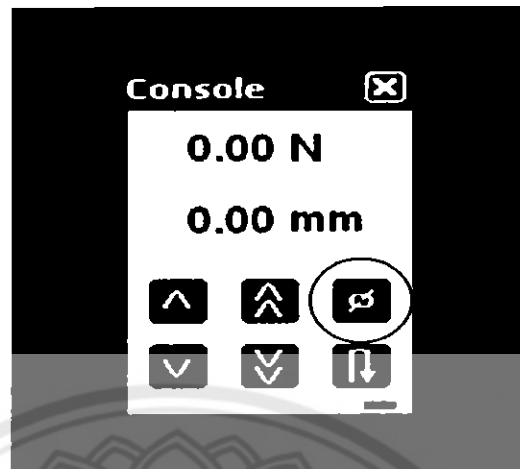
รูปที่ 3.10 เปิดโปรแกรมเครื่องดึง

2. ดับเบิลคลิกที่โปรแกรมเครื่องดึงดังรูปที่ 3.10 โปรแกรมจะเริ่มเข้าสู่การทำงานหน้าหลักของโปรแกรม



รูปที่ 3.11 หน้าจอเครื่องดึง

3. ทดสอบเครื่องดึงว่าพร้อมต่อการใช้งานหรือไม่ โดยกดปุ่มเลื่อนขึ้น เลื่อนลงดังรูปที่ 3.11



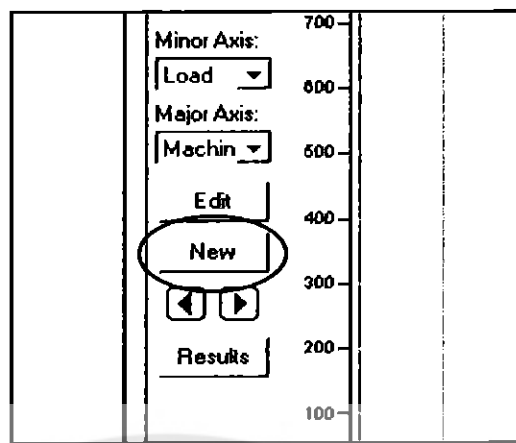
รูปที่ 3.12 ตั้งค่าเริ่มต้น

4. ทำการตั้งค่าเริ่มต้นให้เป็นศูนย์ดังรูป 3.12 โดยสั่งจากโปรแกรมที่มุ่งหมายจากคอมพิวเตอร์



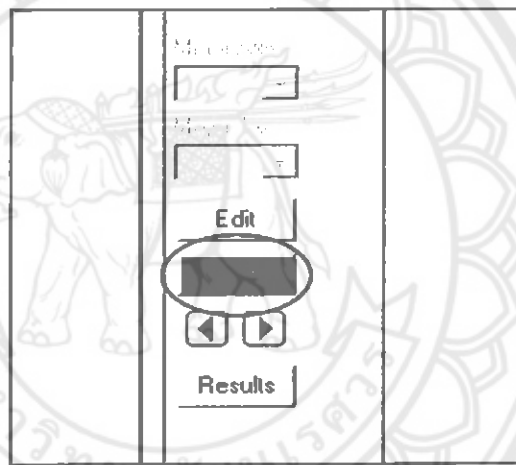
รูปที่ 3.13 ติดตั้งชิ้นงานในเครื่องดึงเพื่อทำการทดสอบ

5. ทำการติดตั้งเครื่องมืออุปกรณ์สำหรับการดึง และใส่ชิ้นงานที่ต้องการทดสอบให้พร้อมทดสอบดังรูปที่ 3.13



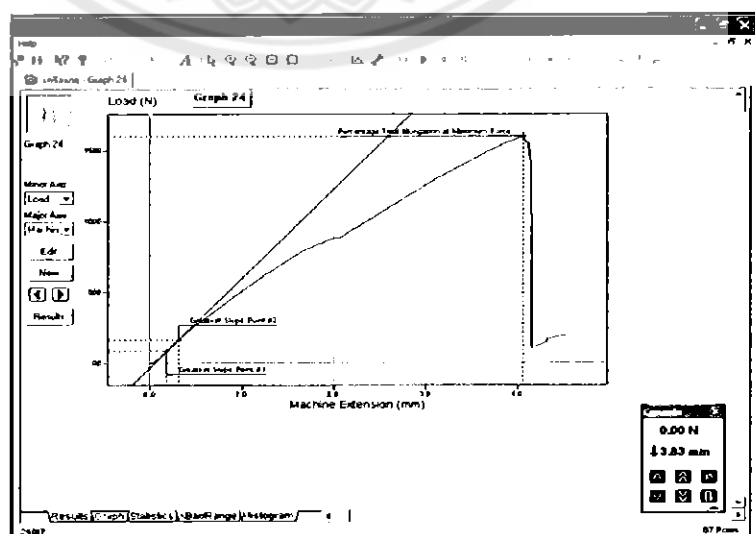
รูปที่ 3.14 กดปุ่ม New ก่อนจะทดสอบชิ้นงาน

6. เมื่อพร้อมที่จะทำการทดสอบแล้ว กด New ดังรูปที่ 3.14 เพื่อจะเริ่มต้นการทดสอบชิ้นแรกและชิ้นต่อๆ ไป



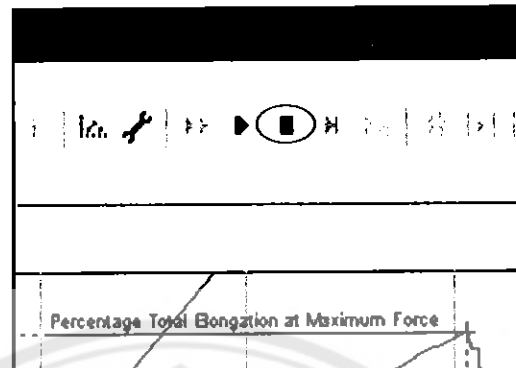
รูปที่ 3.15 กดปุ่ม Start เพื่อทำการทดสอบการดึง

7. กด Start ดังรูปที่ 3.15 เพื่อทำให้เครื่องทำการดึงวัสดุที่ทำการทดสอบ



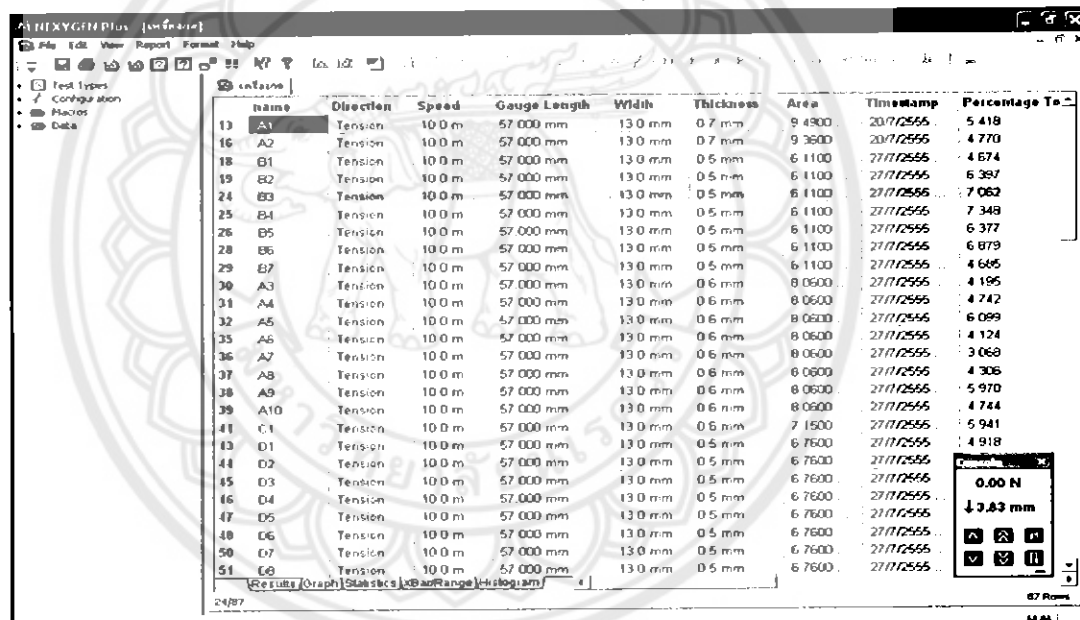
รูปที่ 3.16 กราฟแสดงผลข้อมูลค่าต่างๆ

8. ในระหว่างการดึง โปรแกรมจะทำการแสดงผลข้อมูลค่าต่างๆ ที่ตั้งไว้ดังรูปที่ 3.16 โดยแสดงเป็นกราฟ



รูปที่ 3.17 ปุ่ม Stop การใช้งาน

9. เมื่อขึ้นงานทดสอบขาดออกจากกันแล้วให้กดที่ปุ่ม Stop ดังรูปที่ 3.17



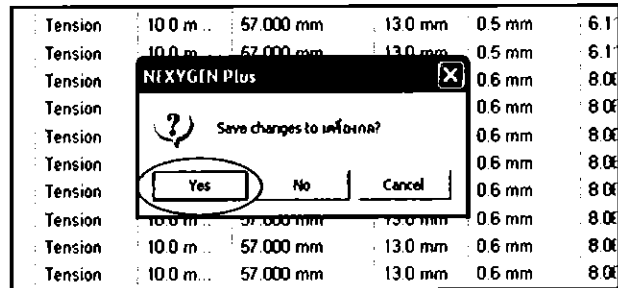
รูปที่ 3.18 ตารางผลการทดสอบ

10. เมื่อขึ้นงานทดสอบเสร็จ ค่าต่างๆ ที่เราได้ตั้งไว้จะแสดงผลตามตาราง ดังรูปที่ 3.18

Area	Timestamp	Percentage To
9.4900 ...	20/7/2555 ...	5.418
9.3600 ...	20/7/2555 ...	4.770
6.1100 ...	27/7/2555 ...	4.674

รูปที่ 3.19 ทำการปิดโปรแกรม

11. เมื่อทำการทดสอบขึ้นงานครบตามที่ต้องการแล้ว ให้ทำการปิดโปรแกรมดังรูปที่ 3.19



รูปที่ 3.20 บันทึกข้อมูล

12. เมื่อกดปุ่มปิดโปรแกรม โปรแกรมจะถามว่าต้องการบันทึกข้อมูลหรือไม่ ก็ให้กด ใช่ ดังรูปที่ 3.20 เพื่อบันทึกข้อมูล



3.8 ผลการทดสอบ

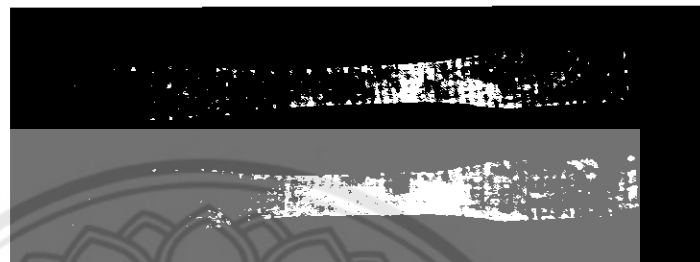
ตารางที่ 3.4 ผลการทดสอบที่ได้ในสูตร A – D สูตรละ 5 ชิ้นงาน

สูตร	ชิ้นงาน	ความ หนา (mm)	พื้นที่ หน้า ตัด $\times 10^{-6}$ (m^2)	ความ ยาว เดิม (mm)	แรงที่ วัสดุขาด (N)	ระยะ ยืดรวม (mm)	ความ เค้น (MPa)	ความ เครียด	Young's Modulus (MPa)	Tensile Strength (MPa)
A	1	0.72	9.36	57	1277.37	2.72	136.51	0.05	6284.65	136.51
	2	0.62	8.06	57	1018.85	2.31	126.41	0.06	5559.65	126.41
	3	0.62	8.06	57	1018.16	2.70	134.14	0.06	4268.61	134.14
	4	0.62	8.06	57	1060.96	2.35	131.63	0.04	4895.93	131.63
	5	0.62	8.06	57	959.26	2.45	119.01	0.04	5280.17	119.01
	เฉลี่ย	0.62	8.06	57	1066.92	2.51	129.54	0.05	5257.80	129.54
B	1	0.47	6.11	57	1401.36	3.65	229.36	0.05	6437.10	229.36
	2	0.47	6.11	57	1595.56	4.06	261.14	0.07	5845.28	261.14
	3	0.47	6.11	57	1180.40	4.19	193.19	0.07	6517.56	193.19
	4	0.47	6.11	57	1427.98	3.64	233.68	0.06	6349.93	233.68
	5	0.47	6.11	57	1206.25	3.92	197.42	0.07	6818.57	197.42
	เฉลี่ย	0.47	6.11	57	1362.31	3.89	222.96	0.06	6393.69	222.96
C	1	0.55	7.15	57	1338.99	3.26	187.27	0.06	6948.86	187.27
	2	0.55	7.15	57	740.15	1.48	103.52	0.03	5992.15	103.52
	3	0.55	7.15	57	1740.93	4.28	243.49	0.08	7241.41	243.49
	4	0.55	7.15	57	1548.76	3.34	216.61	0.06	7162.66	216.61
	5	0.55	7.15	57	1649.35	3.97	230.68	0.07	6998.93	230.68
	เฉลี่ย	0.55	7.15	57	1396.75	3.27	196.31	0.06	6868.80	196.31
D	1	0.52	6.76	57	957.76	2.62	144.34	0.05	6034.62	144.34
	2	0.52	6.76	57	1027.53	2.47	152.00	0.04	6331.91	152.00
	3	0.52	6.76	57	1024.64	3.19	151.57	0.06	5860.45	151.57
	4	0.52	6.76	57	1126.01	3.15	166.57	0.06	5822.70	166.57
	5	0.52	6.76	57	1201.03	2.59	177.67	0.05	6293.96	177.67
	เฉลี่ย	0.52	6.76	57	1067.39	2.80	158.43	0.05	6068.73	158.43

จากตารางที่ 3.4 เป็นการแสดงค่าต่างๆ ในโปรแกรมเครื่องดึงวัสดุ Universal testing machine (UTM) หลังจากทำการดึงวัสดุ ตั้งแต่สูตร A – D สูตรละ 5 ชิ้น เสร็จสิ้น

3.8.1 ลักษณะขึ้นงานที่ทำการทดสอบ

- ชิ้นงานก่อนทดสอบที่ตัดตามมาตรฐาน ASTM D638 TYPE I มีลักษณะดังรูปที่ 3



รูปที่ 3.21 ชิ้นงานก่อนทำการทดสอบ

- ชิ้นงานหลังทำการทดสอบเสร็จแล้ว มีลักษณะขาดออกจากกัน ดังรูปที่ 3.21



รูปที่ 3.22 ชิ้นงานหลังทำการทดสอบ

3.9 วิเคราะห์ผลการทดลอง

จากการทดสอบพบว่าเมื่อทำการเพิ่มส่วนผสม Styren Monomer (ตัวทำละลาย) มีแนวโน้มที่ค่า Young' Modulus จะเพิ่มขึ้นตาม และเมื่อเพิ่มส่วนผสม MEKP (ตัวทำแข็ง) จาก 0.5 กรัม เป็น 1 กรัม ค่า Young' Modulus มีค่าเพิ่มขึ้น แต่เมื่อเพิ่มจนถึง 2 กรัม กลับพบว่าค่า Young' Modulus มีค่าลดลง และการเพิ่ม MEKP ทำให้ค่า Tensile Strength มีค่าลดลงตามไปด้วย

ดังนั้น สรุปได้ว่า สูตร E ที่มีอัตราส่วนผสมของ Styren Monomer กับ MEKP เป็น 3 กรัม ต่อ 1 กรัม ซึ่งมีค่า Young' Modulus และค่า Tensile Strength สูงที่สุด จึงเหมาะสมที่จะนำมาใช้ รูปใบพัดกังหันลมมากที่สุด

ตารางที่ 3.5 เปรียบเทียบค่าเฉลี่ยที่ได้ในการทดสอบห้อง 9 สูตร

สูตร	ค่าเฉลี่ย								
	ความ หนา (mm)	พื้นที่ หน้าตัด $\times 10^{-6}$ (m^2)	ความ ยาว เดิม (mm)	แรงที่ วัสดุขาด (N)	ระยะ ยืดรวม (mm)	ความ เค้น (MPa)	ความ เครียด (MPa)	Young's Modulus (MPa)	Tensile Strength (MPa)
A	0.62	8.06	57	1066.92	2.51	129.54	0.05	5257.80	129.54
B	0.47	6.11	57	1362.31	3.89	222.96	0.06	6393.69	222.96
C	0.55	7.15	57	1545.68	3.63	216.18	0.06	6868.80	196.31
D	0.52	6.76	57	1067.39	2.80	158.43	0.05	6068.73	158.43
E	0.55	7.15	57	1621.46	4.16	226.78	0.07	7073.87	226.78
F	0.52	6.76	57	1119.98	2.82	165.68	0.05	6460.89	165.68
G	0.57	7.41	57	1105.45	2.52	136.80	0.04	6133.10	136.80
H	0.45	5.85	57	868.74	2.48	148.51	0.04	6825.56	148.51
I	0.82	10.66	57	1067.06	2.50	100.10	0.04	5806.38	100.10

จากตารางที่ 3.5 เป็นการเปรียบเทียบค่าเฉลี่ยต่างๆ ทั้ง 5 ชิ้นงาน ที่ทำการทดสอบและนำมาเปรียบเทียบกันของแต่ละสูตร ตั้งแต่สูตร A – I

3.10 สรุปผลการทดสอบ

จากตารางที่ 3.5 จะเห็นได้ว่า ค่าความเค้นและความเครียดของวัสดุทดสอบด้วยแรงดึงแตกต่างกันไปตามแต่ละสูตร การหล่อวัสดุ โดยชิ้นงานบางชุดมีความแข็งแต่ประจำย, มีความแข็งและเหนียวและบางชุดมีความเหนียวแต่ไม่แข็งแรง ทั้งนี้ เพราะส่วนผสมมีผลต่อความเค้นและความเครียดของวัสดุ ในผลการทดสอบห้อง 9 สูตรการหล่อ มี 2 สูตรการหล่อที่ให้ค่าความเค้นและความเครียดสูง คือ สูตร C (MEKP (ตัวทำแข็ง) 0.5 กรัม, Styren Monomer (ตัวทำละลาย) 3 กรัม) มีค่าความเค้นเท่ากับ 6868.80 MPa และมีค่า Tensile Strength 196.31 MPa และสูตร E (MEKP (ตัวทำแข็ง) 1 กรัม, Styren Monomer (ตัวทำละลาย) 3 กรัม) มีค่าความเค้นเท่ากับ 7073.87 MPa และมีค่า Tensile Strength 226.78 MPa ดังนั้น จึงสรุปได้ว่าเลือกใช้สูตร E ในการขึ้นรูปใบพัดกังหันเนื่องจากมีค่าค่า Young's Modulus และค่า Tensile Strength สูงกว่าสูตร C

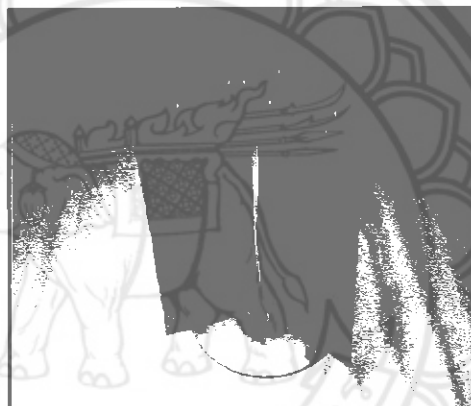
บทที่ 4

วิธีการสร้างกังหันลมแกนตั้ง

จากการทดสอบวัสดุคอมโพสิตในบทที่ผ่านมาทำให้ได้ส่วนผสมที่มีความยืดหยุ่นสูงสุดที่เหมาะสมกับการนำมาสร้างในพัดของกังหัน คือสูตร E มีส่วนผสม MEKP (ตัวทำแข็ง) 1 กรัม, Styrene Monomer (ตัวทำละลาย) 3 กรัม ในบทนี้จะกล่าวถึงการนำเอาวัสดุคอมโพสิตมาสร้างใบพัดและส่วนประกอบต่างๆ ของกังหันลมแกนตั้ง

4.1 รูปแบบของกังหันที่จะสร้าง

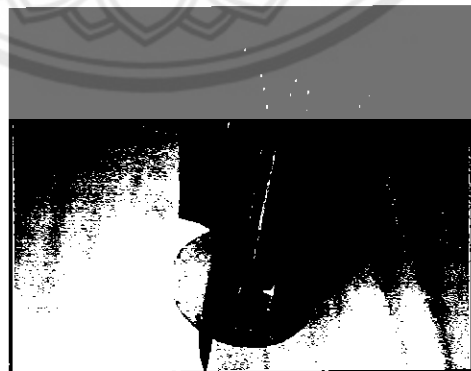
4.1.1 กังหันลมแกนตั้งชนิด 3 ในแบบใบเรียบขนาด 30x30 cm



รูปที่ 4.1 กังหันลมแกนตั้ง

ชนิด 3 ในแบบใบเรียบ

4.1.2 กังหันลมแกนตั้งชนิด 3 ในแบบใบโค้งขนาด 30x30 cm



รูปที่ 4.2 กังหันลมแกนตั้งชนิด 3 ในแบบใบโค้ง

4.2 วัสดุและอุปกรณ์

4.2.1 วัสดุ

- ไยแก้วแบบไยสาน (Woven Fabrics)
- MEKP (ตัวทำแข็ง)
- โพลีเอสเทอร์เรซิ่น (Polyester Resin)
- Styren Monomer (ตัวทำละลาย)
- ตัวบล็อกปืนตักดา NSK 628D
- แกนเพลา
- อะคริลิก หนา 2 mm
- แผ่นสังกะสี
- นื้อต 3 mm
- นื้อต 8 mm

4.2.2 อุปกรณ์

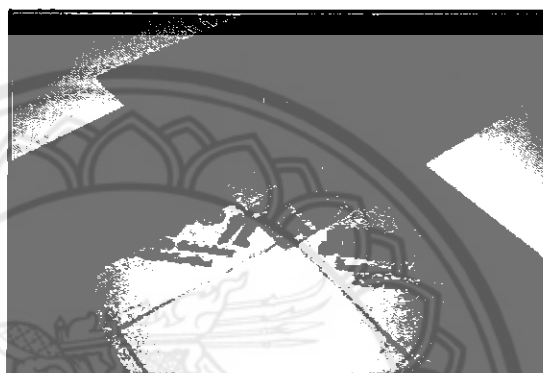
- น้ำยาล้างแปรง อะซิโตน (Acetone, C_3H_6O)
- กระดาษทรายเบอร์ 320
- หลอดหยอดสาร
- แปรงสำหรับทาเรซิ่น
- เครื่องซึ่งดิจิตอล
- ภาชนะบรรจุสำหรับเทแยก, ผสมเรซิ่น
- บีกเกอร์
- ถุงกลิ้ง สำหรับใส่ฟองอากาศ
- แผ่นอะคริลิคใช้เป็นแม่แบบ
- กรรไกร
- เลือยฉลุ

4.3 วิธีการสร้างกังหัน

4.3.1 การขึ้นรูปใบแบ่งเป็นการขึ้นรูปแบบใบเรียบ และการขึ้นรูปแบบใบโค้ง

4.3.1.1 การขึ้นรูปแบบใบเรียบ

1. นำแผ่นอะคริลิกมาเป็นแบบ โดยใช้ขนาด 30×30 cm. หนาประมาณ 2-3 mm. มา 2 แผ่น และขัดผิวด้วยเทียนหรือสารหล่อลีนให้ลื่นเพื่อช่วยในการแกะแบบให้ง่ายขึ้น (ขัด 1 แผ่นต่อ 1 ด้าน)



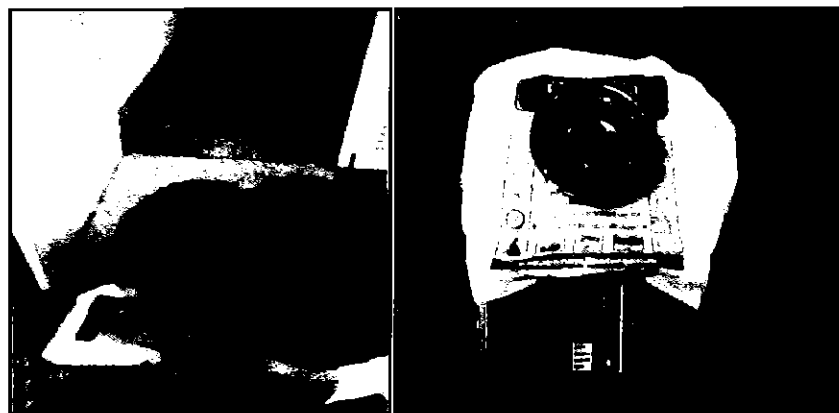
รูปที่ 4.3 แสดงลักษณะของอะคริลิก

2. ตัดเส้นไนเก็วให้ได้ขนาดเท่ากับอะคริลิก ดังรูปที่ 4.4



รูปที่ 4.4 แสดงลักษณะของการตัดเส้นไนเก็ว

3. ทำการผสมน้ำยาเรซิ่น, Styren Monomer (ตัวทำละลาย) และ MEKP (ตัวทำแข็ง) ตามอัตราส่วนผสมที่เลือกไว้



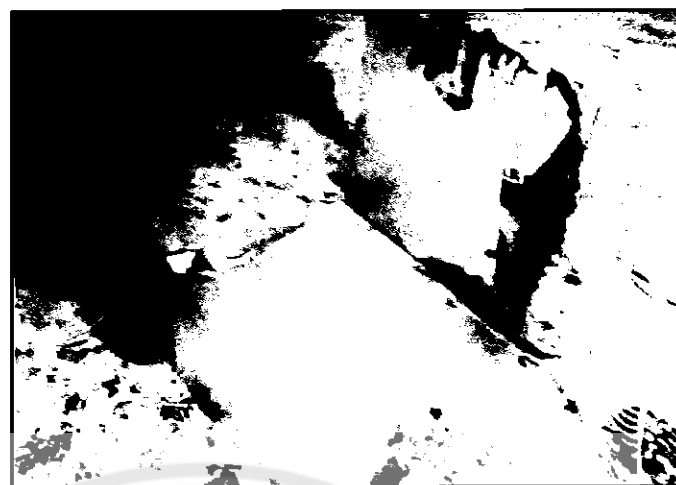
รูปที่ 4.5 แสดงลักษณะการเตรียมน้ำยาเรซิ่น

4. เมื่อทำการเตรียมน้ำยาเรซิ่น ดังรูปที่ 4.5 และเตรียมเส้นใยให้เรียบร้อย แล้วก็ทา น้ำยาเรซิ่นประมาณครึ่งหนึ่งของน้ำยาเรซิ่น ลงที่แผ่นอะคริลิกบางๆ และวางเส้นใยลงไปทับแล้วก็ทา น้ำยาไปอีกรอบ ดังรูปที่ 4.6 จึงใช้อะคริลิกทับลงไป เพื่อรอให้เซตตัว



รูปที่ 4.6 แสดงลักษณะแสดงการทาทับของน้ำยาเรซิ่น

5. เมื่อเรซิ่นเซตตัวก็แกะแบบออก ดังรูปที่ 4.7 และนำไปผึ่งลมให้แห้งสนิท และ ทำข้าตั้งแต่ขั้นตอนที่ 1 ถึง 5



รูปที่ 4.7 แสดงลักษณะแบบออก

6. นำแผ่นเรซิ่นเสริมไข้แก้วที่แห้งแล้วไปตัดให้ได้ขนาดกว้าง 12 cm. ยาว 29 cm.
ดังรูปที่ 4.8 ตัดให้ได้จำนวน 3 ใบ และขัดให้บางเท่าๆ กันทุกใบ



รูปที่ 4.8 แสดงลักษณะการตัดของแบบใบเรียบ

4.3.1.2 การขึ้นรูปใบโค้ง

1. นำห่อพีวีซีขนาดเส้นผ่านศูนย์กลาง 15 cm. ไปเลือยผ่าครึ่งออกเป็น 2 แผ่น ดัง

รูปที่ 4.9



รูปที่ 4.9 แสดงลักษณะการฝ่าคริ่งของห่อพิชีใช้ทำแม่พิมพ์

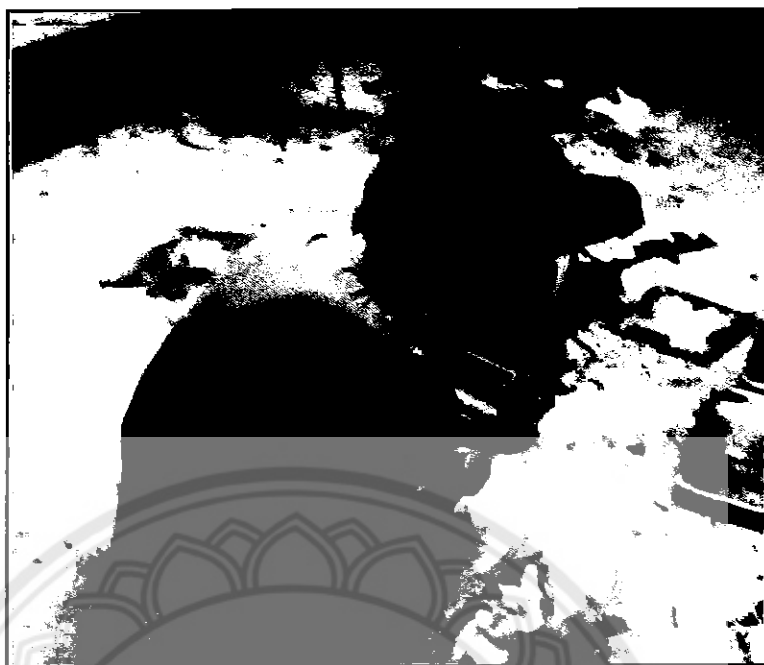
2. นำห่อพิชีที่เตรียมไว้ไปขัดมันด้วยเทียนหรือน้ำมันหล่อลื่น โดยที่พิชีแผ่นแรกขัดด้านในและแผ่นที่ 2 ขัดด้านนอก ดังรูปที่ 4.10



รูปที่ 4.10 แสดงลักษณะขัดมันด้วยเทียน

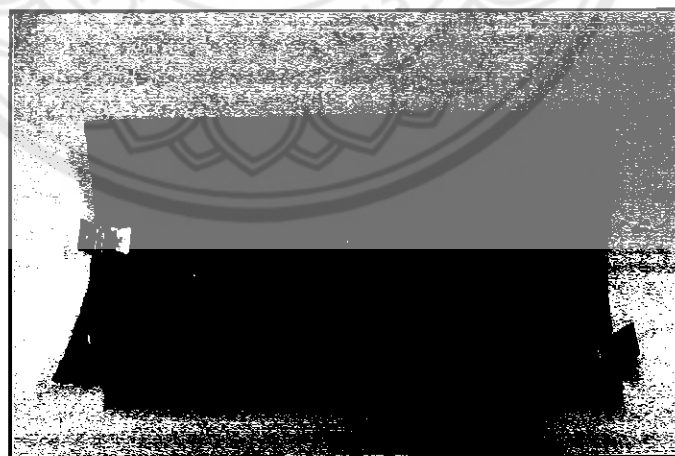
3. นำเส้นใยแก้วมาตัดให้ได้ขนาดเท่ากับแผ่นพิชีแผ่นแรก

4. ผสมเรซิ่นตามอัตราส่วนเท่าเดิม เมื่อถูกห่อพิชีแล้วนำไปเรียบ แล้วทาน้ำยาเรซิ่นลงบนพิชีบางๆ ของแผ่นแรกที่ด้านใน และใช้เส้นใยวางทับไป แล้วก็ทาน้ำยาเรซิ่นทับอีกรอบ แล้วจึงนำพิชีแผ่นที่ 2 วางทับ上去เพื่อรอให้เซตตัว ดังรูปที่ 4.11



รูปที่ 4.11 แสดงลักษณะการวางแผนกันของแผ่นพีวีซี 2 แผ่น

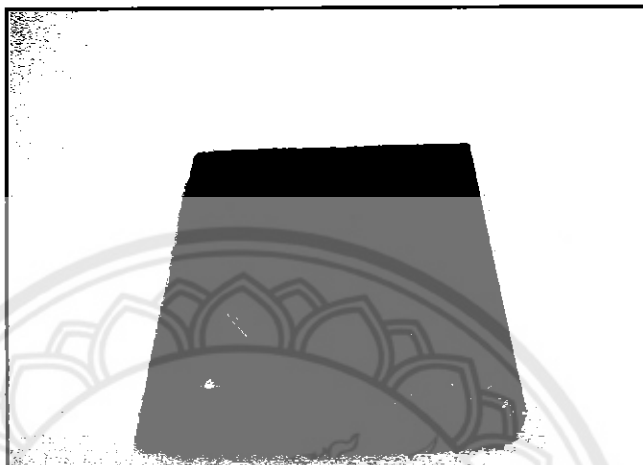
5. เมื่อเรซินเริ่มเซตตัวก็ค่อยๆ แกะแบบออก แล้วนำไปผึ่งลมให้แห้งสนิท และทำซ้ำตั้งแต่ขั้นตอนที่ 1 ถึง 5
6. นำไปตัดให้ได้ขนาดกว้าง 12 cm. ยาว 29 cm. ดังรูปที่ 4.12 ตัดเป็นจำนวน 3 ใบและขัดให้บางเท่ากันทั้งหมด



รูปที่ 4.12 แสดงลักษณะการตัดที่ได้ขนาดของใบโค้ง

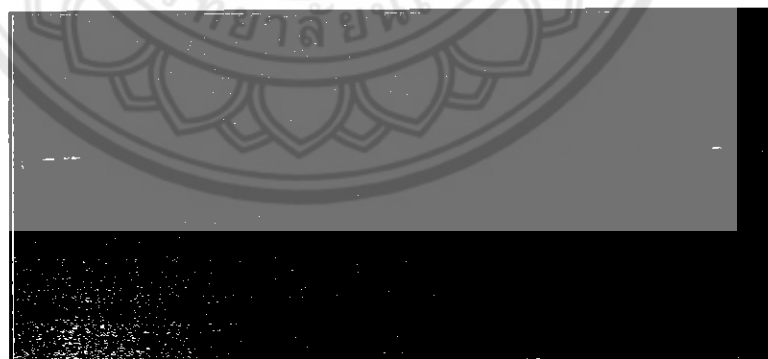
4.3.2 การทำตุ๊กตา แกนเพลาและตัววัดแรงบิด

4.3.2.1 การทำตุ๊กตา นำเหล็กขนาดความกว้างและยาว 22 mm. หนา 10 mm. กลึงให้ขนาดครอบตัวลูกปืน ดังรูปที่ 4.13 ความหนาของเหล็กครอบตัวลูกปืนประมาณ 2 mm (ขนาดตัวลูกปืนมีเส้นผ่านศูนย์กลางภายนอก 14 mm. เส้นผ่านศูนย์กลางภายใน 8 mm.)



รูปที่ 4.13 แสดงลักษณะลักษณะตุ๊กตาครอบตัวลูกปืน

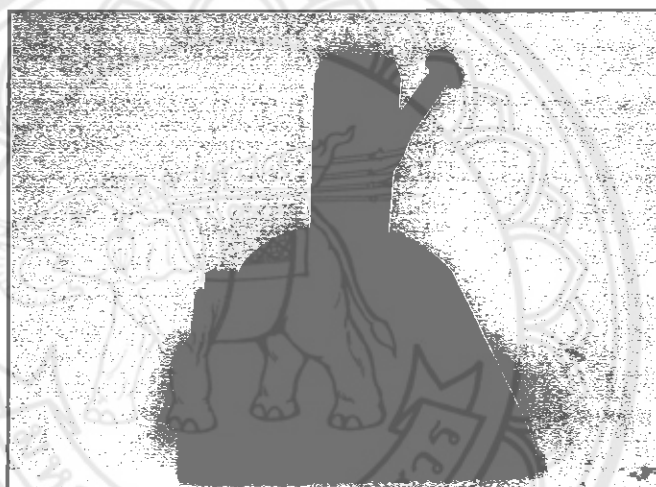
4.3.2.2 การทำแกนเพลา นำเหล็กแท่งกลมขนาดเส้นผ่านศูนย์กลาง 10 mm. ยาวประมาณ 33 cm กลึงเป็นบ่าไว้ทั้งสองข้างเพื่อสวมครอบตัวลูกปืน กลึงให้มีขนาดเล็กลง 2 mm. โดยกลึงปลายด้านแรกเข้ามา 1.8 cm. และด้านที่ 2 กลึงเข้ามา 2.8 cm. ทำเกลียวของด้านแรกจากปลายเข้ามา 1 cm. และทำเกลียวด้านที่ 2 จากปลายเข้ามา 2 cm. จะได้แกนเพลาของกั้งหัน ดังรูปที่ 4.14



รูปที่ 4.14 แสดงแกนเพลาของกั้งหัน

4.3.2.3 ทำตัววัดแรงบิด

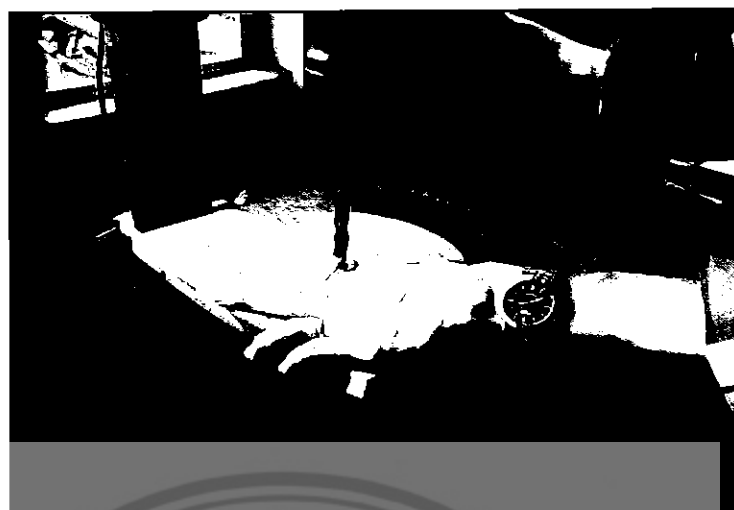
1. ใช้เหล็กหนา 2 mm. ความกว้างและยาว 22 mm. มาเจาะตรงกลางออกเป็นวงกลมเส้นผ่านศูนย์กลาง 16 mm. (ให้ขนาดใหญ่กว่าส่วนที่บุนออกมากของตุกตาเล็กน้อย เพื่อให้ครอบกันได้)
2. ใช้เหล็กเท่งกลมยาว 10 mm. เส้นผ่านศูนย์กลาง 18 mm. มากลึงเนื้อเหล็กข้างในออกให้เหลือ 2 mm.
3. ใช้เหล็กทรงกระบอกเส้นผ่านศูนย์กลางภายนอก 10 mm. เส้นผ่านศูนย์กลางภายใน 8 mm. ยาว 2.5 cm. แล้วนำมาเชื่อมติดกัน ดังรูปที่ 4.15



รูปที่ 4.15 แสดงลักษณะการเชื่อมติดกันของตัววัดแรงบิด

4.3.3 การตัดและเจาะแผ่นอะคริลิก

- 4.3.3.1 นำแผ่นอะคริลิกหนา 2 mm. มาวัดเส้นผ่านศูนย์กลาง 20 cm. วัดໄว้จำนวน 4 แผ่น
- 4.3.3.2 นำอะคริลิกที่วัดໄว้มาตัดตามขนาดและเจาะรูทรงกล่าง ขนาดเส้นผ่านศูนย์กลาง 1.5 cm. ดังรูปที่ 4.16



รูปที่ 4.16 แสดงลักษณะการเจาะแผ่นอะคริลิค

4.3.4 การทำแผ่นจากจับยึดในกังหันกับแผ่นอะคริลิค

4.3.4.1 ตัดแผ่นสังกะสีขนาดกว้าง 1.5 cm. ยาว 4 cm. ดังรูปที่ 4.17



รูปที่ 4.17 แสดงลักษณะการตัดแผ่นสังกะสีที่ได้

4.3.4.2 ทำการพับด้านยาวของแผ่นสังกะสีให้ได้ฉากและนำไปเจาะรู ดังรูปที่ 4.18



รูปที่ 4.18 แสดงลักษณะการพับและการเจาะจากจับยืด

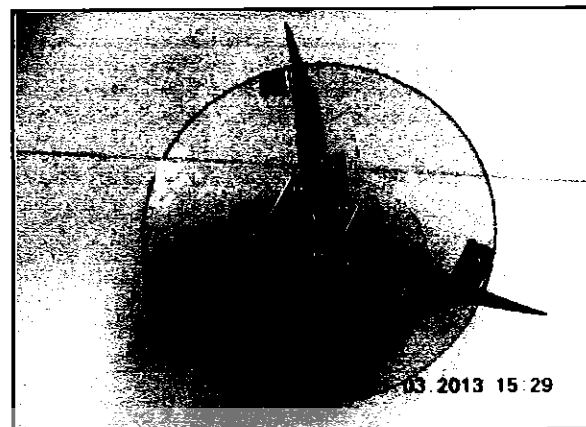
4.3.5 ขั้นตอนการประกอบกังหันลม

4.3.5.1 นำแกนเพลามา แล้วใช้แผ่นอะคริลิคที่ตัดไว้เป็นวงกลมเส้นผ่านศูนย์กลาง 20 cm. นำมาสวมเข้าไปที่แกนเพลา และนำตุ๊กตาที่เตรียมไว้มาวัดให้อยู่ตรงกึ่งกลางของอะคริลิค ดังรูปที่ 4.19



รูปที่ 4.19 แสดงตำแหน่งการวางตุ๊กตา กับอะคริลิค

4.3.5.2 นำแผ่นเรซิ่นเสริมไข้แก้วแบบแผ่นเรียบมาประกอบโดยใช้จากจับยืด โดยรักษา ของหั้ง 3 ใบ ทำมุมกัน 120 องศา ส่วนแผ่นโค้งก็ทำเหมือนกับแผ่นเรียบ ซึ่งแบบใบโค้งและแบบใบ เรียบจะห่างจากจุดศูนย์กลางของแกนเพลาเท่ากับ 2 cm. ดังรูปที่ 4.20 และรูปที่ 4.21

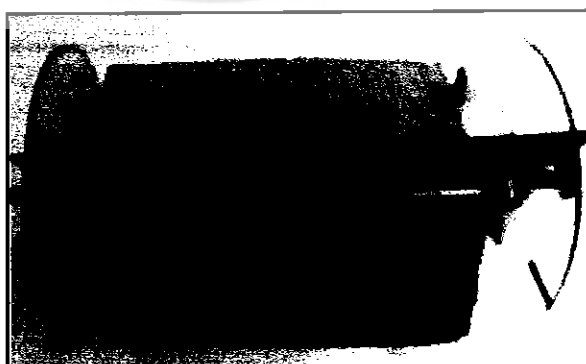


รูปที่ 4.20 แสดงลักษณะการวัดหัวมุกันของกังหันลมแบบใบเรียบ



รูปที่ 4.21 แสดงลักษณะการวัดหัวมุกันของกังหันลมแบบใบโค้ง

4.3.5.3 วัดเส้น周圍บริเวณหัวและหาง เจาะรูเพื่อที่มุนของด้านในของใบเรียบและใบโค้ง โดย
ฉากจับยึดที่ยึดด้านนอกห่างจากฉากจับยึดด้านในประมาณ 8 cm. ซึ่งลักษณะการติดจะใส่ 4 อันต่อ
1 ใน ติดแบบทแยงกัน ดังรูปที่ 4.22



รูปที่ 4.22 แสดงลักษณะการติดฉากจับยึดแบบทแยงกัน

4.3.5.4 นำน้ำอตามาสวมและขันให้แน่นเพื่อไม่ให้ใบกังหันลมหลุดออกหรือขยับเขยื้อนออกจากกัน ดังรูปที่ 4.23



รูปที่ 4.23 แสดงลักษณะการการสวมน็อตกับตัวจากจับยึด

บทที่ 5

การทดสอบประสิทธิภาพของกังหันลมแกนตั้ง

ในส่วนของบทนี้จะเป็นการทดสอบเพื่อหาประสิทธิภาพของกังหันลมแกนตั้งภายในอุโมงค์ลมภายใต้ความเร็วลม 5.5 เมตรต่อวินาที

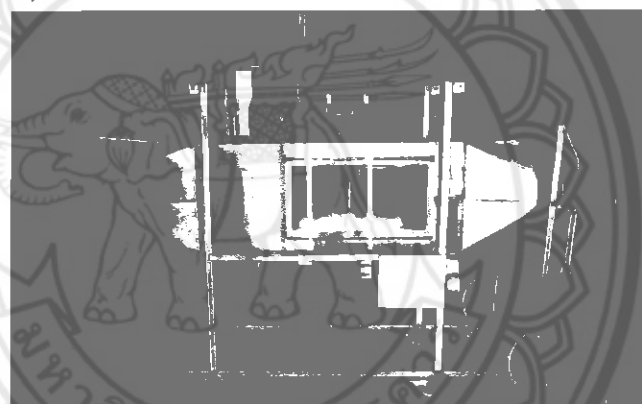
5.1 การทดสอบประสิทธิภาพกังหันลมแกนตั้งที่ความเร็วลม 5.5 เมตรต่อวินาที

5.1.1 วัสดุประสงค์

หาประสิทธิภาพของกังหันลมแกนตั้งแบบ 3 ในพัด แบบใบเรียบ และแบบใบโค้ง

5.1.2 อุปกรณ์ที่ใช้ในการทดสอบ

5.1.2.1 อุโมงค์ลม[9]



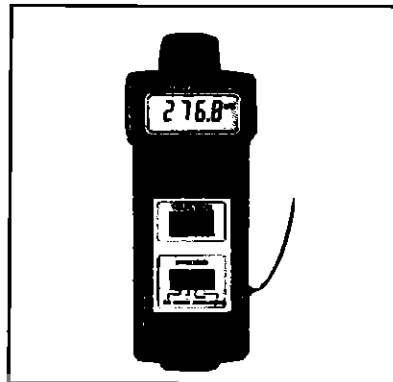
รูปที่ 5.1 อุโมงค์ลม

5.1.2.2 เครื่องวัดความเร็วลม



รูปที่ 5.2 เครื่องวัดความเร็วลม testo 511

5.1.2.3 เครื่องวัดความเร็วรอบ



รูปที่ 5.3 เครื่องวัดความเร็วรอบ MULTIFUNCTIONAL ENGINE TACHOMETER 950-1495

5.1.2.4 ตาชั่งสปริง



รูปที่ 5.4 ตาชั่งสปริง

5.1.2.5 ชุดประกอบใบพัดกังหันลมแนวแกนตั้ง



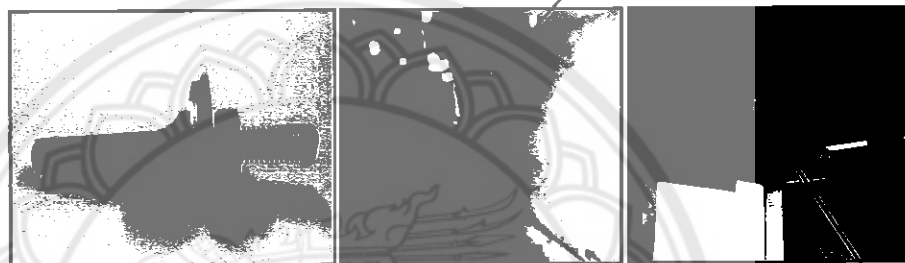
รูปที่ 5.5 ชุดประกอบใบพัดกังหันลมแนวแกนตั้ง

5.1.3 ขั้นตอนการสอบ

5.1.3.1 การติดตั้งชุดประกอบกังหันลมแนวแกนตั้งกับอุโมงค์ลมและตำแหน่งการวัดความเร็วลมหน้า และหลังกังหันลมก่อนทำการทดสอบ

- ในชุดประกอบกังหันลมแกนตั้งประกอบด้วยแกนฐานกังหันลมที่เป็นน็อตตัวผู้, น็อตตัวเมีย และวงแหวนรองน็อต 2 วง เพื่อตัวหนึ่งไว้รองด้านบนพื้นอุโมงค์ลมเวลาประกอบน็อตตัวผู้เข้ากับอุโมงค์ลม วงแหวนอีกด้านหนึ่งไว้รองได้พื้นอุโมงค์ลมรับน็อตตัวผู้และหมุนน็อตตัวเมียเข้าประกบเพื่อความแน่นหนา ป้องกันไม่ให้กังหันลมขยับขณะทำการทดสอบ ดังรูปที่ 5.6

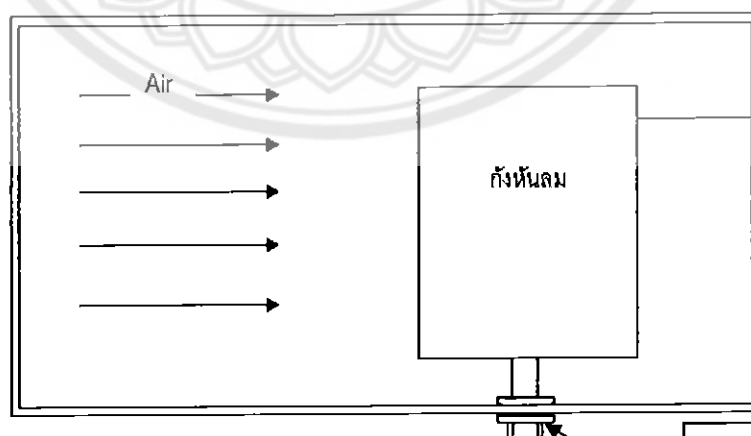
การประกอบกังหันลมเข้ากับฐานกังหันลม
ที่ทำการประกอบเข้ากันพื้นอุโมงค์ลมแล้ว



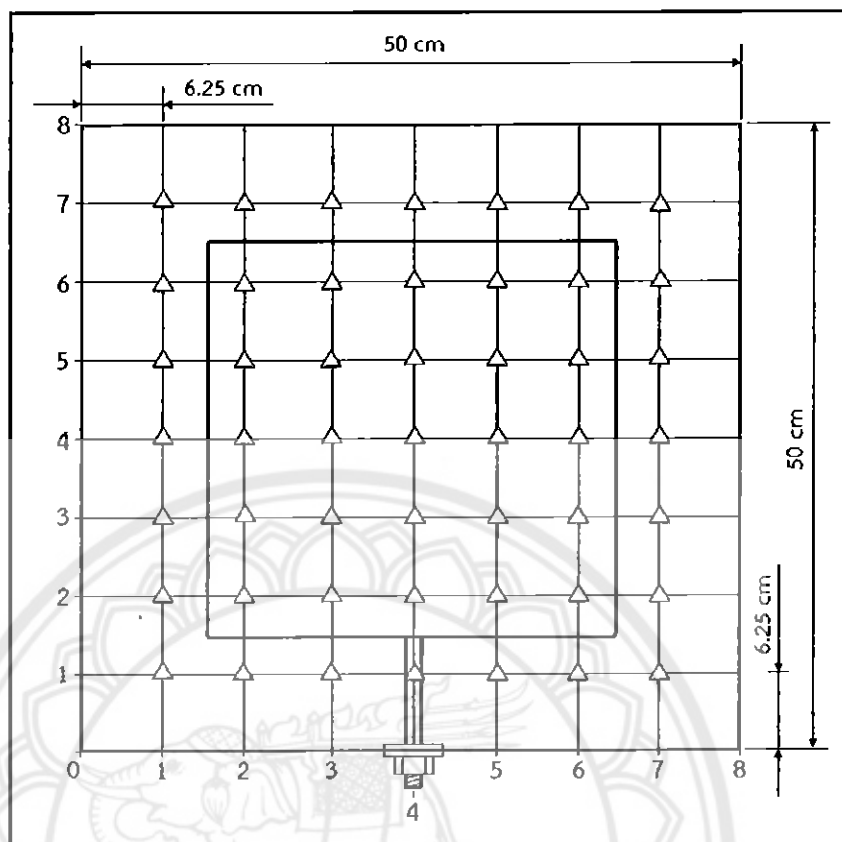
รูปที่ 5.6 ชุดประกอบกังหันลมแนวแกนตั้งกับอุโมงค์ลม

การประกอบวงแหวนและน็อตตัวเมีย
เข้ากับฐานน็อตตัวผู้ให้พื้นอุโมงค์ลม

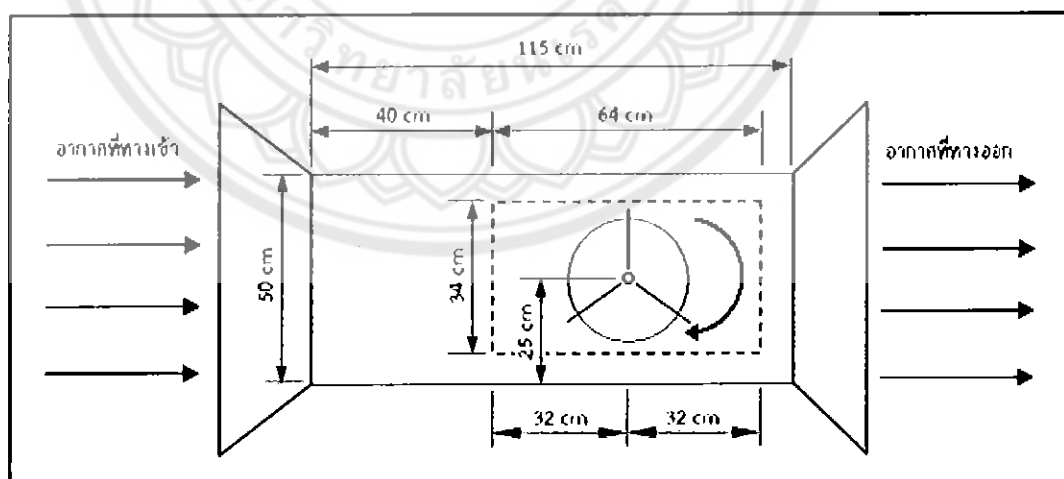
ตาชั่งสปริงจะทำงาน
เมื่อใบพัดกังหันลม
หมุน



ชุดประกอบจะเป็นตัวฐานครอบจับยึดเพื่อ
ไม่ทำให้กังหันลมเกิดการเอียงหรือเกิดการ
เบี้ยวในขณะที่ลมเข้ามาปะทะในกังหันลม



รูปที่ 5.7 แสดงตำแหน่งการวัดความเร็วลมของกั้งหันลมโดยยึดจากด้านหน้าของอุโมงค์ลม
จากรูปที่ 5.7 จุดสามเหลี่ยม แสดงตำแหน่งการวัดความเร็วลมของกั้งหันลมในอุโมงค์ลม



รูปที่ 5.8 แสดงตำแหน่งการวางกั้งหันลม และตำแหน่งการวัดความเร็วลมหน้า - หลังกั้งหันลม ใน อุโมงค์ลมโดยยึดจากด้านบนของอุโมงค์ลม

- ในการวัดความเร็วลมที่ด้านหน้าของกั้งหันลมวัดจากจุดคอคอดที่ทางเข้าของอากาศ เป็นระยะ 40 เซนติเมตร และวัดเร็วลมที่ด้านหลังจากจุดคอคอดที่ทางเข้าของอากาศเป็นระยะ 104 เซนติเมตร แสดงดังรูปที่ 5.8

5.1.3.2 ตรวจสอบความแน่นหนาหลังจากประกอบกังหันลมเข้ากับอุโมงค์ลม ดังรูปที่ 5.9 ให้เรียบร้อยก่อนทำการทดสอบ



รูปที่ 5.9 การประกอบกังหันลมเข้ากับอุโมงค์ลม

5.1.3.2 เมื่อทำการประกอบกังหันลมเข้ากับอุโมงค์ลมเรียบร้อยพร้อมการทดสอบแล้ว ปิดฝาอุโมงค์ลม แล้วเสียบปลั๊กเปิดพัดลมจนกังหันลมหมุนคงที่ดังรูปที่ 5.10 พร้อมที่จะทำการทดสอบ



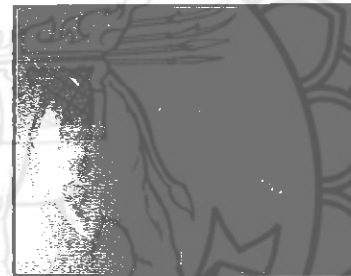
รูปที่ 5.10 แสดงการหมุนของกังหันลมก่อนทำการทดสอบ

5.1.3.3 ใส่ห่อวัดความเร็วลมที่ต่อ กับเครื่องวัดความเร็วลมเข้าไปในช่องระยะที่ต้องการ วัดในอุโมงค์ลม แล้ววัดค่าความเร็วลมทั้งหน้ากังหันลมและหลังกังหันลมดังรูปที่ 5.11 บันทึกผลลงในตารางบันทึกผลให้ครบถ้วน



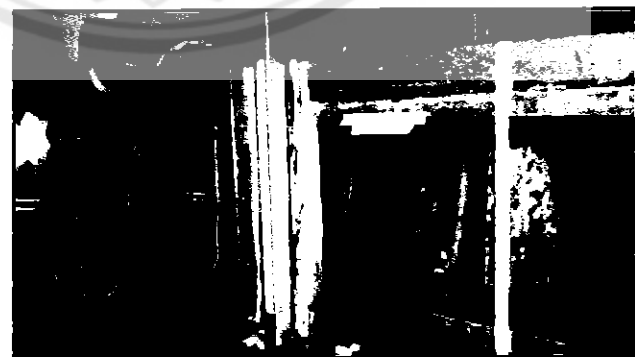
รูปที่ 5.11 แสดงการวัดความเร็วลม

5.1.3.4 เมื่อวัดความเร็วลมเรียบร้อยแล้ว ถอดอุปกรณ์วัดความเร็วลมออกจากอุโมงค์ลมให้เรียบร้อยแล้วทำการวัดความเร็วรอบ โดยถอดปลั๊กพัดลมให้กับหันลมหลุดหมุนก่อน แล้วติดกระดาษเรืองแสงที่จะทำการวัดความเร็วรอบลงบนแผ่นอะคริลิคส่วนบนของกับหันลมดังรูปที่ 5.12 เมื่อติดเสร็จเปิดพัดลมให้กับหันลมหมุนคงที่ แล้วทำการวัดความเร็วรอบโดยใช้เครื่องวัดความเร็วรอบยิงแสงเลเซอร์ไปที่กระดาษเรืองแสงที่ติดไว้โดยยิงในแนวตั้งจากกับกระดาษเรืองแสง แล้วบันทึกค่าลงในตารางบันทึกผล



รูปที่ 5.12 แสดงการติดกระดาษเรืองแสงลงบนแผ่นอะคริลิคเพื่อที่จะวัดความเร็วรอบ

5.1.3.5 เมื่อวัดความเร็วรอบเรียบร้อยแล้ว ถอดปลั๊กพัดลมออกแล้วทำการติดตั้งชุดวัดทอร์ก (T) โดยประกอบตาข่ายสปริงเข้ากับตัวกังหันที่ประกอบในอุโมงค์ลมให้เสร็จเรียบร้อย แล้วเปิดพัดลมทำการวัดทอร์ก (T) ดังรูปที่ 5.13 บันทึกค่าลงในตารางบันทึกผล



รูปที่ 5.13 แสดงการวัดทอร์ก (T)

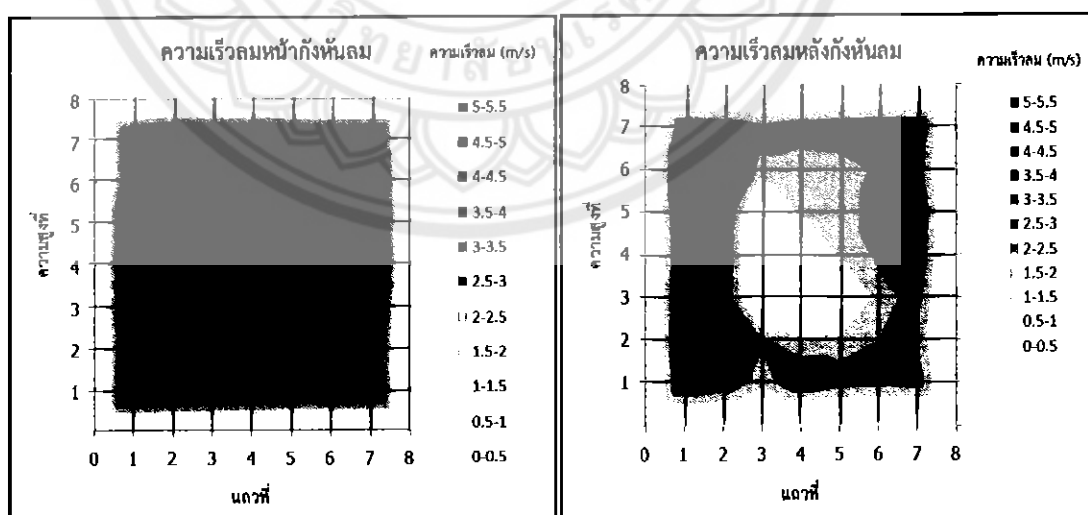
5.1.3.6 เมื่อวัดค่าต่างๆ ตามที่ต้องการและบันทึกผลเสร็จเรียบร้อยแล้ว ทำการปิดพัดลม เก็บอุปกรณ์ต่างๆ ให้เรียบร้อย

5.2 ผลการทดสอบกังหันลมในอุโมงค์ลม กังหันลมแกนตั้งชนิด 3 ใบพัด

ตารางที่ 5.1 ผลการทดสอบความเร็วลมหน้าและหลังของกังหันลมแกนตั้งชนิด 3 ในแบบใบเรียน ในอุโมงค์ลม

ความสูง ที่ แกนที่	ความเร็วลมหน้ากังหันลม (m/s)							ความเร็วลมหลังกังหันลม (m/s)						
	1	2	3	4	5	6	7	1	2	3	4	5	6	7
1	4.7	4.4	4.2	4.1	3.9	4	4	2.9	2.6	1.7	2.6	2.3	2.2	2.3
2	4.3	3.4	3.7	3.6	3.8	4.1	3.7	3.2	2.6	2.1	1.6	1.7	2	2
3	4.8	4.1	3.8	4.3	4	4.4	4.3	3.1	2.6	0	0	0	1.8	2.2
4	4.8	4.2	4.1	3.7	4.3	3.6	4.8	2.9	2.7	0	0	1.6	2.1	2.6
5	4.7	4.4	4.2	4.5	4.4	3.7	4.8	3.1	2.8	0	1.6	1.9	2.1	2.7
6	3.7	4.2	4	3.8	3.7	3.5	4.6	3.4	3	1.8	1.6	1.7	2.1	2.3
7	3.8	4.4	4.2	4.3	4.1	3.9	4	2.6	2.5	2.2	2.4	2.5	2.6	2.6
ค่าเฉลี่ย	4.12							2.06						

จากตารางที่ 5.1 เป็นการแสดงผลการวัดความเร็วลมหน้าและหลังของกังหันลมแบบใบเรียน ซึ่งวัดทั้งหมด 49 จุด แบ่งวัดตามระนาบความกว้างในอุโมงค์ลม 7 จุด โดยที่ 7 จุดนั้นอยู่ในแนวพื้นที่ความกว้างของกังหันลม และวัดตามระนาบความสูงในอุโมงค์ลม 7 จุด โดยที่ 7 จุดนั้นอยู่ในแนวพื้นที่ความสูงของกังหันลมเช่นกัน โดยกังหันลมมีทิศทางการหมุนตามเข็มนาฬิกา



รูปที่ 5.14 แสดง contour plot ของความเร็วหน้าและหลังกังหันลมแบบใบเรียน

จากรูปที่ 5.14 เป็นการแสดง contour plot ของความเร็วหน้าและหลังกังหันลมแบบใบเรียน ซึ่งแต่ละสีบอกถึงความเร็วในช่วงต่างๆ และการกระจายความเร็วลมที่ผ่านกังหันลม

ตารางที่ 5.2 ผลการวัดความเร็วรอบและแรงบิดของกังหันลมแกนตั้งชนิด 3 ใน แบบใบเรียบ

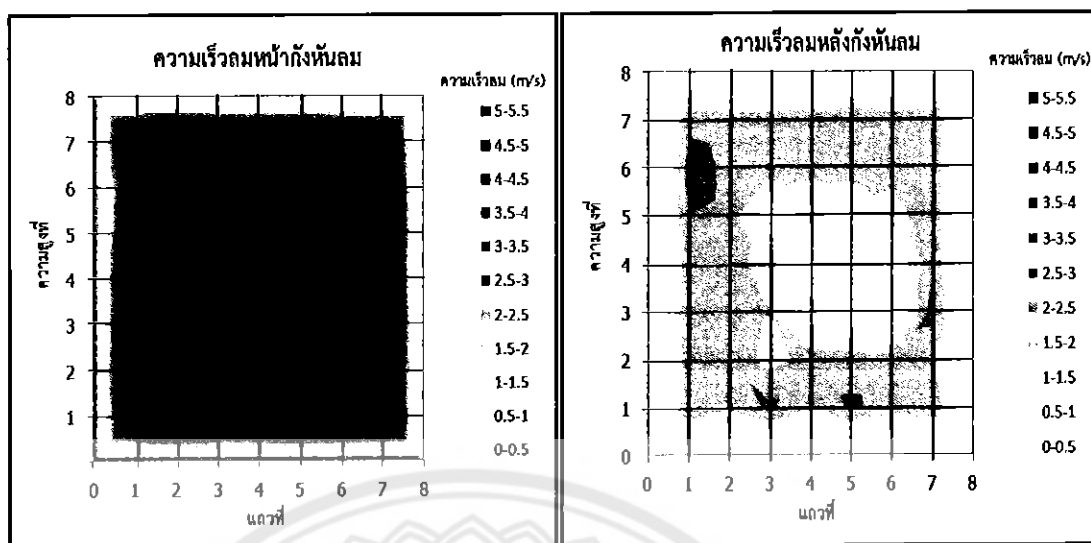
ครั้งที่	ความเร็วรอบ (rpm)	แรง (N)
1	451	1.8
2	421	1.7
3	423	1.6
ค่าเฉลี่ย	431.67	1.7

จากตารางที่ 5.2 เป็นการวัดความเร็วรอบและแรงบิดของกังหันลมแบบใบเรียบ โดยทำการวัด 3 ครั้ง และนำมาราคาเฉลี่ย

ตารางที่ 5.3 ผลผลการทดสอบความเร็วลมหน้าและหลังของกังหันลมแกนตั้งชนิด 3 ใน แบบใบโค้ง ในอุโมงค์ลม

ความสูง ที่ แก้วที่	ความเร็วลมหน้ากังหันลม (m/s)							ความเร็วลมหลังกังหันลม (m/s)						
	1	2	3	4	5	6	7	1	2	3	4	5	6	7
1	4.7	5.4	4.9	5.2	5.4	5.2	5.2	2	1.6	2.1	1.5	2.1	1.8	2
2	5.2	5.1	4	5.1	4.9	5.3	4.7	1.8	1.9	1.3	1.7	1.7	1.7	1.6
3	4.9	5.4	5.3	5.2	5	5.2	5.3	2.	1.5	1.5	0.7	0	0	2.2
4	4.9	5.1	4.3	4.5	5.2	5.1	4.9	1.8	1.8	1.2	0	0	0.4	1.9
5	4.2	4.9	4.3	5.1	5.2	5.1	5.1	2	1.9	0	0.8	0.4	1.2	1.9
6	3.7	5	4.7	5.1	5.2	5.3	4.9	2.2	1.9	2	1.8	2	1.8	1.9
7	4.9	5.4	5	4.9	5	4.4	4.5	1.9	1.8	1.8	1.9	2	1.8	2
ค่าเฉลี่ย	4.95							1.53						

จากตารางที่ 5.3 เป็นการแสดงผลการวัดความเร็วลมหน้าและหลังของกังหันลมแบบใบโค้ง ซึ่งวัดทั้งหมด 49 จุด แบ่งวัดตามระนาบความกว้างในอุโมงค์ลม 7 จุด โดยที่ 7 จุดนั้นอยู่ในแนวพื้นที่ความกว้างของกังหันลม และวัดตามระนาบความสูงในอุโมงค์ลม 7 จุด โดยที่ 7 จุดนั้นอยู่ในแนวพื้นที่ความสูงของกังหันลมเช่นกัน โดยกังหันลมมีทิศทางการหมุนตามเข็มนาฬิกา



รูปที่ 5.15 แสดง contour plot ความเร็วลมหน้าและหลังกังหันลมแบบใบโค้ง

จากรูปที่ 5.15 เป็นการแสดง contour plot ของความเร็วหน้าและหลังกังหันลมแบบใบโค้ง ซึ่งแต่ละสีบอกถึงความเร็วในช่วงต่างๆ และการกระจายความเร็วลมที่ผ่านกังหันลม

ตารางที่ 5.4 ผลการวัดความเร็วรอบและแรงบิดของกังหันลมแกนตั้งชนิด 3 ใน แบบใบโค้ง

ครั้งที่	ความเร็วรอบ (rpm)	แรง (N)
1	453	6.3
2	456	6.2
3	458	6.2
ค่าเฉลี่ย	455.67	6.23

จากตารางที่ 5.4 เป็นการวัดความเร็วรอบและแรงบิดของกังหันลมแบบใบโค้ง โดยทำการวัด 3 ครั้ง และนำมารากค่าเฉลี่ย

5.3 การคำนวณประสิทธิภาพกังหันลม

ตารางที่ 5.5 ผลการคำนวณประสิทธิภาพของกังหันลม

ชนิดกังหันลม	ความเร็วเฉลี่ย (m/s)		Pa (W)	Pw (W)	η_T (%)
	หน้ากังหันลม	หลังกังหันลม			
แบบใบเรียบ	4.12	2.06	3.87	2.177	56.52
แบบใบโค้ง	4.95	1.53	6.71	3.974	59.20

*หมายเหตุ ค่าประสิทธิภาพของกังหันลมแกนตั้งสูงที่สุดมี 30% [9]

ตารางที่ 5.6 ผลการคำนวณประสิทธิภาพเชิงกลของกังหันลม

ชนิด กังหัน ลม	ความเร็ว ลมเฉลี่ย หน้ากังหัน ลม (m/s)	ความเร็ว รอบเฉลี่ย (rpm)	แรง (N)	ω (rad/s)	T ($N\cdot m$)	Pa	$P_{out}(W)$	η_M (%)
แบบใบ เรียบ	4.12	431.67	1.70	45.2	0.0085	3.87	0.38	9.82
แบบใบ โค้ง	4.95	455.67	6.23	47.72	0.0312	6.71	1.49	22.23

5.4 วิเคราะห์ผลการทดสอบกังหันลมแกนตั้งในอุโมงค์ลม

จากการทดสอบเพื่อเปรียบเทียบกังหันลมแกนตั้งชนิด 3 ใบแบบใบเรียบและกังหันลมแกนตั้งชนิด 3 ใบแบบใบโค้งในอุโมงค์ลมภายใต้ความเร็วลม 5.5 เมตรต่อวินาที ผลการทดสอบพบว่า กังหันลมแกนตั้งชนิด 3 ใบแบบใบเรียบมีประสิทธิภาพของกังหัน 56.25 เปอร์เซ็นต์ และมีประสิทธิภาพเชิงกลของกังหัน 9.82 เปอร์เซ็นต์ กังหันลมแกนตั้งชนิด 3 ใบแบบใบโค้งมีประสิทธิภาพของกังหัน 59.2 เปอร์เซ็นต์ และมีประสิทธิภาพเชิงกลของกังหัน 22.23 เปอร์เซ็นต์

ข้อสังเกตค่าประสิทธิภาพของกังหันลมแกนตั้งตามงานวิจัย[9] มีค่าสูงที่สุดที่เป็นไปได้เพียง 30 เปอร์เซ็นต์ แต่ผลจากการทดลองกลับได้ค่าประสิทธิภาพสูงถึง 59.2 เปอร์เซ็นต์ เป็นผลกระทบจากการทดลองในอุโมงค์ลมขนาดเล็กทำให้ประสิทธิภาพของกังหันสูงกว่าค่าทางทฤษฎี ตามงานวิจัย ผลกระทบของอุโมงค์ลมขนาดเล็กที่มีต่อกังหันแกนตั้ง[9]

เมื่อเปรียบเทียบในส่วนของประสิทธิภาพเชิงกลของกังหันลมแกนตั้งทั้ง 2 แบบแล้วพบว่า กังหันลมแกนตั้งชนิด 3 ใบ แบบใบโค้งมีประสิทธิภาพเชิงกลมากกว่า 12.41 เปอร์เซ็นต์

5.5 สรุปผลการทดสอบกังหันลมในอุโมงค์ลม

จากการทดสอบกังหันลมเพื่อเปรียบเทียบกันระหว่างกังหันลมแกนตั้งชนิด 3 ใน แบบใบโค้ง และ กังหันลมแกนตั้งชนิด 3 ใน แบบใบเรียบได้ผลลูกค้าตามนี้

5.5.1 ในด้านการทดสอบความเร็วลมหน้าและหลังของกังหันลม

- กังหันลมแกนตั้งชนิด 3 ใน แบบใบเรียบ ได้ความเร็วลมหน้ากังหันลมเฉลี่ย 4.12 เมตรต่อวินาที และความเร็วลมหลังกังหันลมเฉลี่ย 2.06 เมตรต่อวินาที

- กังหันลมแกนตั้งชนิด 3 ใน แบบใบโค้ง ได้ความเร็วลมหน้ากังหันลมเฉลี่ย 4.95 เมตรต่อวินาที และความเร็วลมหลังกังหันลมเฉลี่ย 1.53 เมตรต่อวินาที

5.5.2 การทดสอบหาแรงและความเร็วรอบของกังหันลม

- กังหันลมแกนตั้งชนิด 3 ใน แบบใบแบบเรียบ ได้แรง 1.7 นิวตัน และความเร็วรอบ 431.67 รอบ/นาที

- กังหันลมแกนตั้งชนิด 3 ใน แบบใบโค้ง ได้แรง 6.23 นิวตัน และความเร็วรอบ 455.67 รอบ/นาที

5.5.3 กำลังงานที่ได้รับจากกังหันลม (P_{out})

- กังหันลมแกนตั้งชนิด 3 ใน แบบใบแบบเรียบ ได้กำลังงานที่ได้รับจากกังหันลม (P_{out}) = 0.38 W

- กังหันลมแกนตั้งชนิด 3 ใน แบบใบโค้ง ได้กำลังงานที่ได้รับจากกังหันลม (P_{out}) = 1.49 W

5.5.4 ผลการทดสอบนำมาระนาณหาประสิทธิภาพของกังหันลม

- กังหันลมแกนตั้งชนิด 3 ใน แบบใบแบบเรียบ ประสิทธิภาพของกังหันลมเท่ากับ 56.25 เปอร์เซ็นต์

- กังหันลมแกนตั้งชนิด 3 ใน แบบใบโค้ง ประสิทธิภาพของกังหันลมเท่ากับ 59.2 เปอร์เซ็นต์

5.5.5 ผลการทดสอบนำมาระนาณหาประสิทธิภาพเชิงกลของกังหันลม

- กังหันลมแกนตั้งชนิด 3 ใน แบบใบเรียบ ประสิทธิภาพเชิงกลของกังหันลมเท่ากับ 9.82 เปอร์เซ็นต์

- กังหันลมแกนตั้งชนิด 3 ใน แบบใบโค้ง ประสิทธิภาพเชิงกลของกังหันลมเท่ากับ 22.23 เปอร์เซ็นต์

ข้อเสนอแนะ

- ควรศึกษาผลกระทบของอุโมงค์ลมขนาดเล็กที่มีต่อกังหันลมแนวแกนตั้งก่อนทำการทดสอบ
 - เนื่องจากกังหันแนวแกนตั้งเมื่อนำมาทดสอบในอุโมงค์ลมขนาดเล็กแล้วทำให้เกิดการบังคับทางการไหลของอากาศ จึงควรใช้สมการที่สามารถอธิบายลักษณะการไหลของอากาศรอบๆ กังหันแนวแกนตั้งได้



บทที่ 6

สรุปผลการทดสอบกังหันลมแกนตั้ง

จากการศึกษาทดสอบและเปรียบเทียบประสิทธิภาพและประสิทธิภาพเชิงกลของกังหันลมแกนตั้งชนิด 3 ในแบบใบโค้งและกังหันลมแกนตั้งชนิด 3 ในแบบใบเรียบ ได้กำหนดขอบเขตของการทดสอบภายใต้ช่วงความเร็วลม 5.5 เมตรต่อวินาที เพื่อถูกคุณสมบัติของกังหันลม พบว่า

การสร้างใบพัดกังหันลมจากวัสดุคอมโพสิตแบบไฟเบอร์เรซิ่น 30×30 เซนติเมตร เพื่อเปรียบเทียบประสิทธิภาพของกังหันลมและประสิทธิภาพเชิงกลทั้ง 2 แบบ ระหว่างกังหันลมแกนตั้งชนิด 3 ในแบบใบโค้ง กับกังหันลมแกนตั้งชนิด 3 ในแบบใบเรียบ จากผลการทดสอบพบว่ากังหันลมแกนตั้งชนิด 3 ในแบบใบโค้งมีประสิทธิภาพของกังหัน 59.2 เปอร์เซ็นต์ และมีประสิทธิภาพเชิงกลของกังหัน 22.23 เปอร์เซ็นต์ กังหันลมแกนตั้งชนิด 3 ในแบบใบเรียบมีประสิทธิภาพของกังหัน 56.25 เปอร์เซ็นต์ และมีประสิทธิภาพเชิงกลของกังหัน 9.82 เปอร์เซ็นต์ เนื่องจากการทดลองในอุโมงค์ลมขนาดเล็กทำให้ค่าประสิทธิภาพของกังหันได้มากกว่า 30 เปอร์เซ็นต์ ซึ่งเป็นค่าที่มากกว่าประสิทธิภาพสูงสุดทางทฤษฎี[9] จึงทำการเปรียบเทียบเฉพาะค่าประสิทธิภาพเชิงกลเท่านั้น เมื่อเปรียบเทียบกังหันลมทั้ง 2 แบบแล้วกังหันลมแกนตั้งชนิด 3 ใน มีประสิทธิภาพเชิงกล 12.41 เปอร์เซ็นต์

ดังนั้นจึงสรุปได้ว่าจากการทดสอบและเปรียบเทียบกังหันลมแกนตั้งชนิด 3 ในแบบใบโค้ง และกังหันลมแกนตั้งชนิด 3 ในแบบใบเรียบ ประสิทธิภาพเชิงกลและประสิทธิภาพของกังหันที่สูงที่สุดคือกังหันลมแกนตั้งชนิด 3 ในแบบใบโค้งแสดงให้เห็นว่าเพื่อรับลมของใบพัดกังหันลมมีผลต่อประสิทธิภาพของกังหันลมและประสิทธิภาพเชิงกลของกังหันลม

ข้อเสนอแนะ

- เพื่อให้สามารถปรับค่าความเร็วลมได้ตามที่ต้องการ ควรต่ออุโมงค์ลมกับอินเวอร์เตอร์ (Inverter)

- เมื่อทำการทดสอบกังหันลมแกนตั้งควรทดสอบในอุโมงค์ลมที่มีขนาดใหญ่กว่าตัวกังหัน เพื่อให้ได้ค่าที่ใกล้เคียงกับความเป็นจริง

- จากการเปรียบเทียบประสิทธิภาพของกังหันลมแกนตั้งและกังหันลมแกนนอน[10] พบว่าประสิทธิภาพของกังหันลมของแกนนอนมีค่าสูงกว่ากังหันลมแกนตั้ง เนื่องจากกังหันลมแกนนอนมีน้ำหนักที่เบากว่าทำให้เกิดความคล่องตัวในการหมุนมากกว่า จึงส่งผลให้ประสิทธิภาพของกังหันลมแกนนอนมีค่าที่สูง ดังนั้นในการพัฒนา กังหันลมขนาดเล็กครั้งต่อไปควรทำการลดน้ำหนักสุดที่ใช้ในการสร้างให้มีน้ำหนักเบามากกว่านี้เพื่อให้ได้ประสิทธิภาพที่สูงขึ้น

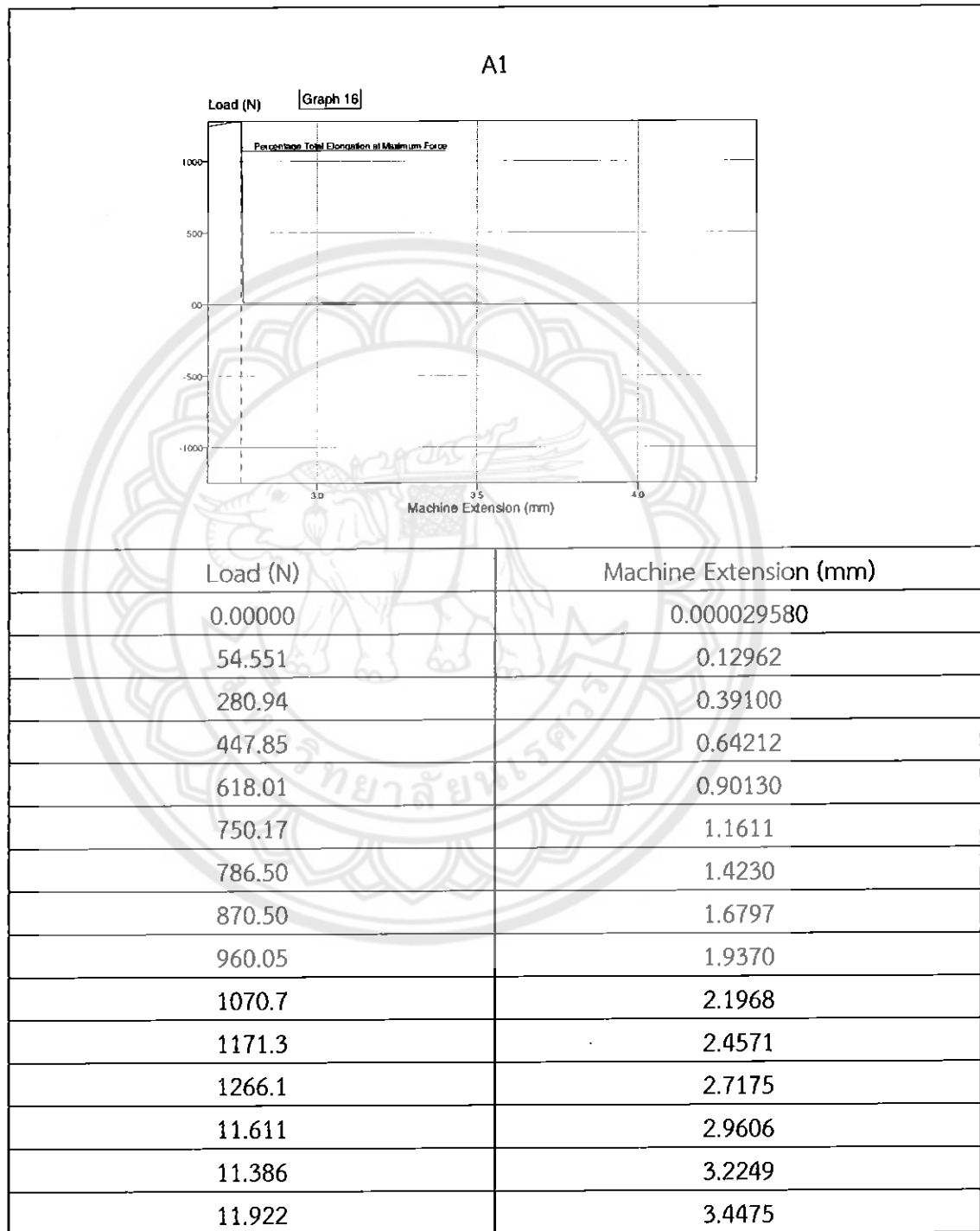
บรรณานุกรม

- [1] ธนาศ ปวนคำมา, พงศกร อนุนิวัฒน์, สะท้านภพ ขวัญแก้ว. **ศึกษาความเป็นไปได้ของการใช้กังหันลมขนาดเล็กแบบพกพาได้.** วิทยานิพนธ์ปริญญาวิศวกรรมศาสตร์บัณฑิต สาขาวิศวกรรมเครื่องกล มหาวิทยาลัยนเรศวร. 2553.
- [2] การไฟฟ้าฝ่ายผลิตแห่งประเทศไทย, ฝ่ายพัฒนาและแผนงานโรงไฟฟ้า, กองพัฒนาพลังงานทดแทน. พลังงานลม. จาก http://www2.egat.co.th/re/egat_wind/egat/wind.htm. (1 มกราคม 2555).
- [3] ศรีเดช ปัญจันธ์, สร้างกังหันลมแกนตั้ง. จาก <http://www.bigtui.exteen.com/20090609/entry>. (11 ธันวาคม 2554).
- [4] บริษัทเดนโก อินดัสทรี จำกัด. การออกแบบและทดสอบกังหันลมแกนตั้ง. จาก <http://www.denco.co.th/denco%20test%20vertical%20axis%20wind%20turbine%20part1.htm>. (5 ธันวาคม 2554).
- [5] รศ. แม่น ออมรสิทธิ์. วัสดุวิศวกรรม. จาก http://www.coe.or.th/_coe/_download/training/p_materials.pdf. (7 เมษายน 2555).
- [6] Gerald Muller, Mark F. Jentsch ; Euan stoddart. *Vertical axis resistance type wind turbines for use in buildings*. Renewable Energy. 2551 : 1407 – 1412.
- [7] J. Kumber nuss, J. Chen, H.X. Yang, L. Lu. *In vestigation into the relationship of the overlap ratio and shift angle of double stage three bladed vertical axis wind turbine(VAWT)*. Journal of Wind Engineering and Industrial Aerodynamics : 2555 : 57 – 75.
- [8] วันชัย อุ่นเพชร, สุพิช แพงสี, สิริวัฒน์ เสาร์ແດນ. การพัฒนาชุดทดสอบกังหันลมขนาดเล็ก. วิทยานิพนธ์ปริญญาวิศวกรรมศาสตร์บัณฑิต สาขาวิศวกรรมเครื่องกลมหาวิทยาลัยนเรศวร. 2554.
- [9] Iron Ross, Aaron Altman *Wind tunnel blockage corrections: Review and application to Savonius vertical-axis wind turbines*. Journal of wind Engineering and Industrial Aerodynamics : 2011 : 523-528.
- [10] ชีรพล อินธิยศ, บัญชา ใจสุข, วัสันต์ แสนภพ. การพัฒนา กังหันลมแกนนอนขนาดเล็กด้วยวัสดุคอมโพสิต. วิทยานิพนธ์ปริญญาวิศวกรรมศาสตร์บัณฑิต สาขาวิศวกรรมเครื่องกล มหาวิทยาลัยนเรศวร. 2555.

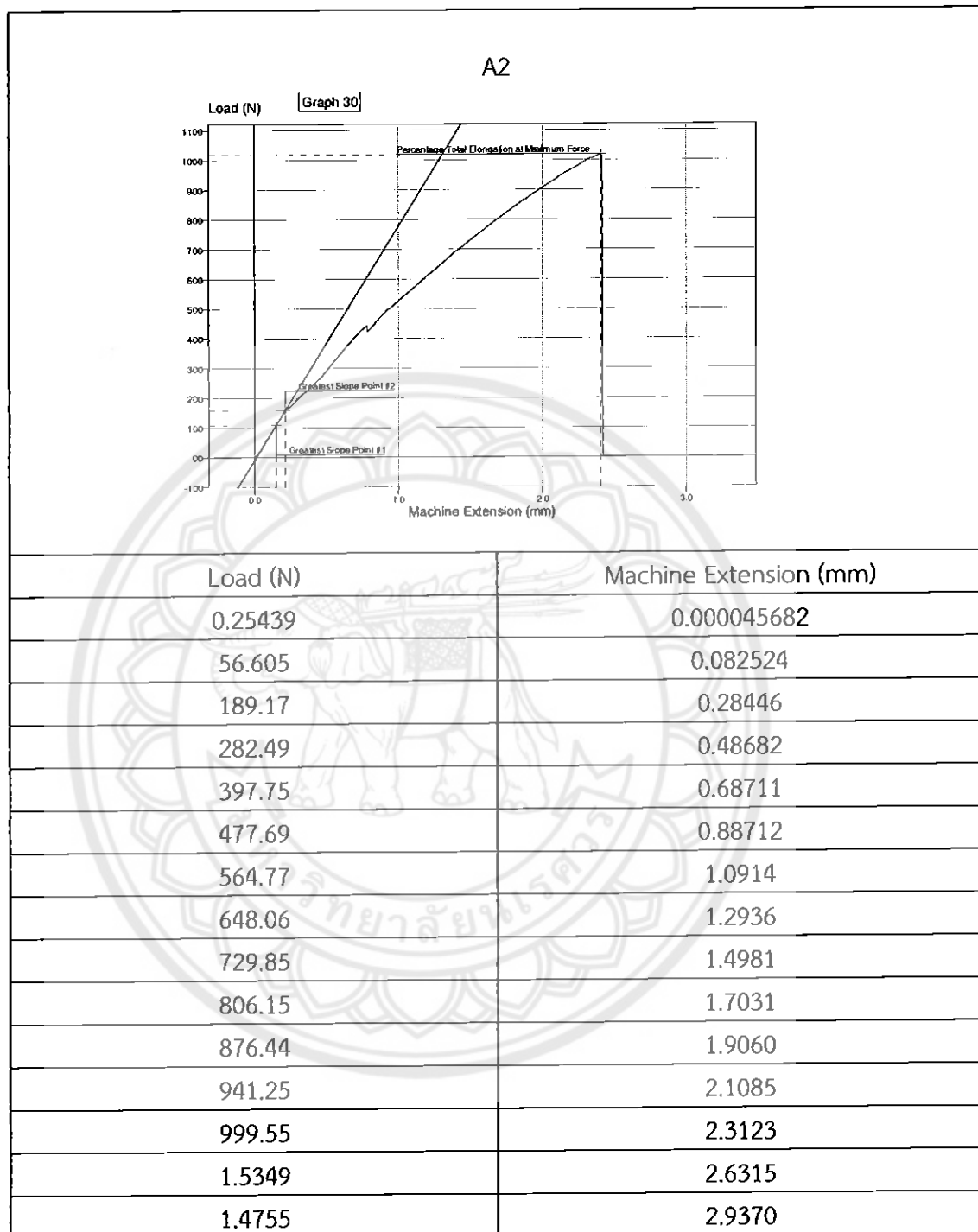


ผลการทดสอบแรงดึง

ผลการทดสอบแรงดึงวัสดุเจ็ทส์เสริมไบแก้วของเครื่องดึงวัสดุ Universal testing machine (UTM) ที่แสดงเป็นกราฟตามความสัมพันธ์ระหว่าง Load กับ ระยะยืด



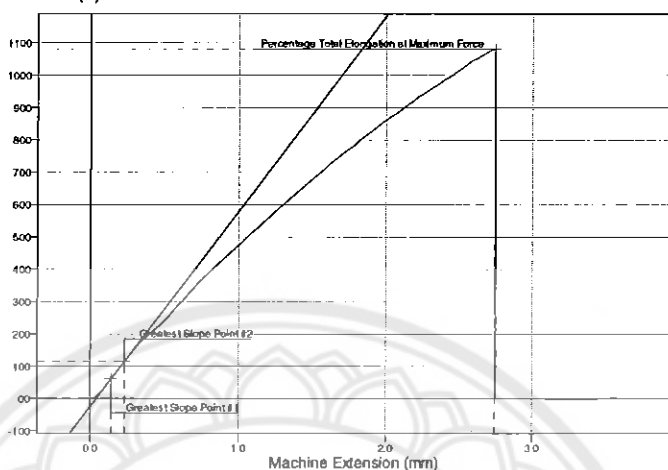
รูปที่ ก1 กราฟการทดสอบแรงดึงชิ้นงานสูตร A (ตัวทำแข็ง 0.5 กรัม ตัวทำละลาย 2 กรัม) ชิ้นที่ 1



รูปที่ ก2 กราฟการทดสอบแรงดึงชิ้นงานสูตร A (ตัวทำแข็ง 0.5 กรัม ตัวทำละลาย 2 กรัม) ชิ้นที่ 2

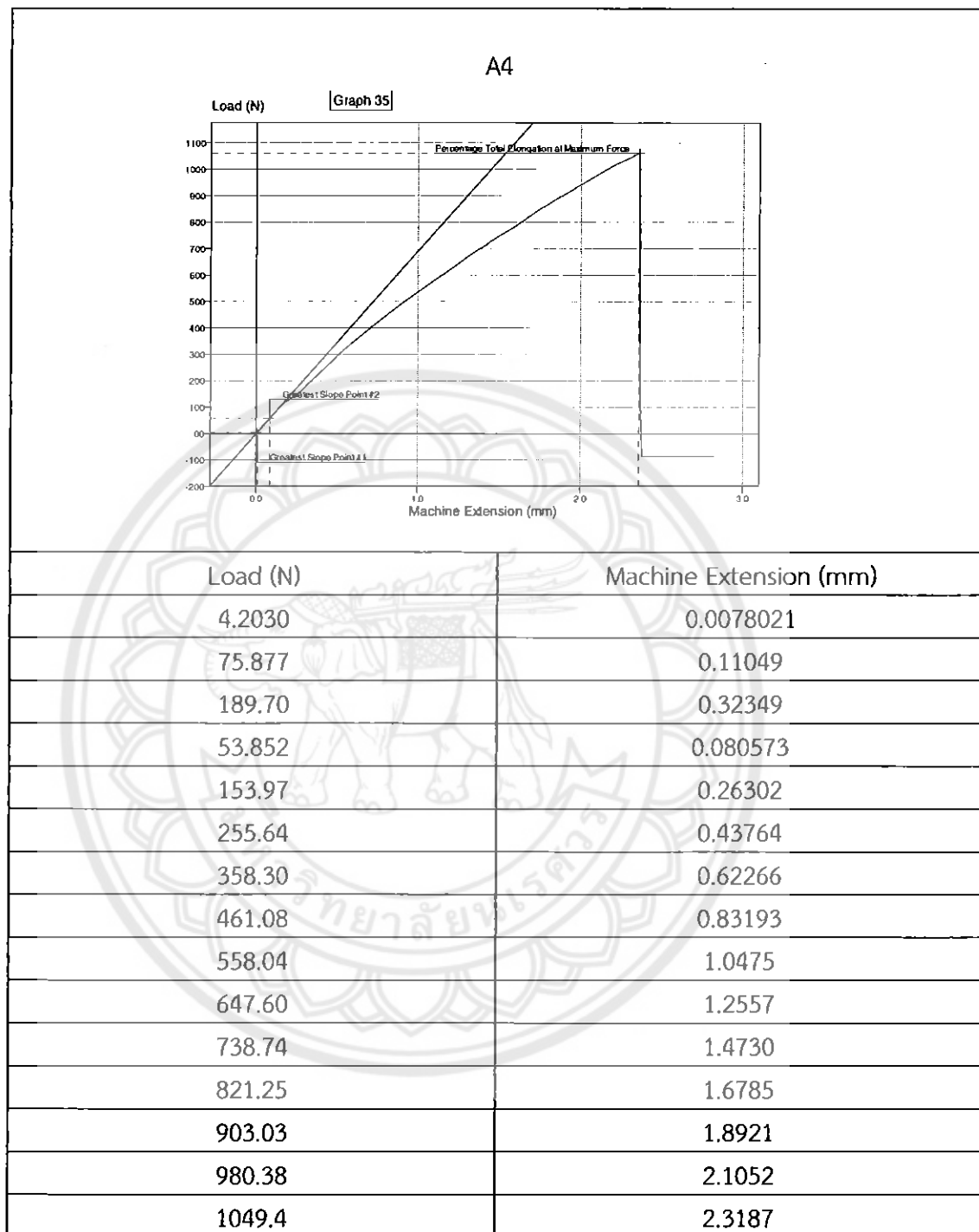
A3

Graph 31



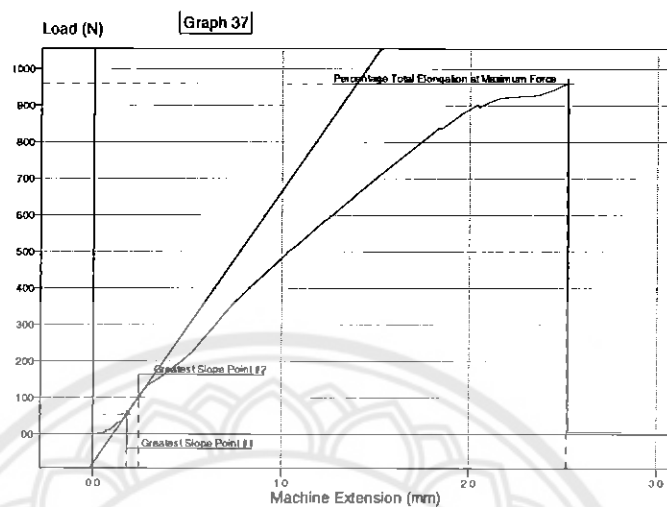
Load (N)	Machine Extension (mm)
0.00000	0.000026592
26.978	0.085377
163.54	0.31650
263.75	0.54392
377.35	0.77095
471.32	0.99205
567.34	1.2220
659.76	1.4506
747.65	1.6767
828.73	1.9043
902.75	2.1298
972.73	2.3582
1044.7	2.5874
0.19992	2.7959
0.040310	2.9870

รูปที่ ก3 กราฟการทดสอบแรงดึงชิ้นงานสูตร A (ตัวทำแข็ง 0.5 กรัม ตัวทำละลาย 2 กรัม) ชิ้นที่ 3



รูปที่ ก4 กราฟการทดสอบแรงดึงชิ้นงานสูตร A (ตัวทำแข็ง 0.5 กรัม ตัวทำละลาย 2 กรัม) ชิ้นที่ 4

A5

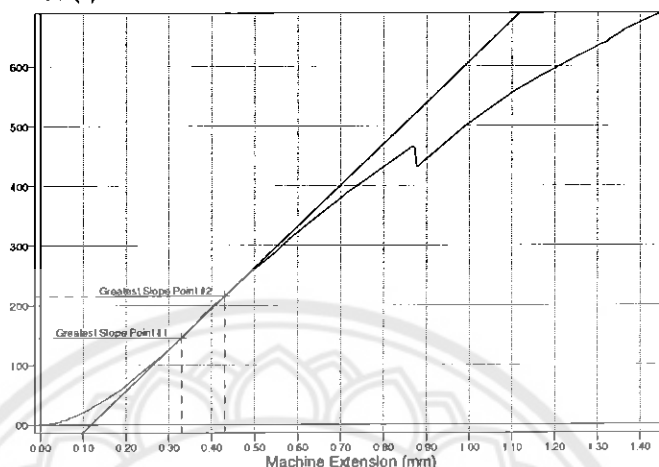


Load (N)	Machine Extension (mm)
0.14042	0.000023614
11.633	0.088939
114.75	0.26004
199.41	0.47013
301.78	0.65263
415.77	0.86139
502.55	1.0408
590.34	1.2445
669.01	1.4247
757.41	1.6358
831.12	1.8162
898.69	2.0268
924.32	2.2069
943.83	2.4494
5.4744	2.7061

รูปที่ ก5 กราฟการทดสอบแรงดึงชิ้นงานสูตร A (ตัวทำแข็ง 0.5 กรัม ตัวทำละลาย 2 กรัม) ชิ้นที่ 5

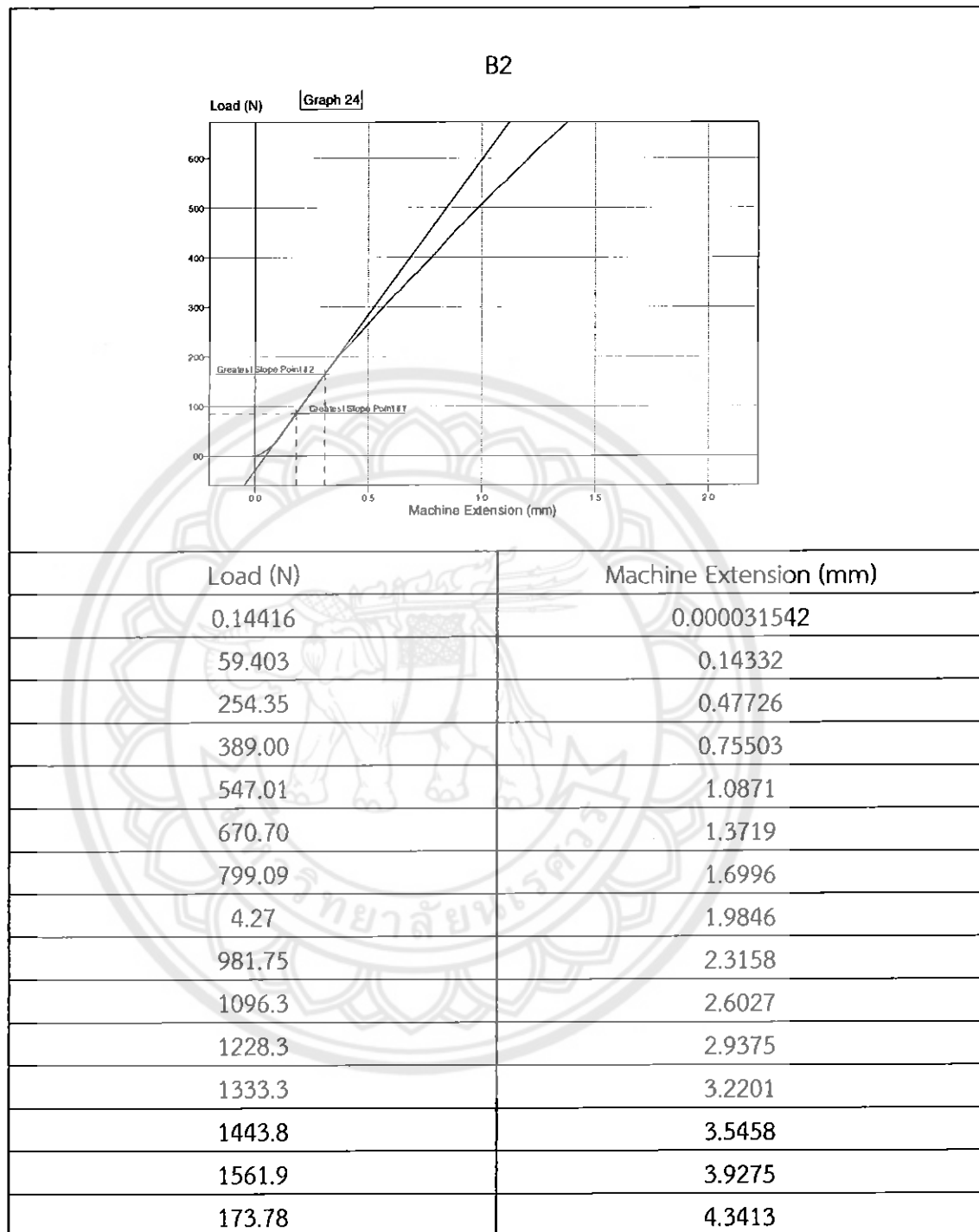
81

[Graph 19]

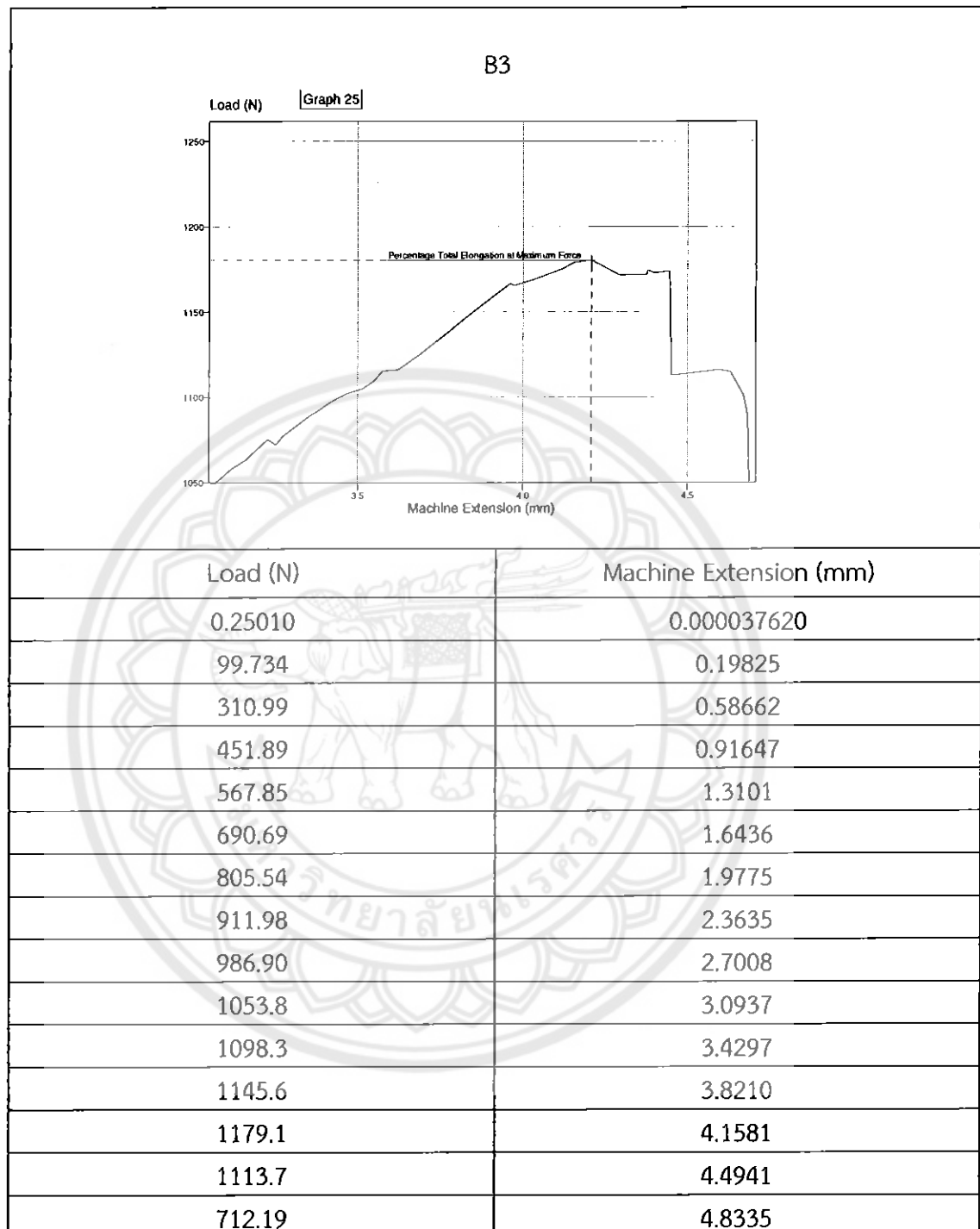


Load (N)	Machine Extension (mm)
0.34617	0.000043148
58.896	0.18955
257.53	0.49469
432.70	0.80180
560.83	1.1107
680.42	1.4216
765.37	1.7356
866.91	2.0391
980.73	2.3467
1086.0	2.6580
1194.8	2.9686
1285.4	3.2725
1377.1	3.5828
0.46825	3.9236
0.64054	4.2872

รูปที่ ก6 กราฟการทดสอบแรงดึงชิ้นงานสูตร B (ตัวทำแข็ง 0.5 กรัม ตัวทำละลาย 3 กรัม) ชิ้นที่ 1



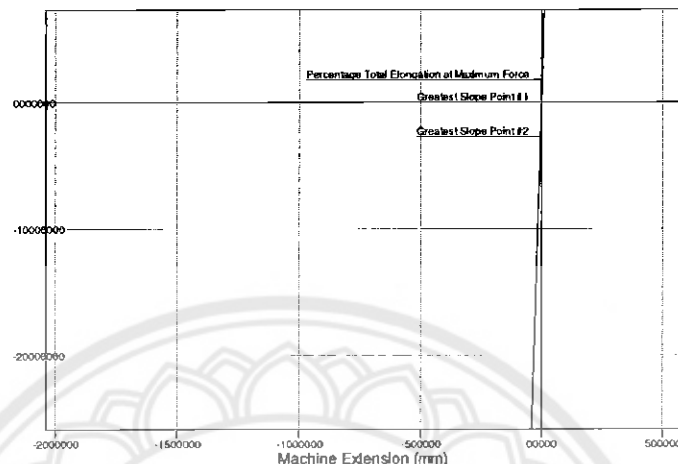
รูปที่ ก7 กราฟการทดสอบแรงดึงชิ้นงานสูตร B (ตัวทำแข็ง 0.5 กรัม ตัวทำละลาย 3 กรัม) ชิ้นที่ 2



รูปที่ ก8 กราฟการทดสอบแรงดึงชิ้นงานสูตร B (ตัวทำแข็ง 0.5 กรัม ตัวทำละลาย 3 กรัม) ชิ้นที่ 3

B4

Load (N) | Graph 28



Load (N)	Machine Extension (mm)
----------	------------------------

0.40781	0.000040696
---------	-------------

102.81	0.20764
--------	---------

307.93	0.53567
--------	---------

455.56	0.86532
--------	---------

587.06	1.1991
--------	--------

665.89	1.5327
--------	--------

764.30	1.8682
--------	--------

887.95	2.1955
--------	--------

1019.2	2.5269
--------	--------

1128.7	2.8609
--------	--------

1242.9	3.1969
--------	--------

1328.7	3.4834
--------	--------

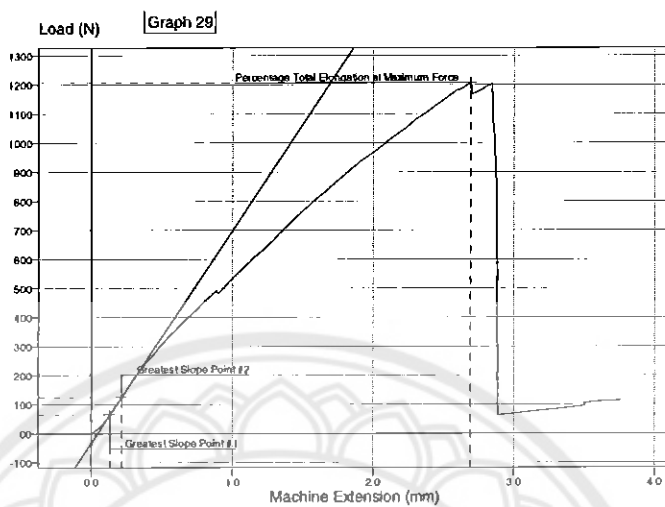
1407.7	3.8116
--------	--------

84.425	4.1266
--------	--------

118.58	4.4597
--------	--------

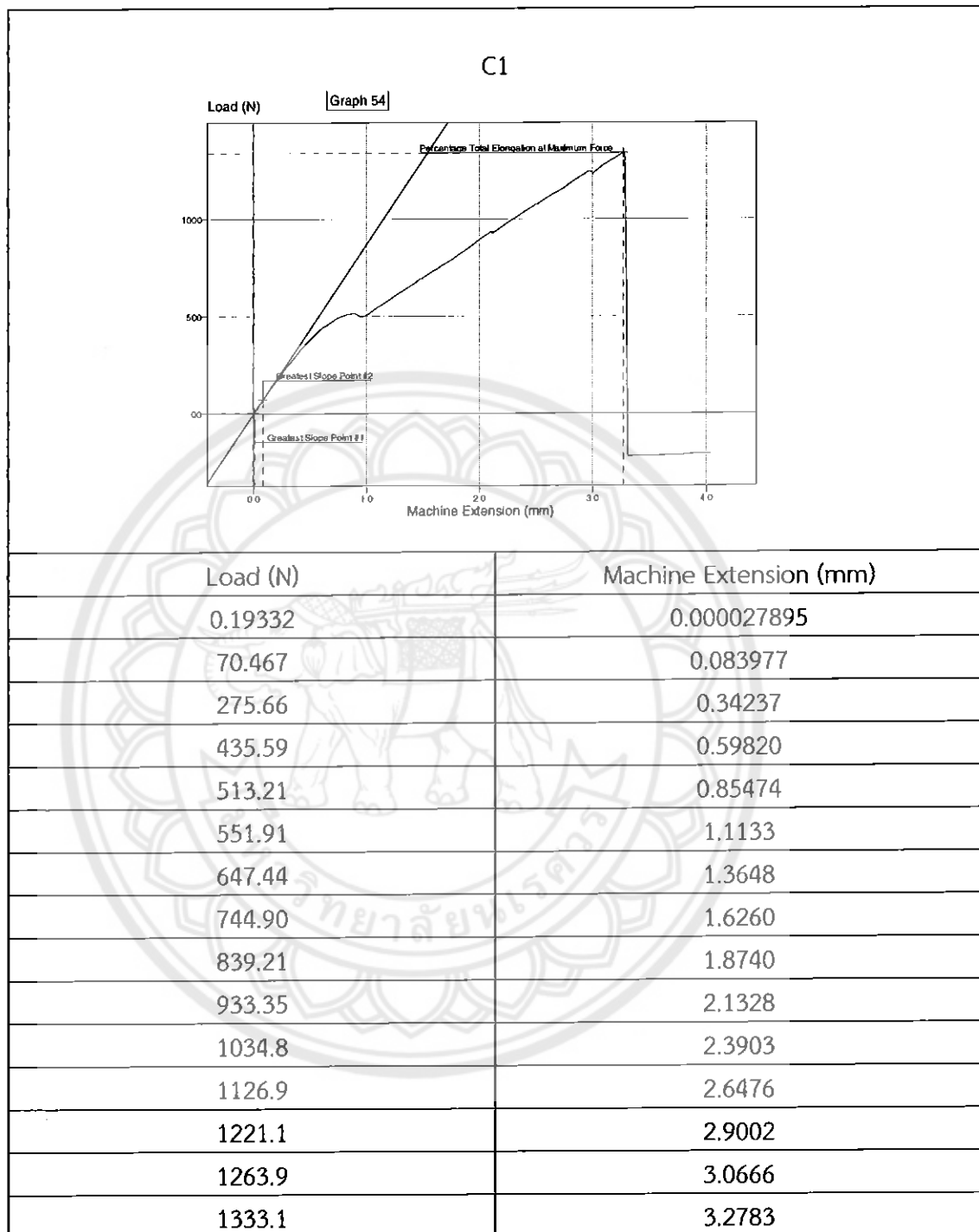
รูปที่ ก9 กราฟการทดสอบแรงดึงชิ้นงานสูตร B (ตัวทำแข็ง 0.5 กรัม ตัวทำละลาย 3 กรัม) ชิ้นที่ 4

85

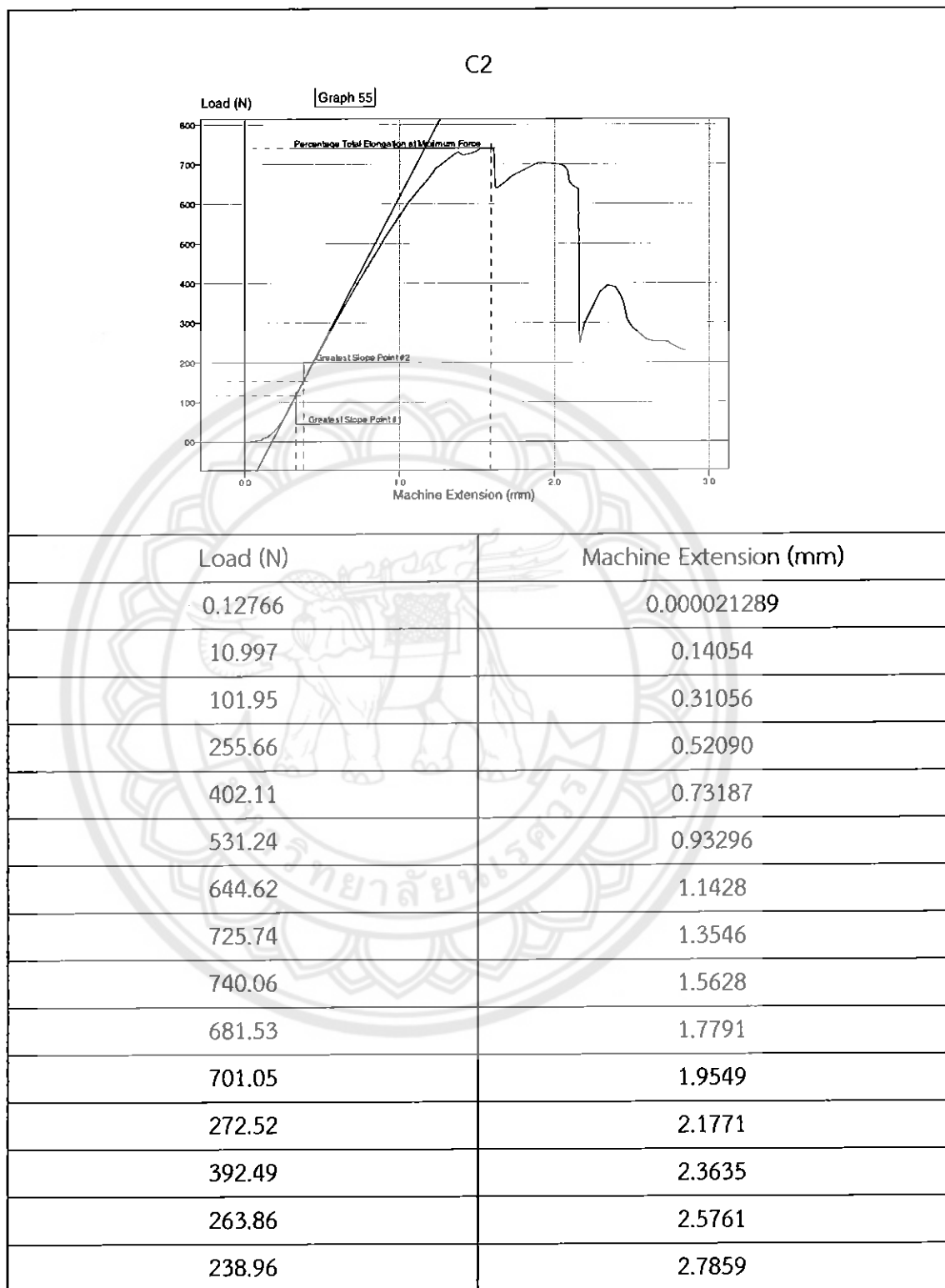


Load (N)	Machine Extension (mm)
8.5025	0.028637
93.177	0.17283
275.13	0.44452
398.53	0.68407
516.31	0.96465
626.34	1.2030
758.47	1.4815
860.44	1.7230
967.26	1.9995
1051.7	2.2329
1179.6	2.7530
69.561	3.0145
82.040	3.2519
92.439	3.4541
112.75	3.6939

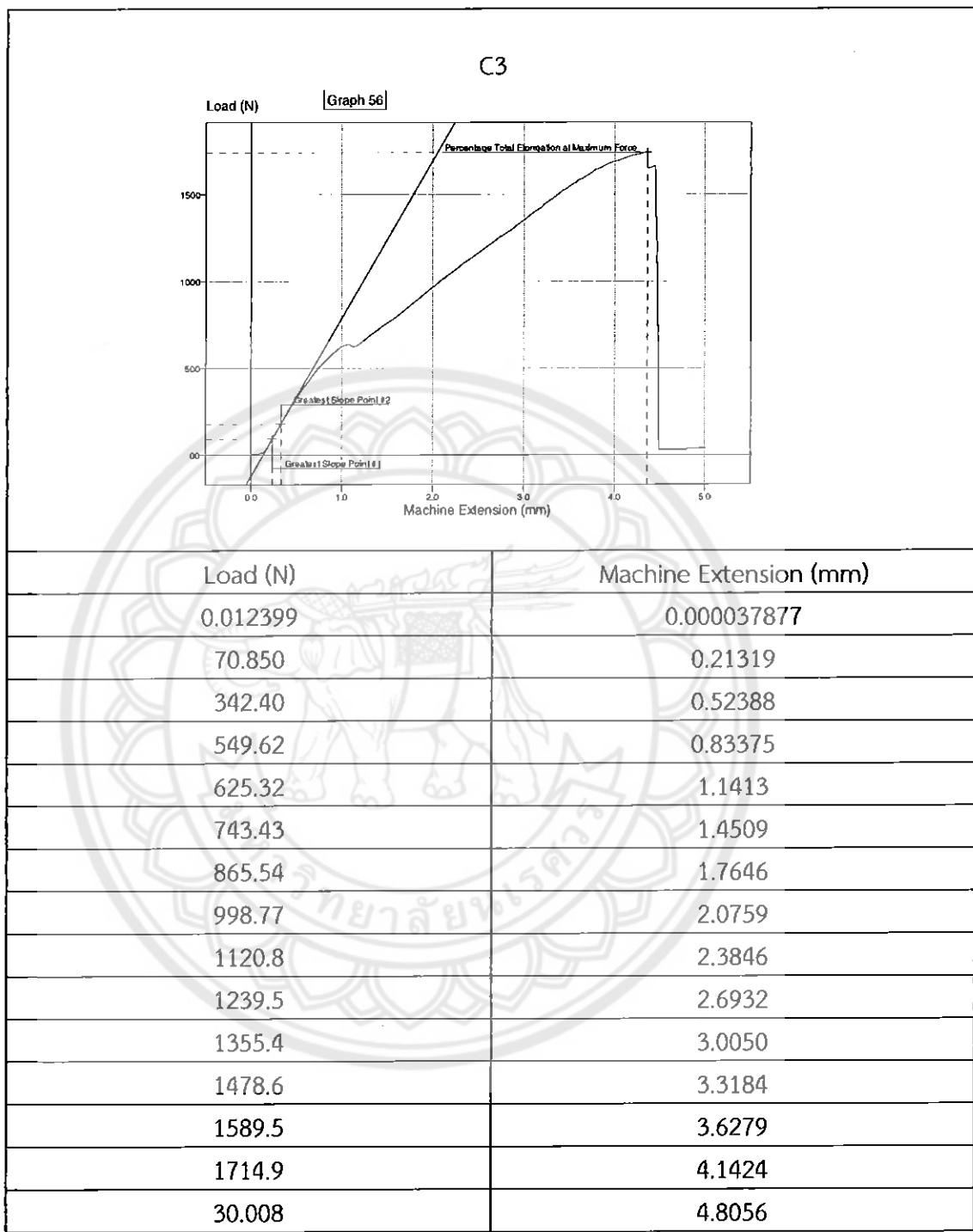
รูปที่ ก10 กราฟการทดสอบแรงดึงชิ้นงานสูตร B (ตัวทำแข็ง 0.5 กรัม ตัวทำละลาย 3 กรัม) ชิ้นที่ 5



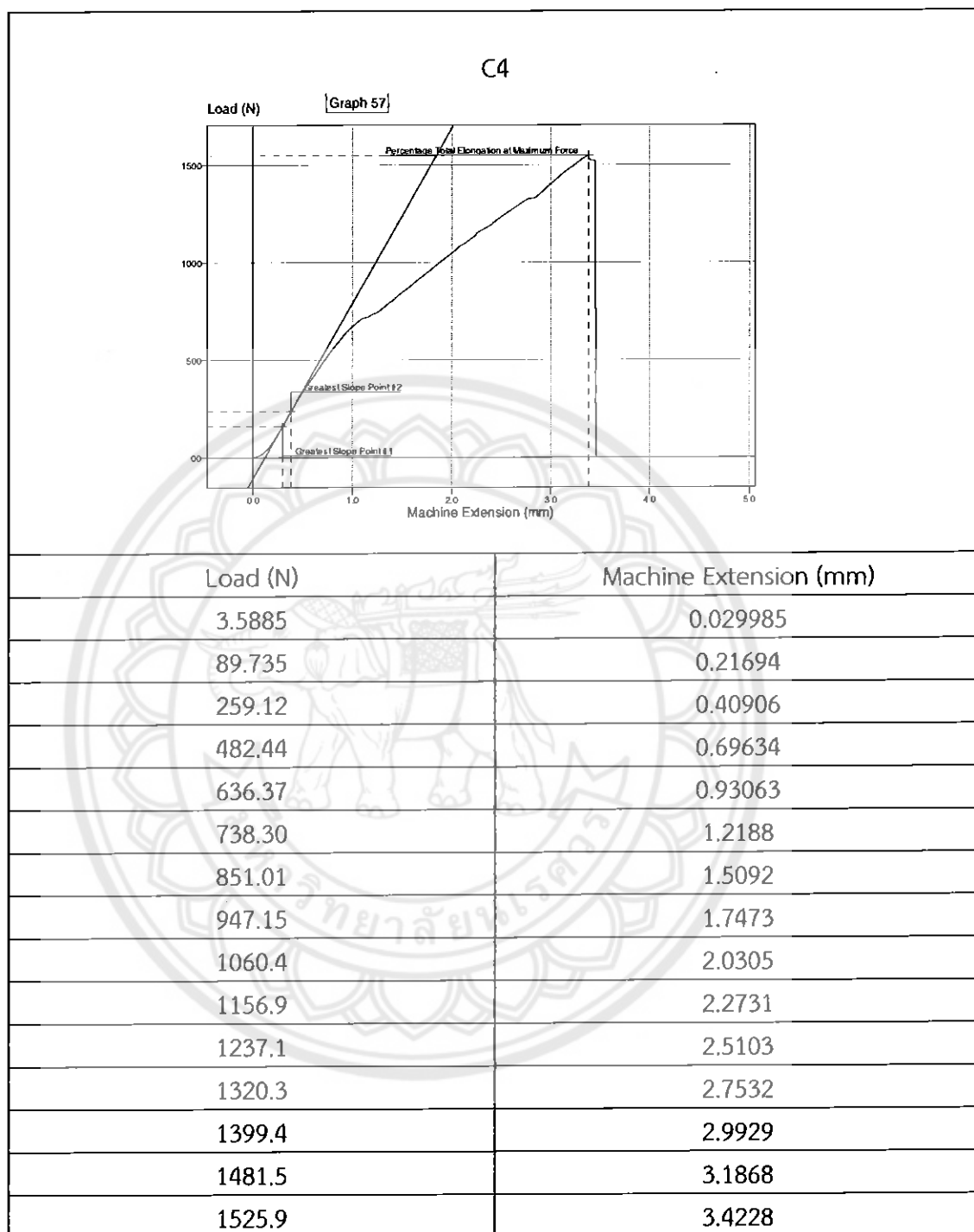
รูปที่ ก11 กราฟการทดสอบแรงดึงชิ้นงานสูตร C (ตัวทำแข็ง 0.5 กรัม ตัวทำละลาย 4 กรัม) ชิ้นที่ 1



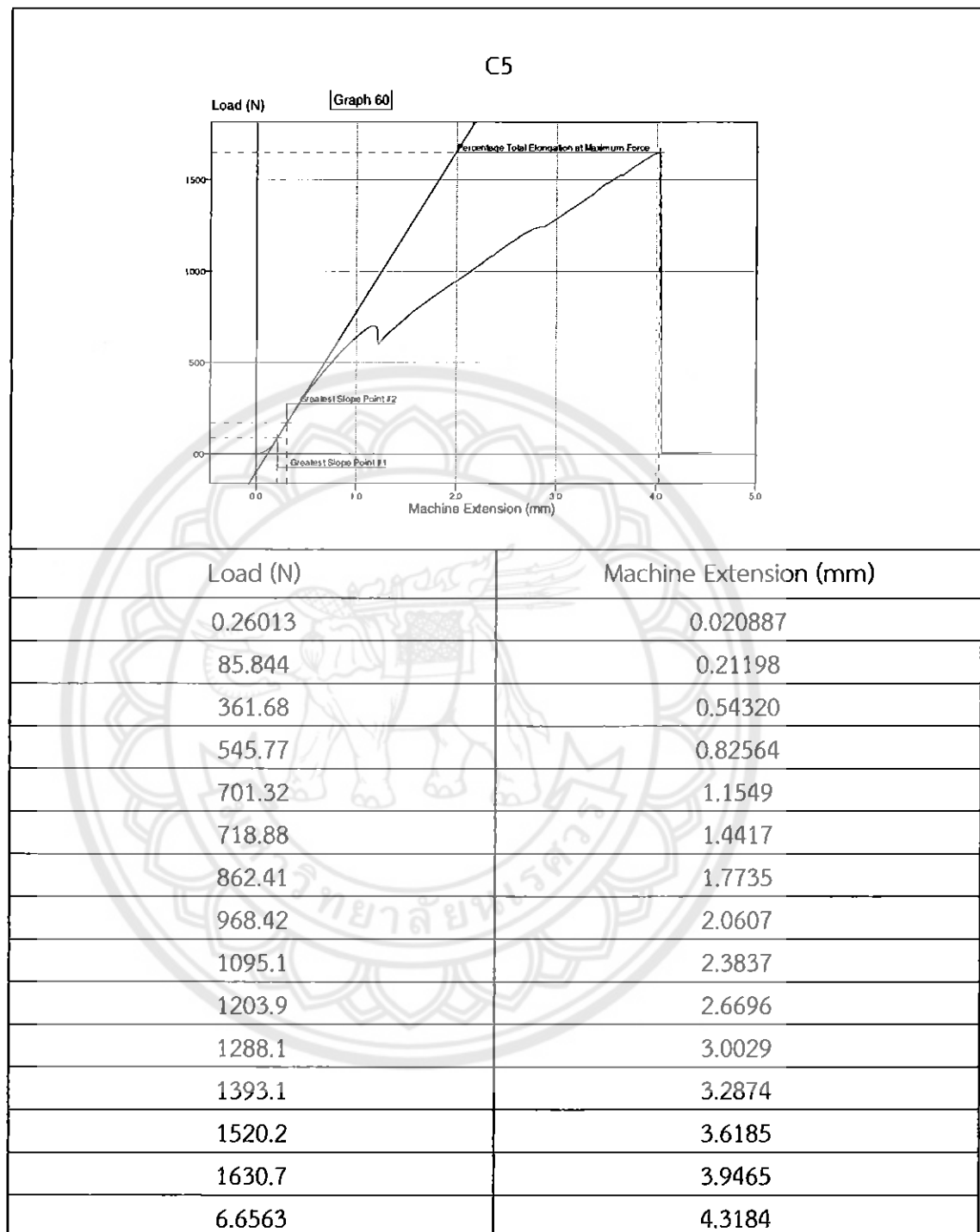
รูปที่ ก12 กราฟการทดสอบแรงดึงดันงานสูตร C (ตัวทำแข็ง 0.5 กรัม ตัวทำละลาย 4 กรัม) ชิ้นที่ 2



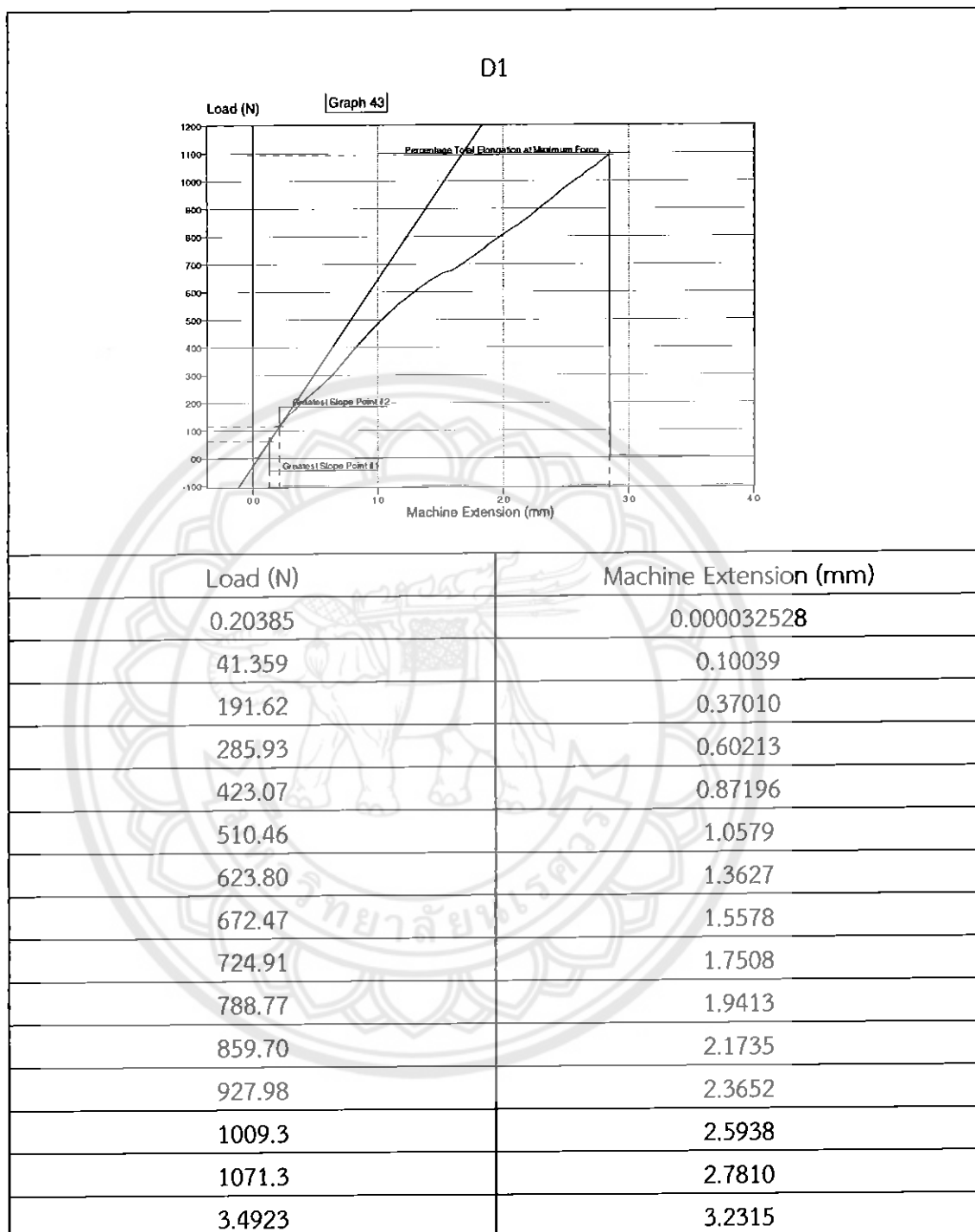
รูปที่ ก13 กราฟการทดสอบแรงดึงชิ้นงานสูตร C (ตัวทำแข็ง 0.5 กรัม ตัวทำละลาย 4 กรัม) ชิ้นที่ 3



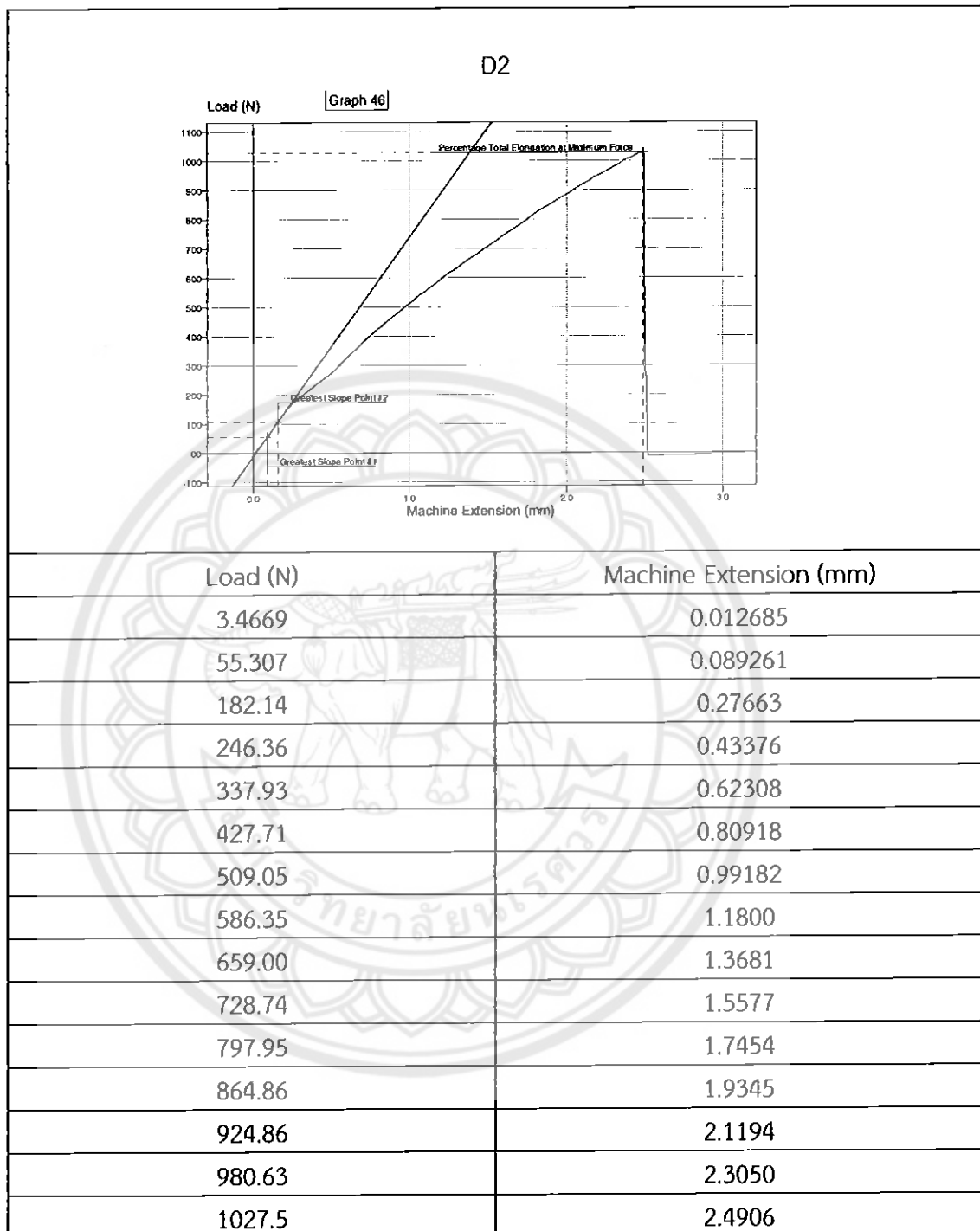
รูปที่ ก14 กราฟการทดสอบแรงดึงชิ้นงานสูตร C (ตัวทำแข็ง 0.5 กรัม ตัวทำละลาย 4 กรัม) ชิ้นที่ 4



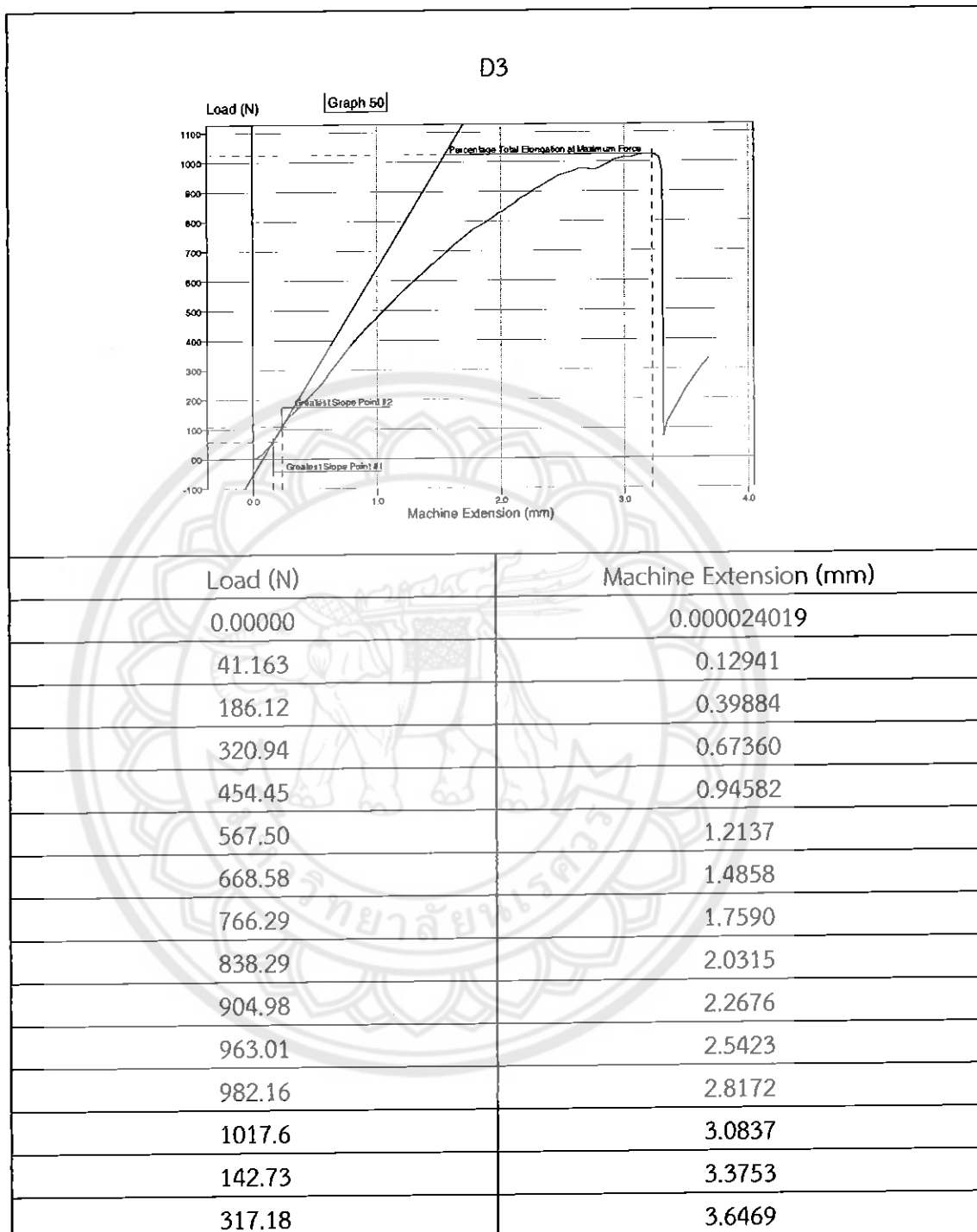
รูปที่ ก15 กราฟการทดสอบแรงดึงชิ้นงานสูตร C (ตัวทำแข็ง 0.5 กรัม ตัวทำละลาย 4 กรัม) ชิ้นที่ 5



รูปที่ ก16 กราฟการทดสอบแรงดึงชิ้นงานสูตร D (ตัวทำแข็ง 1 กรัม ตัวทำละลาย 2 กรัม) ชิ้นที่ 1



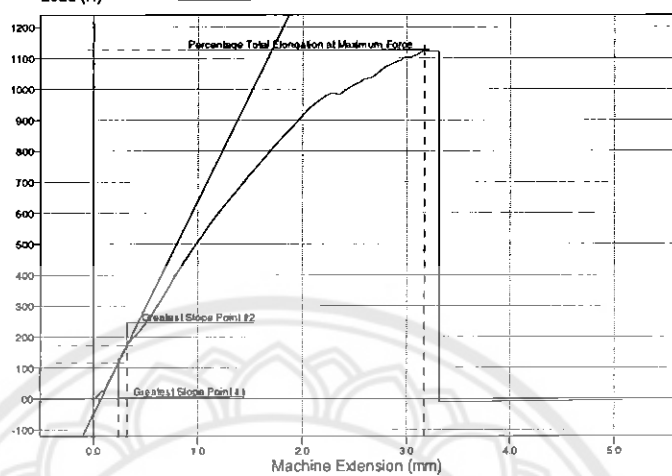
รูปที่ ก17 กราฟการทดสอบแรงดึงชิ้นงานสูตร D (ตัวทำแข็ง 1 กรัม ตัวทำละลาย 2 กรัม) ชิ้นที่ 2



รูปที่ ก18 กราฟการทดสอบแรงดึงชิ้นงานสูตร D (ตัวทำแข็ง 1 กรัม ตัวทำละลาย 2 กรัม) ชิ้นที่ 3

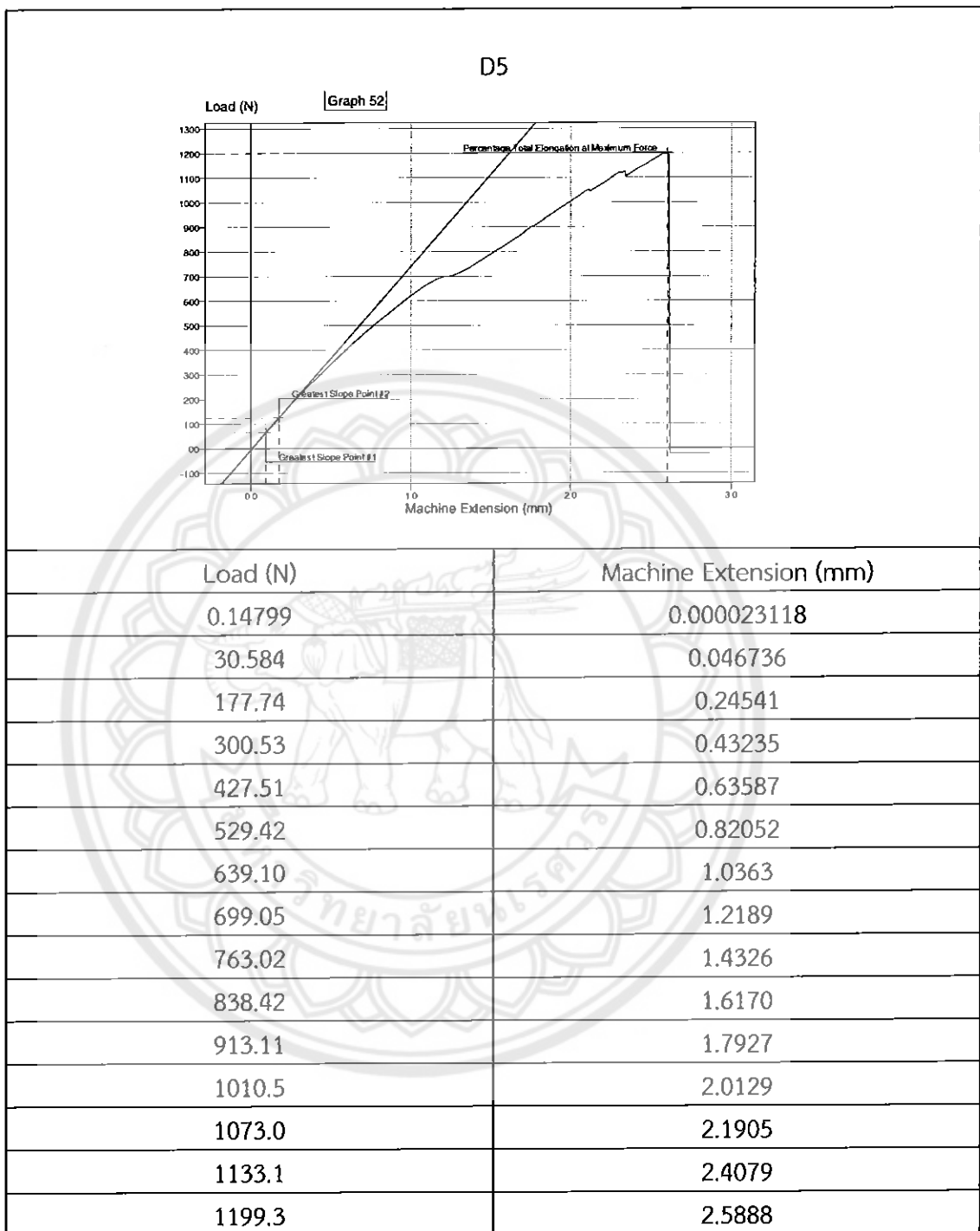
D4

[Graph 51]

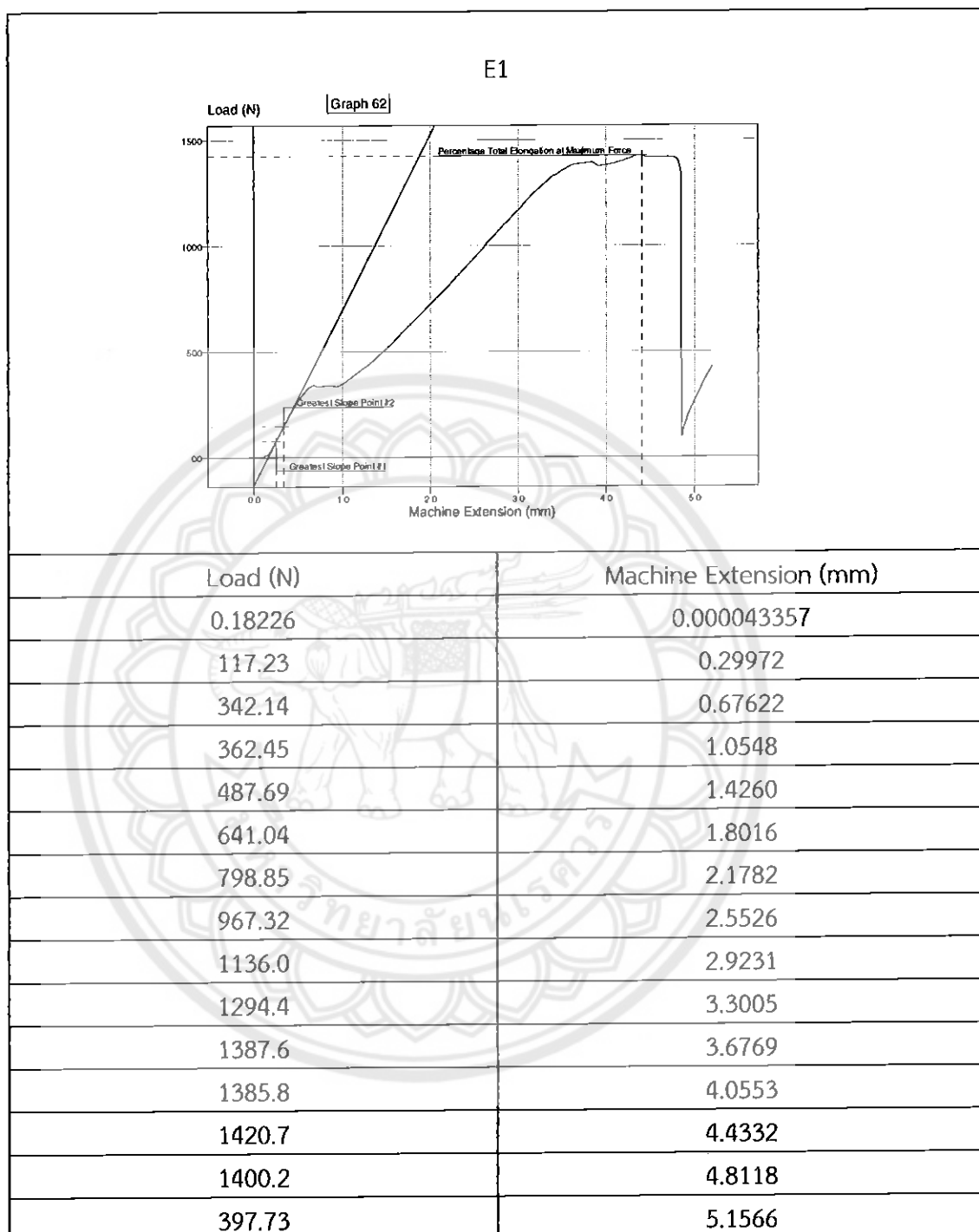


Load (N)	Machine Extension (mm)
6.2052	0.030491
85.536	0.19499
224.36	0.45907
362.38	0.72405
503.29	0.98948
622.00	1.2485
729.82	1.5100
834.85	1.7791
931.61	2.0429
983.79	2.2554
1008.3	2.4664
1042.4	2.6809
1086.9	2.8894
1122.5	3.1566
956.40	3.3121

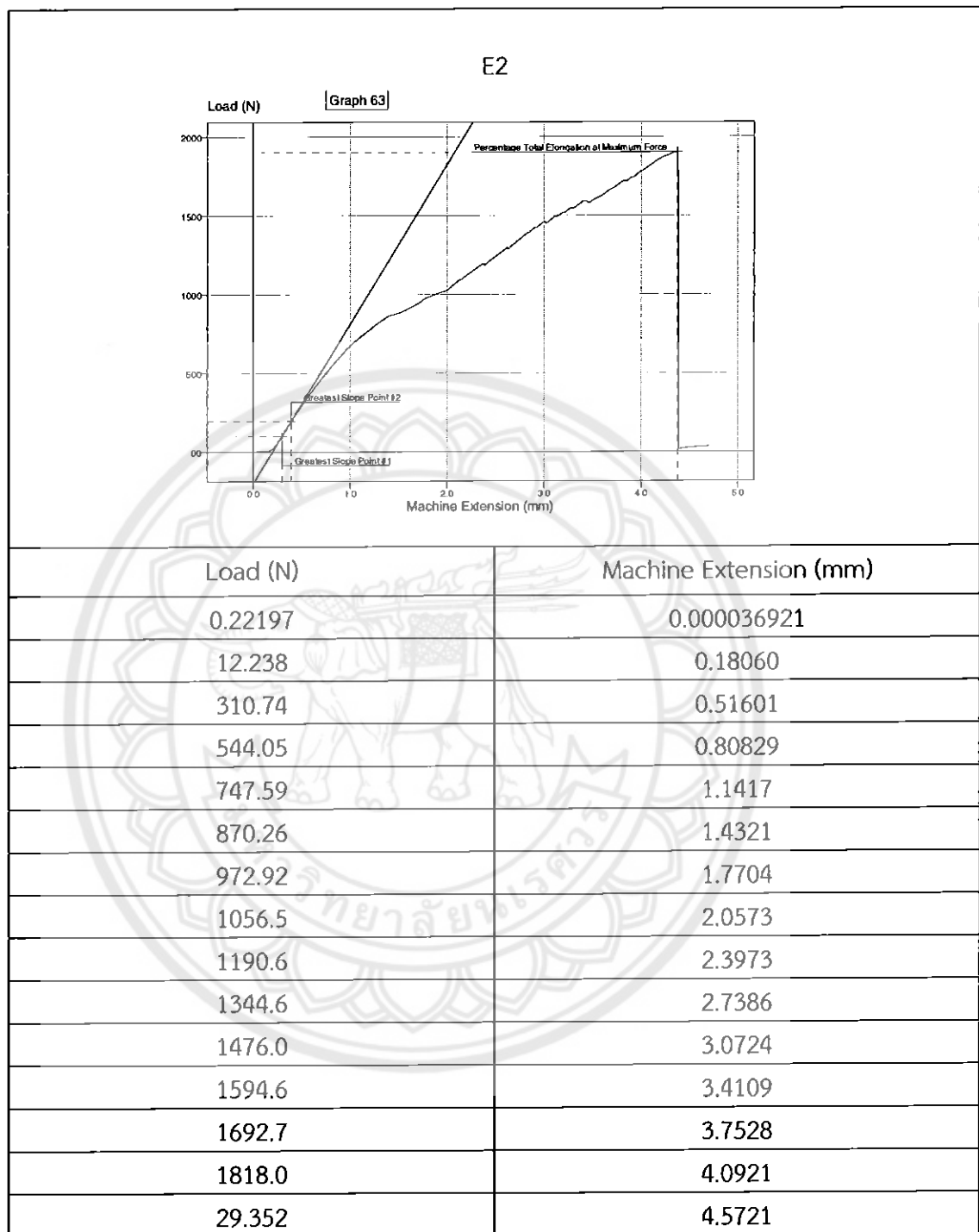
รูปที่ ก19 กราฟการทดสอบแรงดึงขึ้นงานสูตร D (ตัวทำแข็ง 1 กรัม ตัวทำละลาย 2 กรัม) ชิ้นที่ 4



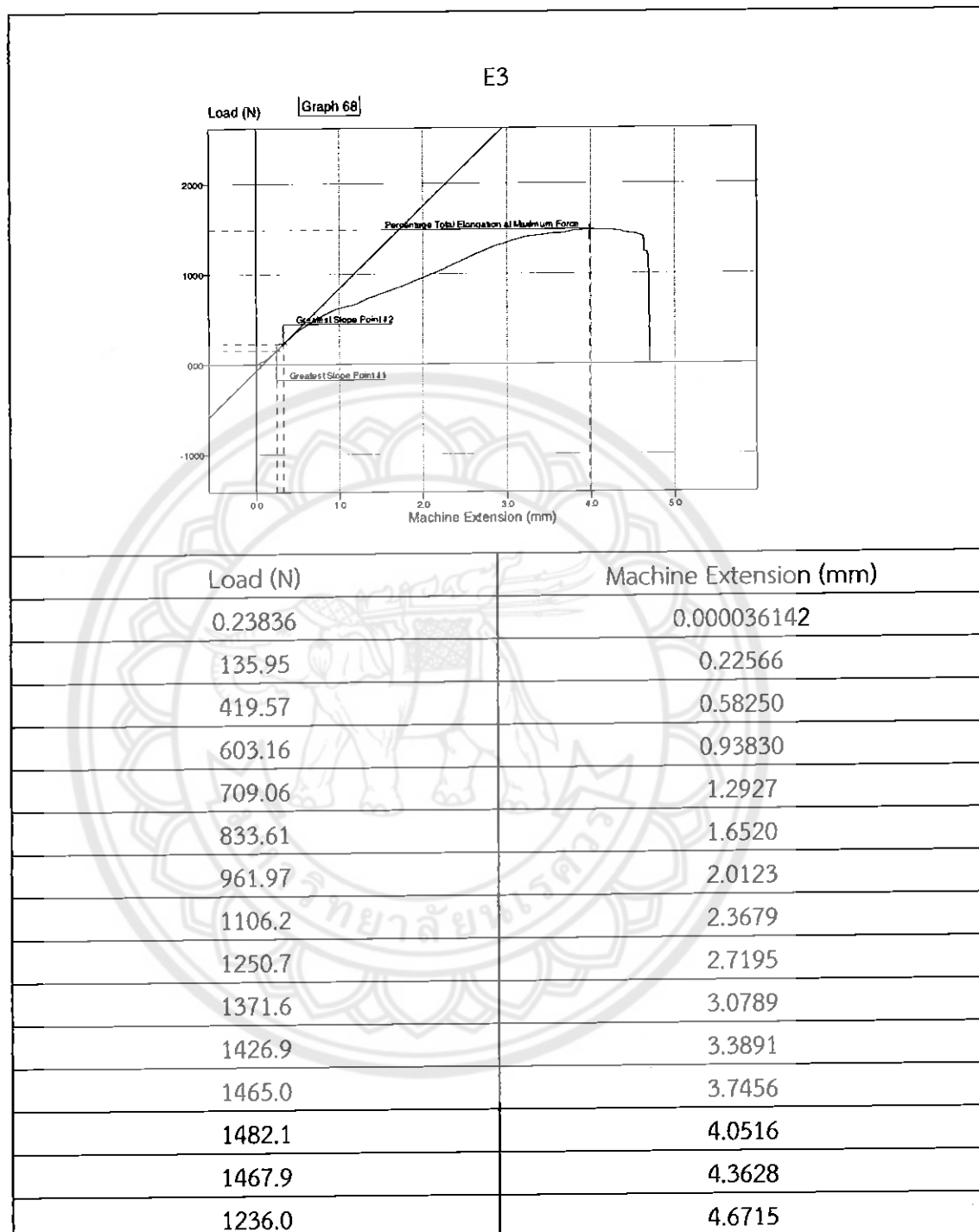
รูปที่ ก20 กราฟการทดสอบแรงดึงชิ้นงานสูตร D (ตัวทำแข็ง 1 กรัม ตัวทำละลาย 2 กรัม) ชิ้นที่ 5



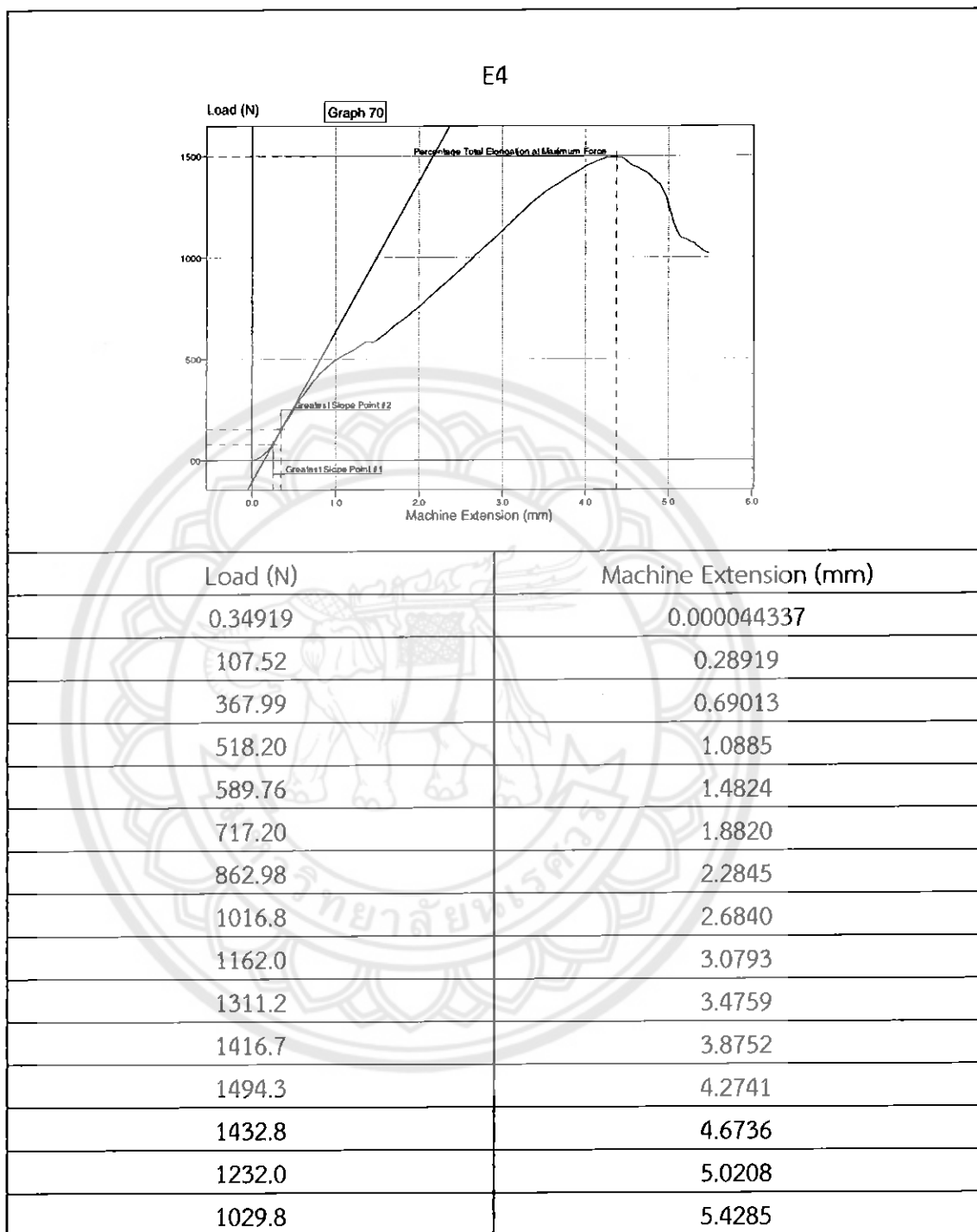
รูปที่ ก21 กราฟการทดสอบแรงดึงขึ้นงานสูตร E (ตัวทำแข็ง 1 กรัม ตัวทำละลาย 3 กรัม) ชิ้นที่ 1



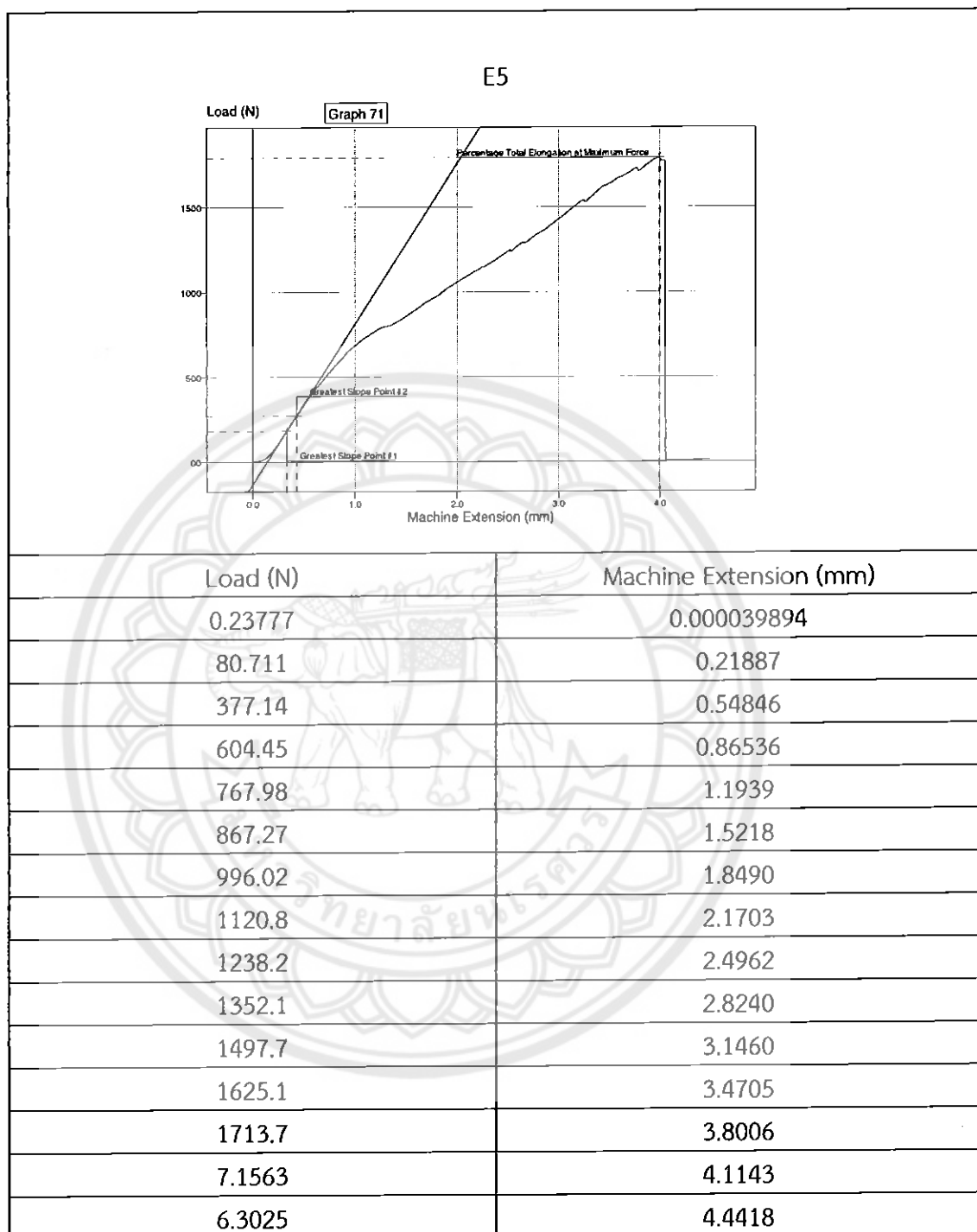
รูปที่ ก22 กราฟการทดสอบแรงดึงชิ้นงานสูตร E (ตัวทำแข็ง 1 กรัม ตัวทำลาย 3 กรัม) ชิ้นที่ 2



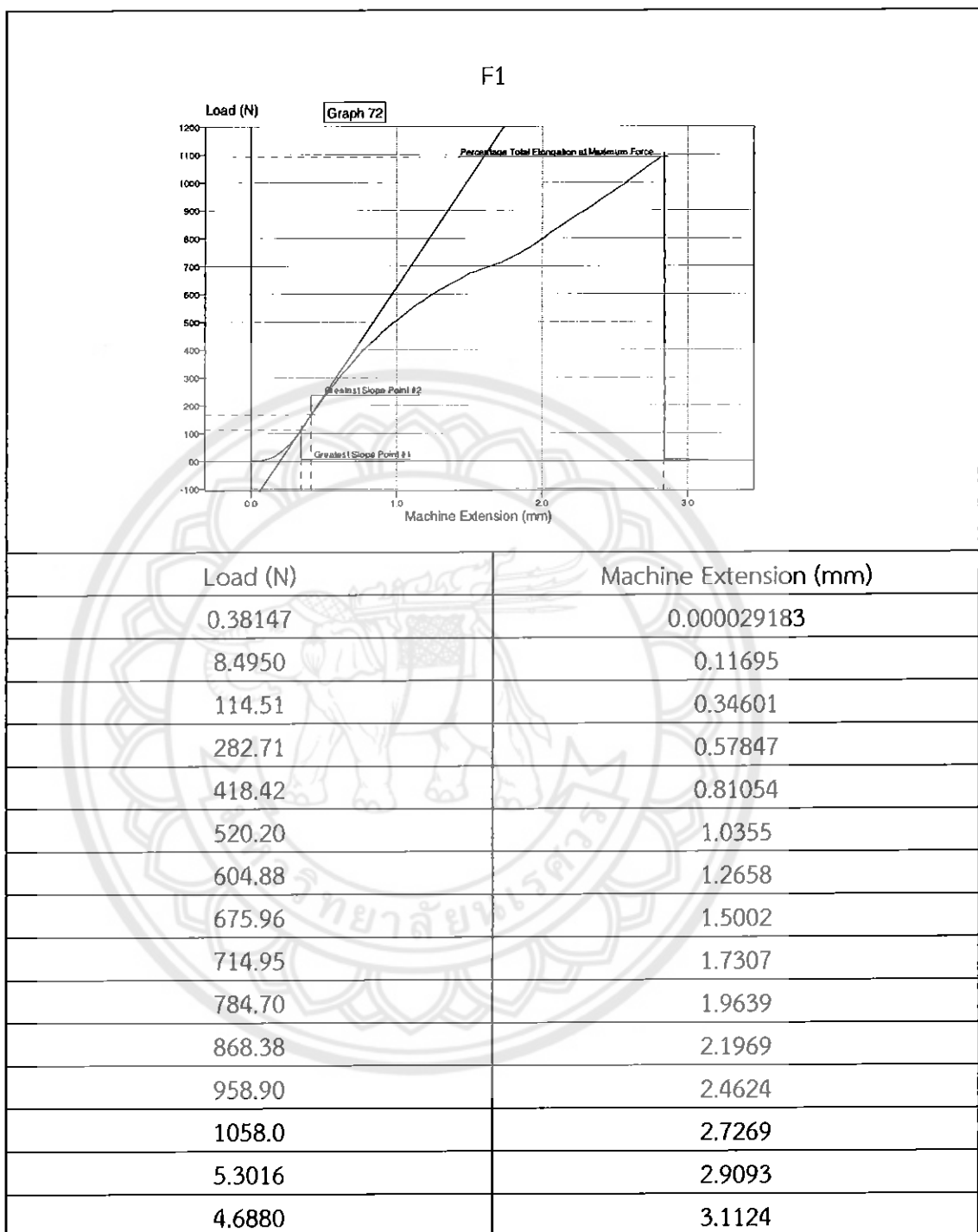
รูปที่ ก23 กราฟการทดสอบแรงดึงชิ้นงานสูตร E (ตัวทำแข็ง 1 กรัม ตัวทำละลาย 3 กรัม) ชิ้นที่ 3



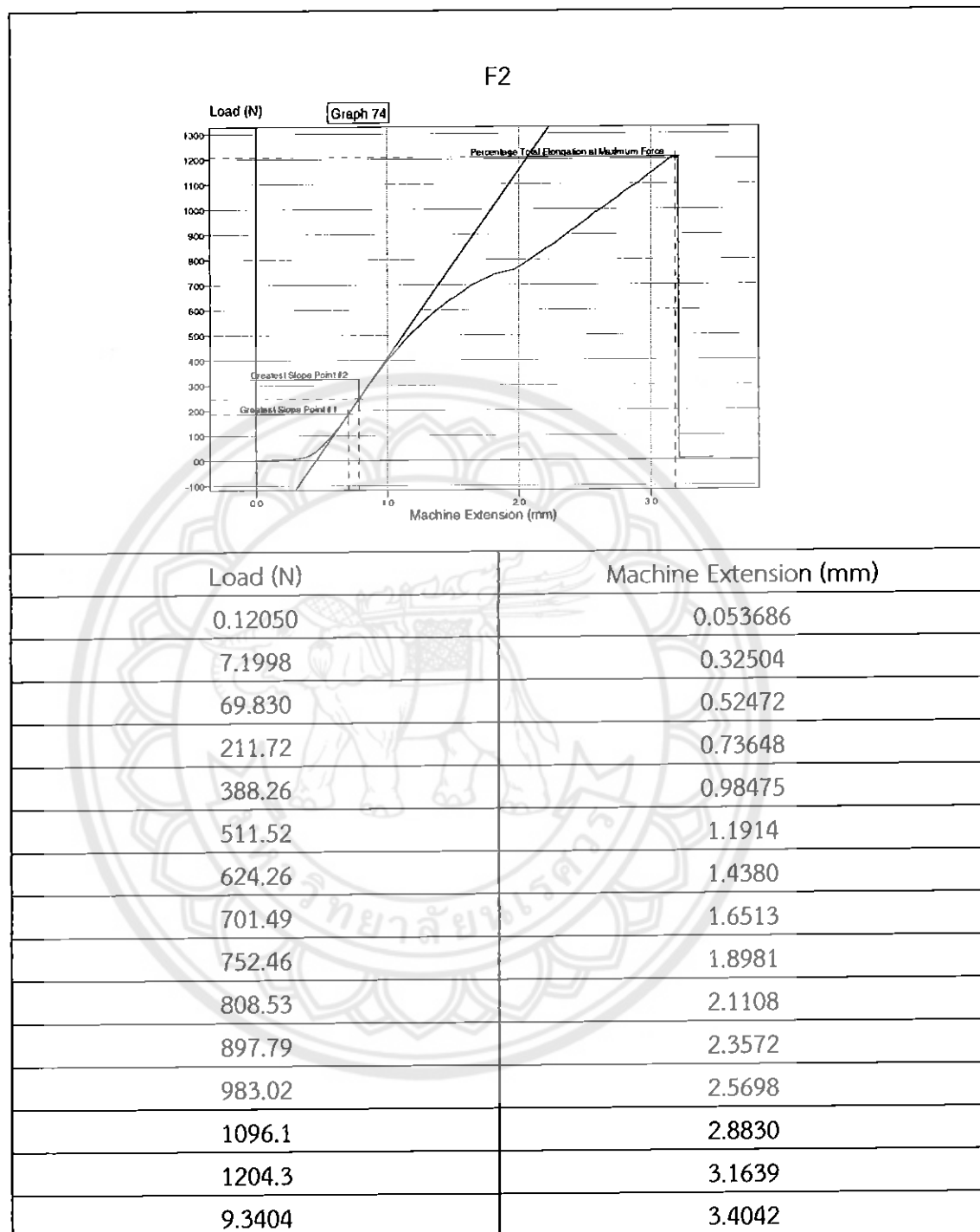
รูปที่ ก24 กราฟการทดสอบแรงดึงชิ้นงานสูตร E (ตัวทำแข็ง 1 กรัม ตัวทำลาย 3 กรัม) ชิ้นที่ 4



รูปที่ ก25 กราฟการทดสอบแรงดึงชิ้นงานสูตร E (ตัวทำแข็ง 1 กรัม ตัวทำละลาย 3 กรัม) ชิ้นที่ 5

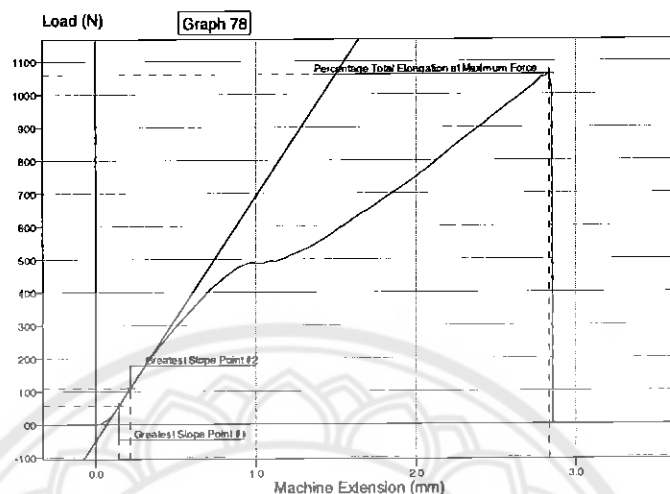


รูปที่ ก26 กราฟการทดสอบแรงดึงชิ้นงานสูตร F (ตัวทำแข็ง 1 กรัม ตัวทำลาย 4 กรัม) ชิ้นที่ 1



รูปที่ ก27 กราฟการทดสอบแรงดึงชิ้นงานสูตร F (ตัวทำแข็ง 1 กรัม ตัวทำละลาย 4 กรัม) ชิ้นที่ 2

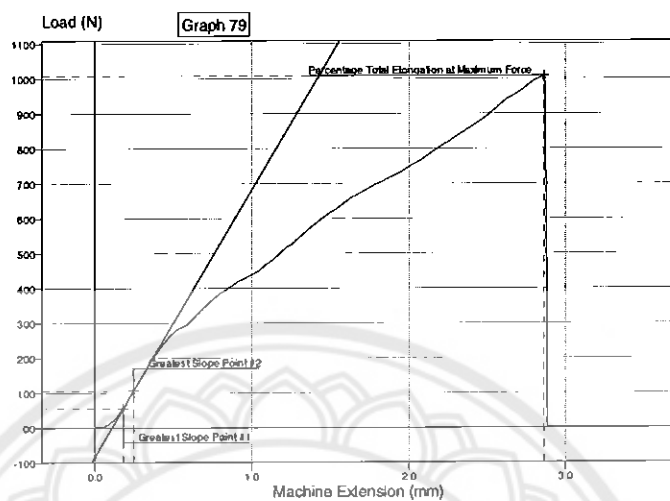
F3



Load (N)	Machine Extension (mm)
0.047097	0.000027457
16.628	0.077779
162.70	0.28831
294.64	0.49922
404.78	0.70805
481.66	0.91881
493.40	1.1270
536.71	1.3354
601.82	1.5439
668.55	1.7548
738.10	1.9632
817.66	2.1745
897.84	2.3868
977.34	2.5959
1051.6	2.8045

รูปที่ ก28 กราฟการทดสอบแรงดึงชิ้นงานสูตร F (ตัวทำแข็ง 1 กรัม ตัวทำละลาย 4 กรัม) ชิ้นที่ 3

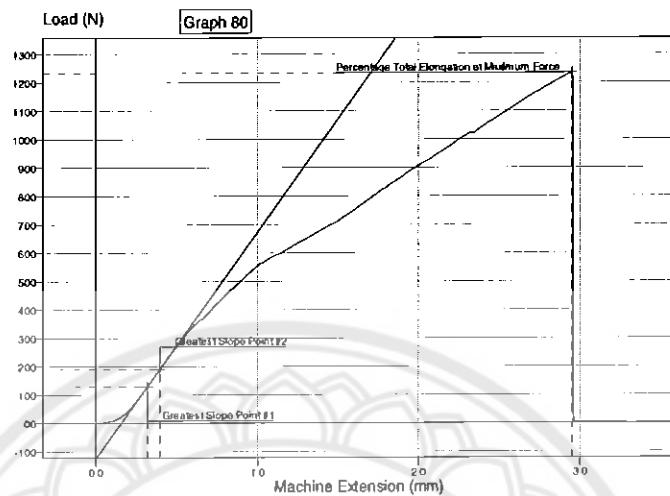
F4



Load (N)	Machine Extension (mm)
2.2484	0.040803
60.269	0.19025
240.66	0.43916
342.75	0.69201
425.04	0.93991
504.46	1.1913
595.42	1.4344
671.16	1.6837
729.23	1.9343
800.60	2.1841
862.72	2.3994
945.84	2.6500
1006.8	2.8665
0.93609	3.1297
1.8285	3.3471

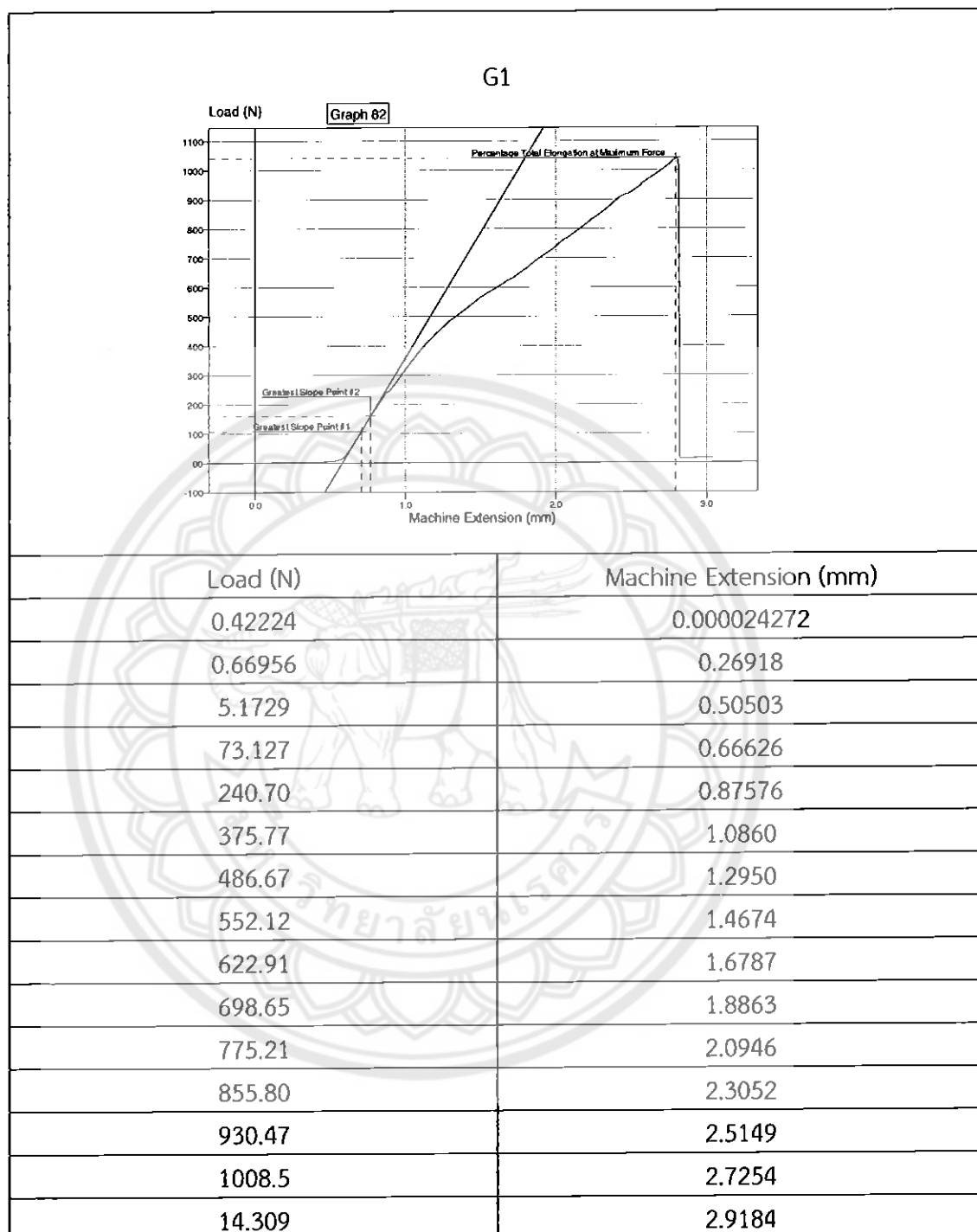
รูปที่ ก29 กราฟการทดสอบแรงดึงชิ้นงานสูตร F (ตัวทำแข็ง 1 กรัม ตัวทำลาย 4 กรัม) ชิ้นที่ 4

F5

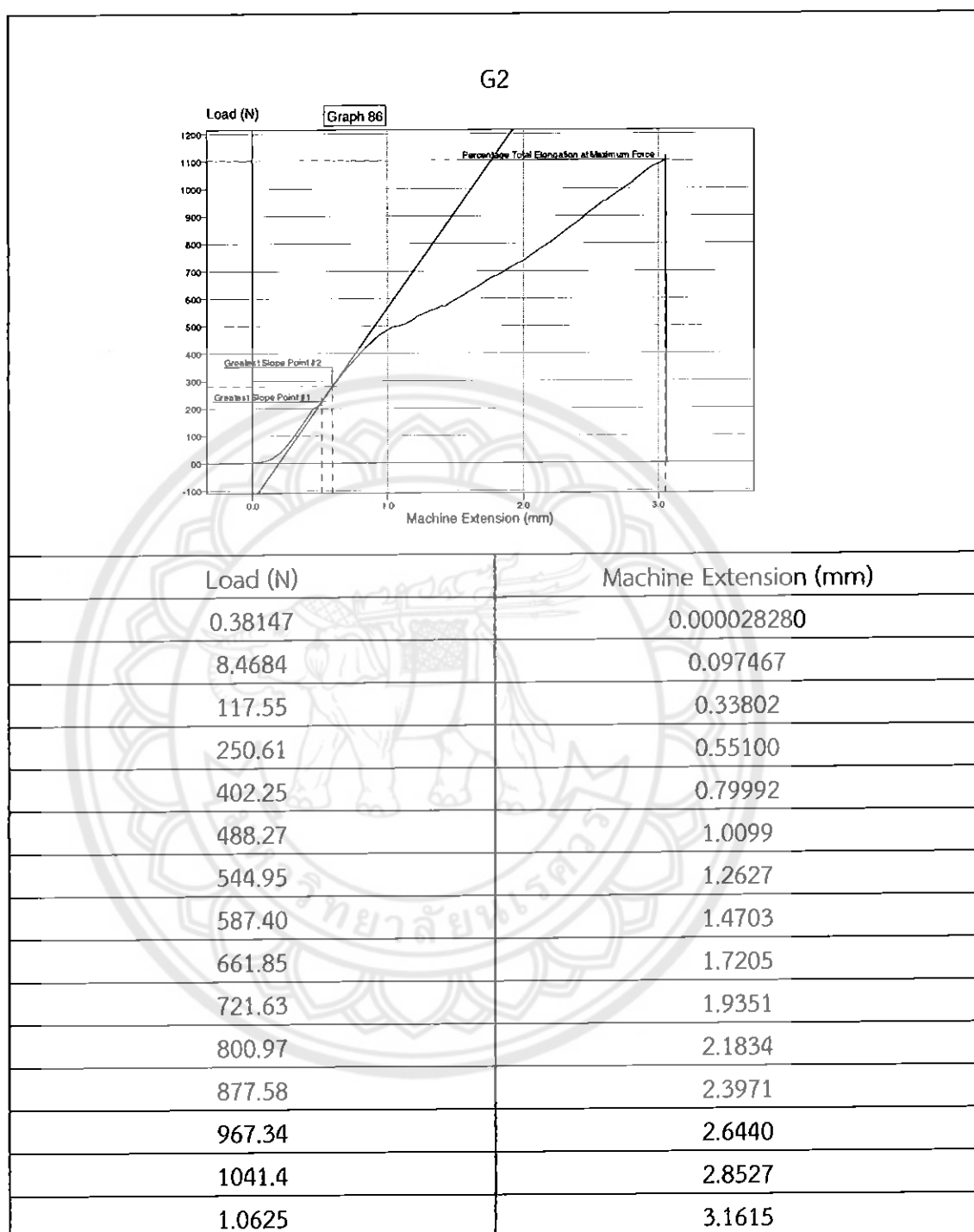


Load (N)	Machine Extension (mm)
0.00000	0.00000
12.086	0.11886
166.04	0.36471
343.55	0.60389
472.80	0.84550
584.48	1.0849
657.32	1.3257
738.62	1.5686
832.68	1.8044
923.16	2.0501
1011.1	2.2862
1091.9	2.5271
1179.3	2.7725
1231.7	2.9437
2.4176	3.1405

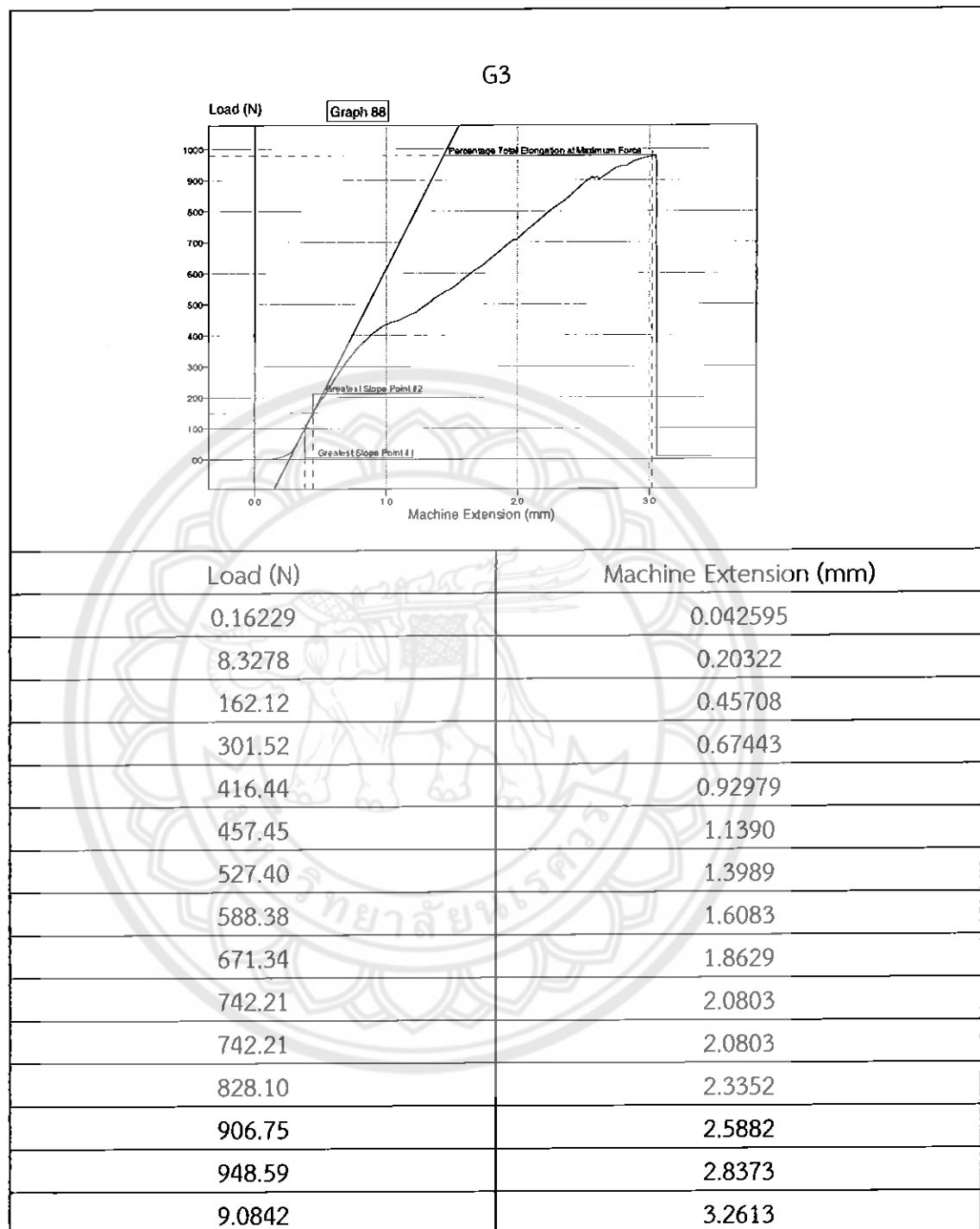
รูปที่ ก30 กราฟการทดสอบแรงดึงชิ้นงานสูตร F (ตัวทำแข็ง 1 กรัม ตัวทำละลาย 4 กรัม) ชิ้นที่ 5



รูปที่ ก31 กราฟการทดสอบแรงดึงชิ้นงานสูตร G (ตัวทำแข็ง 2 กรัม ตัวทำลาย 2 กรัม) ชิ้นที่ 1

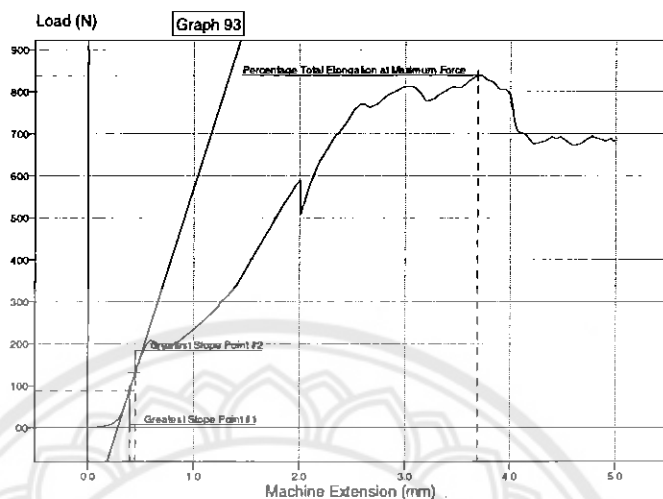


รูปที่ ก32 กราฟการทดสอบแรงดึงชิ้นงานสูตร G (ตัวทำแข็ง 2 กรัม ตัวทำละลาย 2 กรัม) ชิ้นที่ 2



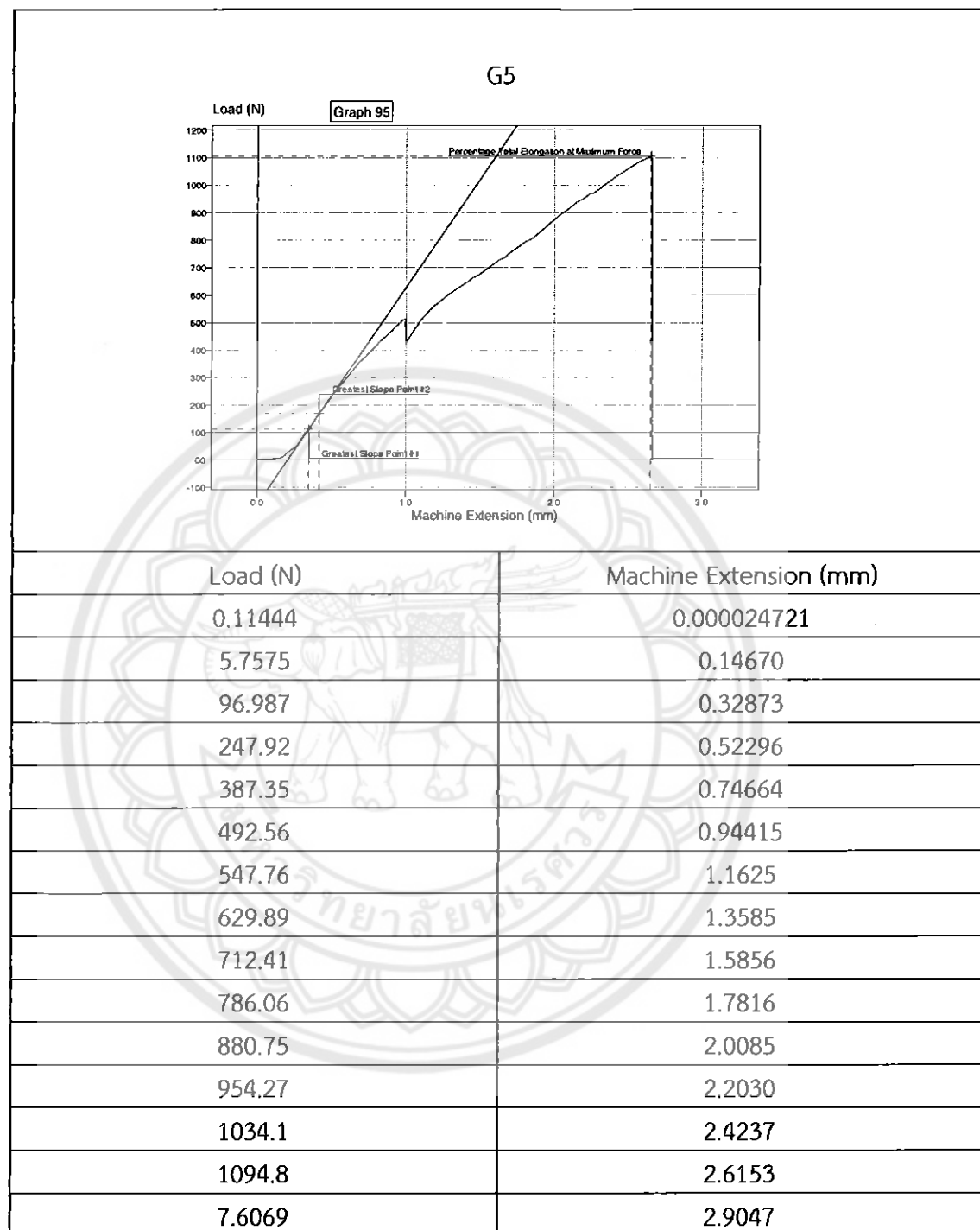
รูปที่ ก33 กราฟการทดสอบแรงดึงชิ้นงานสูตร G (ตัวทำแข็ง 2 กรัม ตัวทำละลาย 2 กรัม) ชิ้นที่ 3

G4

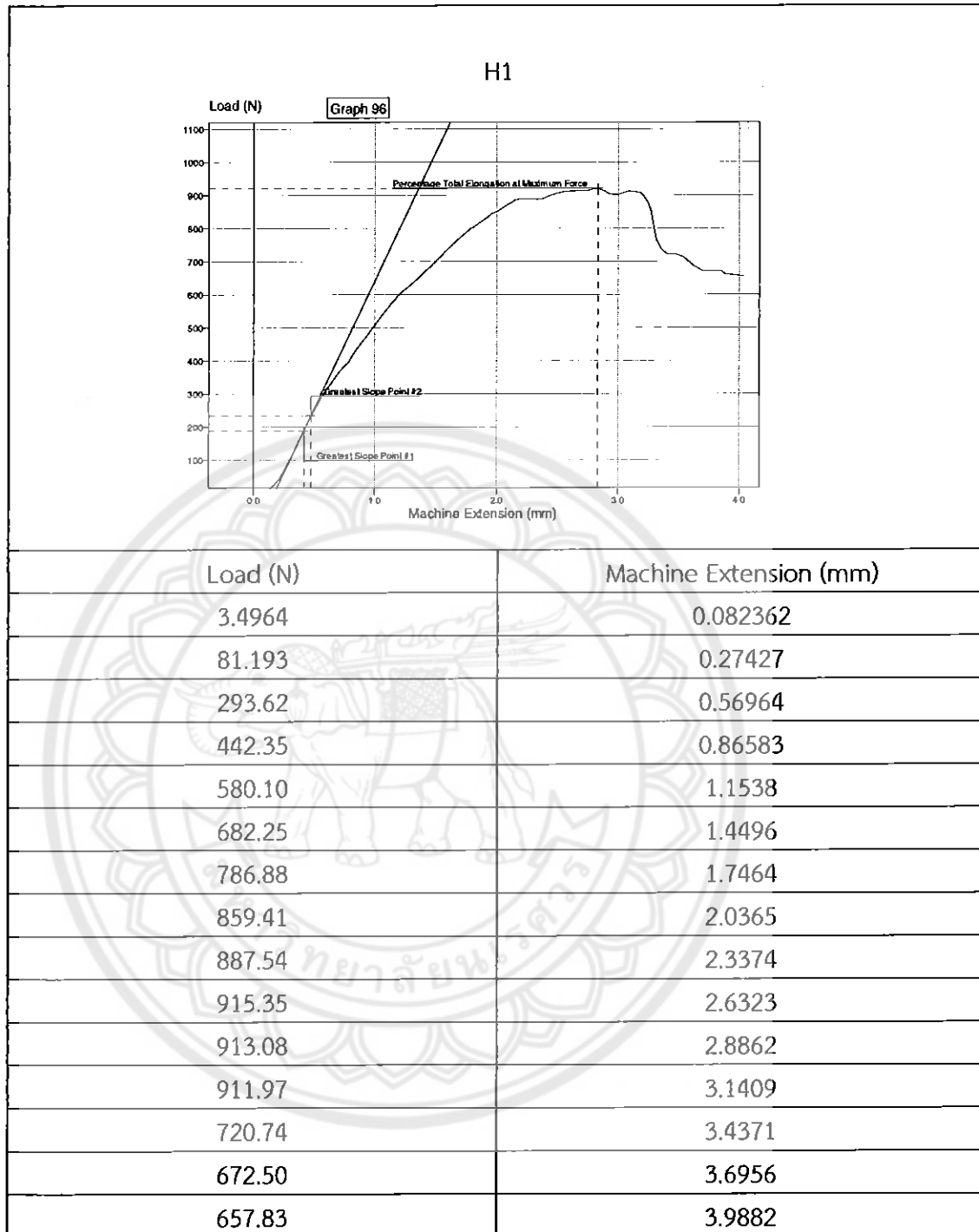


Load (N)	Machine Extension (mm)
0.54858	0.000040326
33.276	0.32186
185.04	0.68178
243.45	1.0422
339.84	1.4042
496.84	1.7657
594.62	2.1199
742.74	2.4797
793.04	2.8392
778.64	3.2016
817.14	3.5660
805.58	3.9248
679.87	4.2876
672.37	4.5981
684.97	4.9670

รูปที่ ก34 กราฟการทดสอบแรงดึงชิ้นงานสูตร G (ตัวทำแข็ง 2 กรัม ตัวทำลาย 2 กรัม) ชิ้นที่ 4

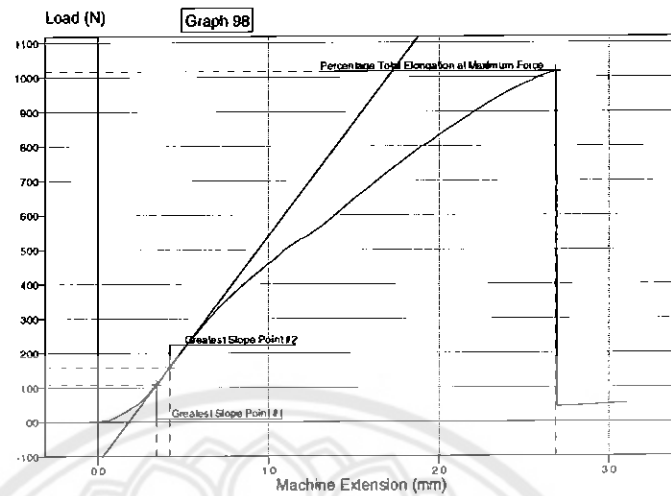


รูปที่ ก35 กราฟการทดสอบแรงดึงชิ้นงานสูตร G (ตัวทำแข็ง 2 กรัม ตัวทำละลาย 2 กรัม) ชิ้นที่ 5



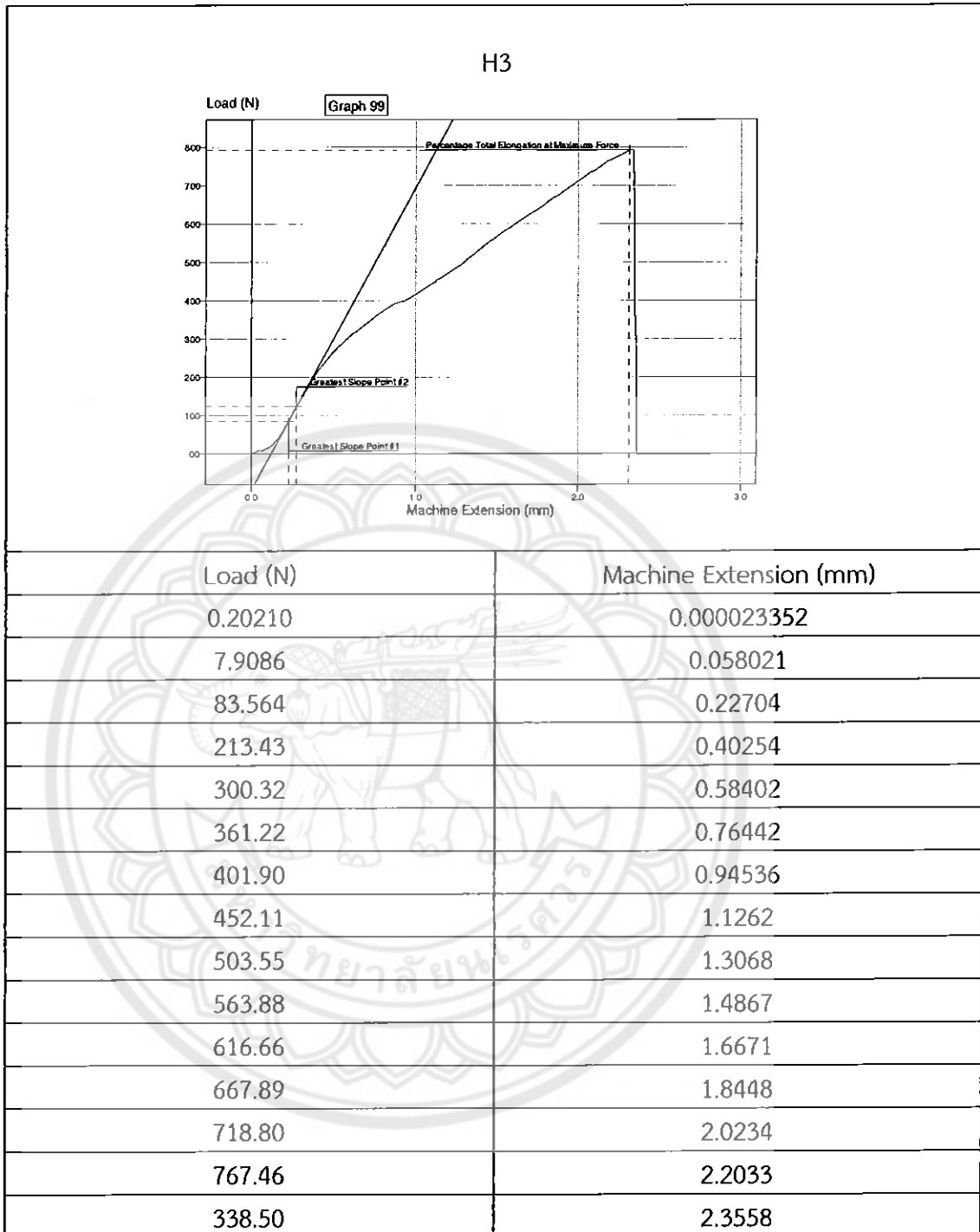
รูปที่ ก36 กราฟการทดสอบแรงดึงชิ้นงานสูตร H (ตัวทำแข็ง 2 กรัม ตัวทำละลาย 3 กรัม) ชิ้นที่ 1

H2

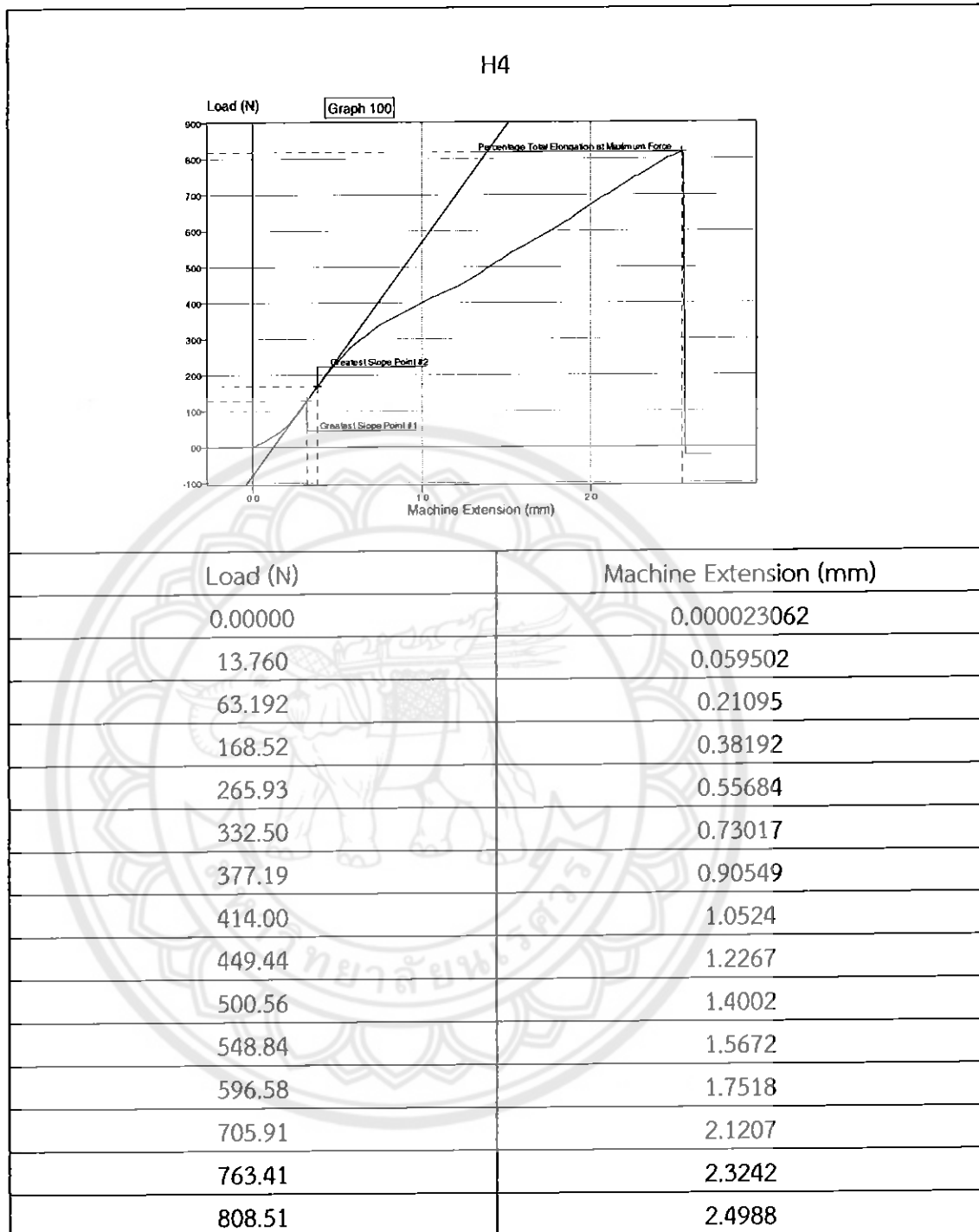


Load (N)	Machine Extension (mm)
1.7733	0.033108
22.031	0.13741
123.60	0.37016
251.43	0.56645
373.14	0.79615
455.88	0.99015
536.96	1.2166
609.93	1.4119
690.27	1.6106
766.41	1.8093
846.20	2.0386
907.88	2.2366
971.89	2.4661
1013.0	2.6654
48.904	2.9130

รูปที่ ก37 กราฟการทดสอบแรงดึงชิ้นงานสูตร H (ตัวทำแข็ง 2 กรัม ตัวทำละลาย 3 กรัม) ชิ้นที่ 2

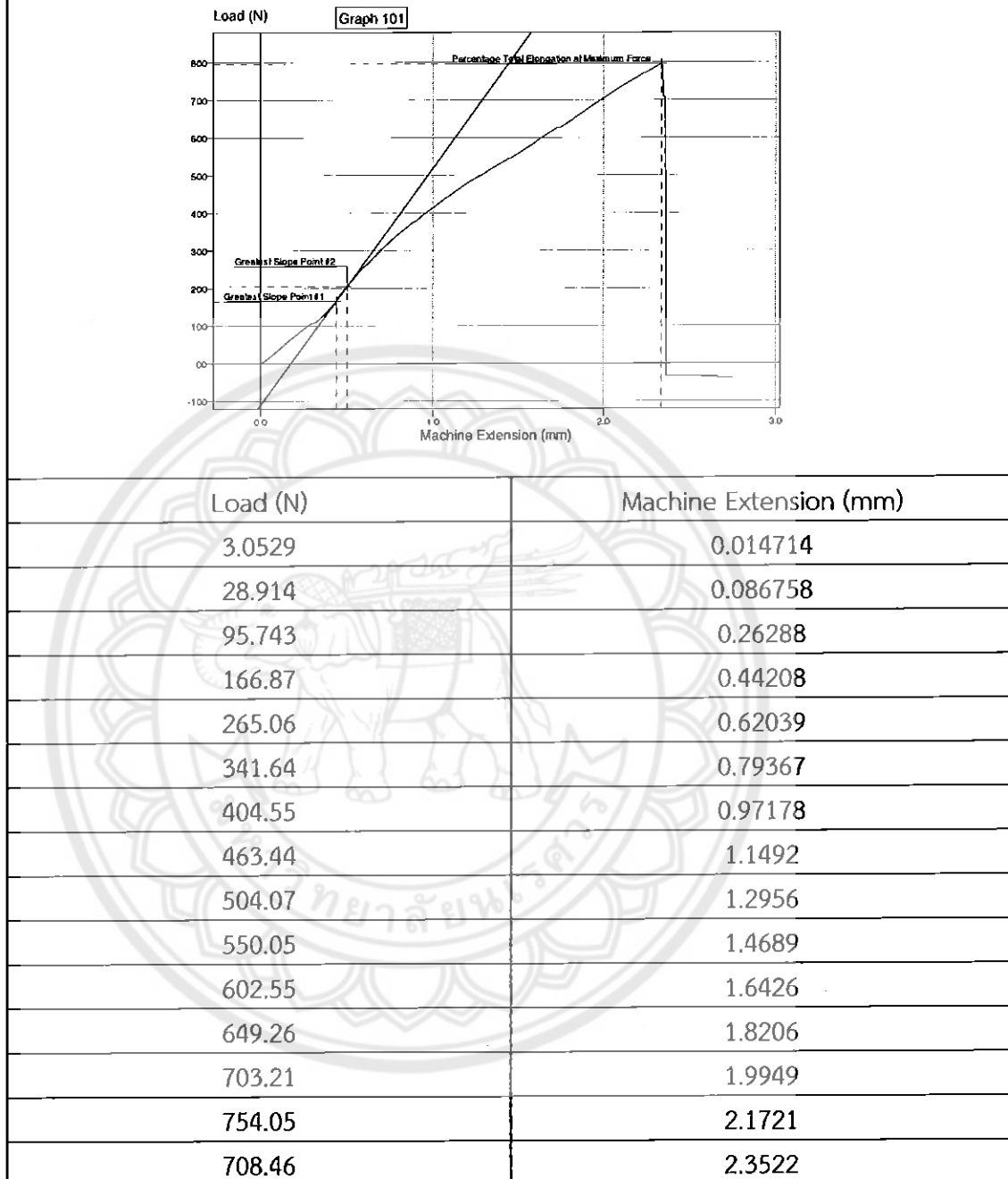


รูปที่ ก38 กราฟการทดสอบแรงดึงชิ้นงานสูตร H (ตัวทำแข็ง 2 กรัม ตัวทำละลาย 3 กรัม) ชิ้นที่ 3



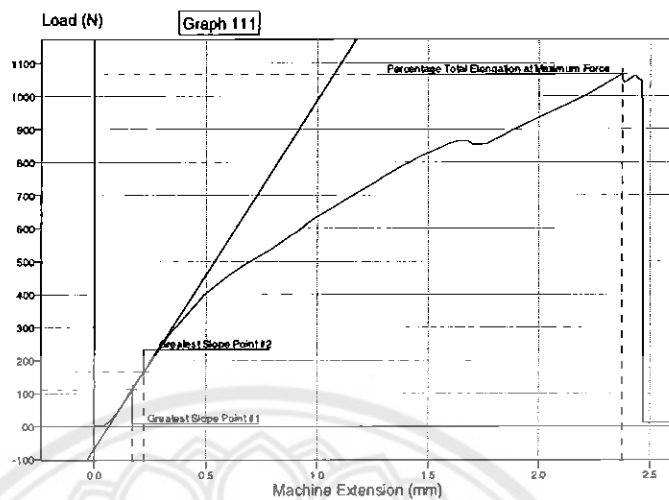
รูปที่ ก39 กราฟการทดสอบแรงดึงชิ้นงานสูตร H (ตัวทำแข็ง 2 กรัม ตัวทำละลาย 3 กรัม) ชิ้นที่ 4

H5



รูปที่ ก40 กราฟการทดสอบแรงดึงขั้นงานสูตร H (ตัวทำแข็ง 2 กรัม ตัวทำละลาย 3 กรัม) ชิ้นที่ 5

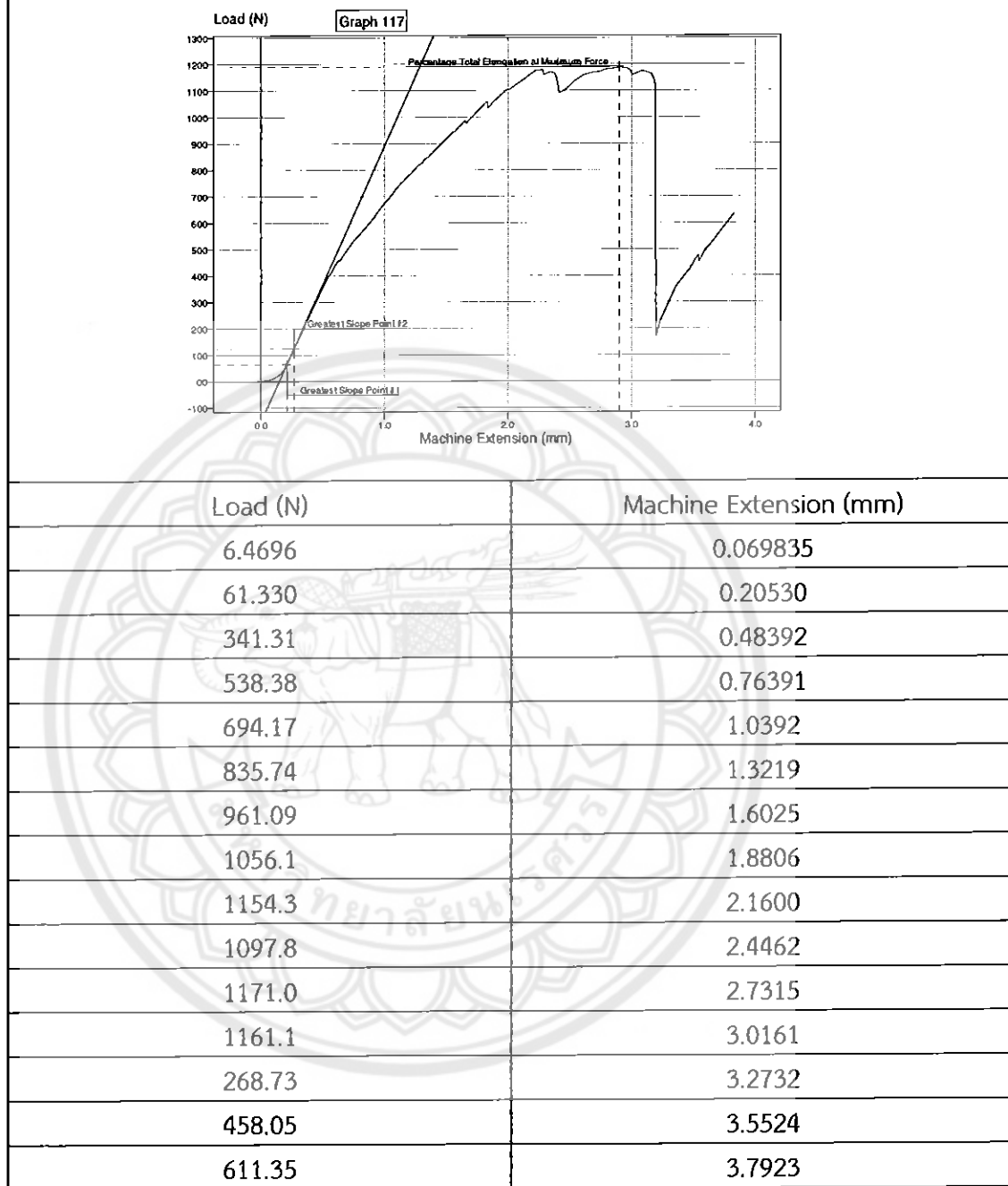
11



Load (N)	Machine Extension (mm)
0.38147	0.000020504
11.448	0.063059
210.29	0.26575
382.63	0.47071
493.09	0.67932
581.04	0.88556
660.27	1.0611
741.32	1.2633
820.80	1.4714
866.15	1.6780
899.80	1.8860
965.24	2.0942
1038.1	2.3011
10.538	2.5266
12.319	2.7362

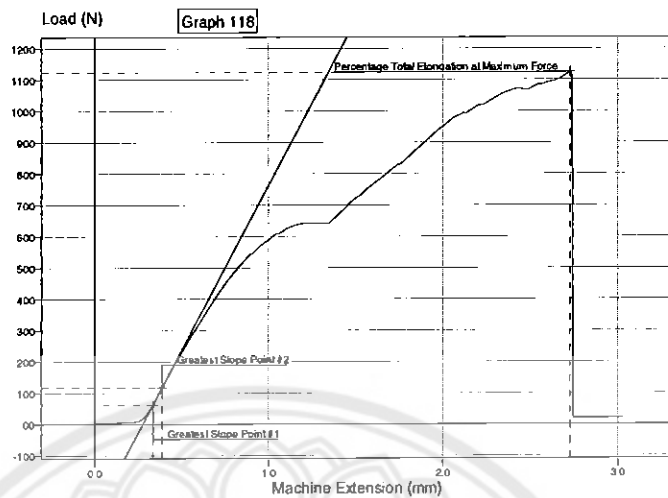
รูปที่ ก41 กราฟการทดสอบแรงดึงชิ้นงานสูตร I (ตัวทำแข็ง 2 กรัม ตัวทำละลาย 4 กรัม) ชิ้นที่ 1

12



รูปที่ ก42 กรากราฟการทดสอบแรงดึงขึ้นงานสูตร I (ตัวทำแข็ง 2 กรัม ตัวทำละลาย 4 กรัม) ชิ้นที่ 2

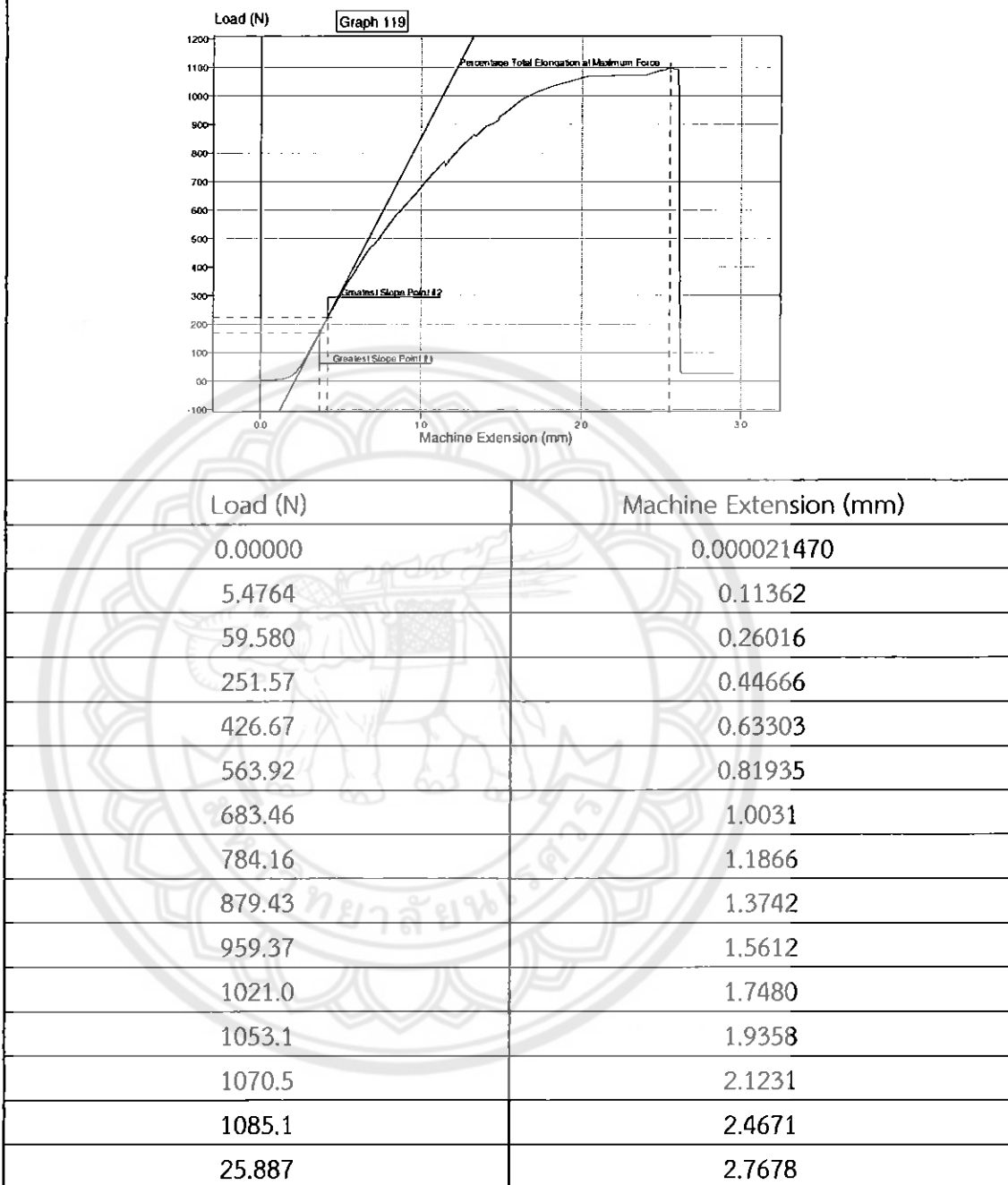
13



Load (N)	Machine Extension (mm)
0.00000	0.000025162
5.7156	0.18961
41.624	0.31292
229.14	0.49829
398.80	0.68937
531.29	0.87519
609.05	1.0573
641.43	1.2495
778.64	1.6270
859.56	1.8147
953.04	2.0049
1014.1	2.1910
1069.8	2.4121
1100.5	2.6551
19.497	2.8767

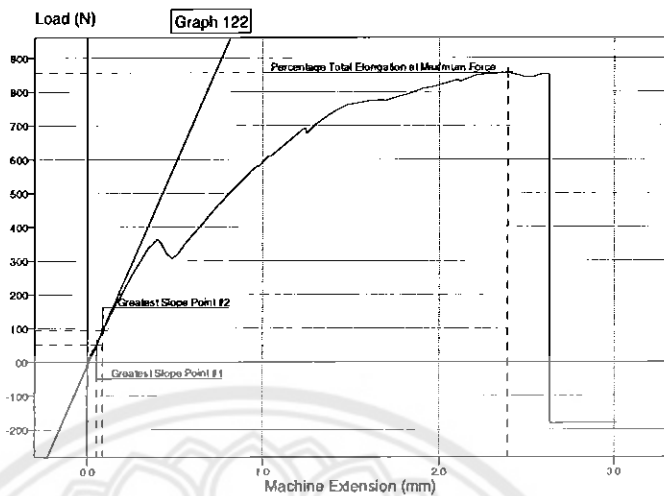
รูปที่ ก43 กราฟการทดสอบแรงดึงชิ้นงานสูตร I (ตัวทำแข็ง 2 กรัม ตัวทำลาย 4 กรัม) ชิ้นที่ 3

14



รูปที่ ก44 กราฟการทดสอบแรงดึงชิ้นงานสูตร I (ตัวทำแข็ง 2 กรัม ตัวทำลาย 4 กรัม) ชิ้นที่ 4

15



Load (N)	Machine Extension (mm)
0.014306	0.00024337
77.986	0.075085
267.41	0.26582
320.33	0.45530
403.19	0.64652
514.15	0.83804
609.64	1.0318
688.24	1.2272
746.01	1.4197
774.81	1.6140
791.21	1.8067
820.64	2.0027
845.89	2.1950
855.92	2.3889
851.91	2.5840

รูปที่ ก45 กราฟการทดสอบแรงดึงชิ้นงานสูตร I (ตัวทำแข็ง 2 กรัม ตัวทำละลาย 4 กรัม) ชิ้นที่ 5

ผลการคำนวณค่าเฉลี่ยความเค้นและความเครียด

สมการความเค้น (Stress) = แรงที่กระทำ (F) / พื้นที่หน้าตัดที่รับแรงนั้น (A_0) หน่วยความเค้นอาจเป็น N/mm^2 หรือ MPa

สมการความเครียด (Strain) = ความยาวที่ยืดออก (Δl) / ความยาวเริ่มต้น (l_0)

ตาราง ค่าคงที่ที่ใช้ในการคำนวณ

ความเร็วที่ใช้ในการทดสอบ (V)	10 mm/min
พื้นที่หน้าตัดที่รับแรงของเรซิ่นเสริมไข้แก้ว (A_0)	0.0000208 m^2
ความยาวเริ่มต้น (l_0)	57 mm

ตาราง ค่าเฉลี่ยของขั้นงานทดสอบเรซิ่นเสริมไข้แก้ว และกราฟระหว่างความเค้นกับความเครียดของขั้นงานทดสอบเรซิ่นเสริมไข้แก้วในแต่ละสูตร

ขั้นงาน A ที่ส่วนผสม โมโนไนต์เรน 2 กรัม, ตัวทำแข็ง (Hardener) 0.5 กรัม

ขั้นงาน	1	2	3	4	5	เฉลี่ย
ความหนา (mm)	0.72	0.62	0.62	0.62	0.62	0.62
พื้นที่หน้าตัด $\times 10^{-6} (\text{m}^2)$	9.36	8.06	8.06	8.06	8.06	8.06
ความยาวเดิม (mm)	57	57	57	57	57	57
แรงที่วัดขาด (N)	1277.37	1018.85	1018.16	1060.96	959.26	1066.92
ระยะยืดรวม (mm)	2.72	2.31	2.70	2.35	2.45	2.51
ความเค้น (MPa)	136.51	126.41	134.14	131.63	119.01	129.54
ความเครียด	0.05	0.06	0.06	0.04	0.04	0.05
Young's Modulus (MPa)	6284.65	5559.65	4268.61	4895.93	5280.17	5257.80
Tensile Strength (MPa)	136.51	126.41	134.14	131.63	119.01	129.54

ชิ้นงาน B ที่ส่วนผสม โมโนสโตรริน 2 กรัม, ตัวทำแข็ง (Hardener) 0.5 กรัม

ชิ้นงาน	1	2	3	4	5	เฉลี่ย
ความหนา (mm)	0.47	0.47	0.47	0.47	0.47	0.47
พื้นที่หน้าตัด $\times 10^{-6}$ (m ²)	6.11	6.11	6.11	6.11	6.11	6.11
ความยาวเดิม (mm)	57	57	57	57	57	57
แรงที่วัสดุขาด (N)	1401.36	1595.56	1180.40	1427.98	1206.25	1362.31
ระยะยืดรวม (mm)	3.65	4.06	4.19	3.64	3.92	3.89
ความเค้น (MPa)	229.36	261.14	193.19	243.50	233.68	232.17
ความเครียด	0.05	0.07	0.07	0.06	0.07	0.06
Young's Modulus (MPa)	6437.10	5845.28	6517.56	6349.93	6818.57	6393.69
Tensile Strength (MPa)	229.36	261.14	193.19	233.68	197.42	222.96

ชิ้นงาน C ที่ส่วนผสม โมโนสโตรริน 2 กรัม, ตัวทำแข็ง (Hardener) 0.5 กรัม

ชิ้นงาน	1	2	3	4	5	เฉลี่ย
ความหนา (mm)	0.55	0.55	0.55	0.55	0.55	0.55
พื้นที่หน้าตัด $\times 10^{-6}$ (m ²)	7.15	7.15	7.15	7.15	7.15	7.15
ความยาวเดิม (mm)	57	57	57	57	57	57
แรงที่วัสดุขาด (N)	1338.99	740.15	1740.93	1548.76	1649.35	1396.75
ระยะยืดรวม (mm)	3.26	1.48	4.28	3.34	3.97	3.27
ความเค้น (MPa)	187.27	103.52	243.49	216.61	230.68	196.31
ความเครียด	0.06	0.03	0.08	0.06	0.07	0.06
Young's Modulus (MPa)	6948.86	5992.15	7241.41	7162.66	6998.93	6868.80
Tensile Strength (MPa)	187.27	103.52	243.49	216.61	230.68	196.31

ชิ้นงาน D ที่ส่วนผสม โมโนสโตรรีน 2 กรัม, ตัวทำแข็ง (Hardener) 0.5 กรัม

ชิ้นงาน	1	2	3	4	5	เฉลี่ย
ความหนา (mm)	0.52	0.52	0.52	0.52	0.52	0.52
พื้นที่หน้าตัด $\times 10^{-6}$ (m ²)	6.76	6.76	6.76	6.76	6.76	6.76
ความยาวเดิม (mm)	57	57	57	57	57	57
แรงที่วัสดุขาด (N)	957.76	1027.53	1024.64	1126.01	1201.03	1067.39
ระยะยืดรวม (mm)	2.62	2.47	3.19	3.15	2.59	2.80
ความเค้น (MPa)	144.34	152.00	151.57	166.57	177.67	158.43
ความเครียด	0.05	0.04	0.06	0.06	0.05	0.05
Young's Modulus (MPa)	6034.62	6331.91	5860.45	5822.70	6293.96	6068.73
Tensile Strength (MPa)	144.34	152.00	151.57	166.57	177.67	158.43

ชิ้นงาน E ที่ส่วนผสม โมโนสโตรรีน 2 กรัม, ตัวทำแข็ง (Hardener) 0.5 กรัม

ชิ้นงาน	1	2	3	4	5	เฉลี่ย
ความหนา (mm)	0.55	0.55	0.55	0.55	0.55	0.55
พื้นที่หน้าตัด $\times 10^{-6}$ (m ²)	7.15	7.15	7.15	7.15	7.15	7.15
ความยาวเดิม (mm)	57	57	57	57	57	57
แรงที่วัสดุขาด (N)	1425.05	1902.95	1491.22	1498.22	1789.85	1621.46
ระยะยืดรวม (mm)	4.29	4.23	3.96	4.33	3.97	4.16
ความเค้น (MPa)	199.31	266.15	208.56	209.54	250.33	226.78
ความเครียด	0.08	0.07	0.07	0.08	0.07	0.07
Young's Modulus (MPa)	6614.18	8051.90	7260.82	5898.52	7543.94	7073.87
Tensile Strength (MPa)	199.31	266.15	208.56	209.54	250.33	226.78

ชิ้นงาน F ที่ส่วนผสม โมโนสโตรีน 2 กรัม, ตัวทำแข็ง (Hardener) 0.5 กรัม

ชิ้นงาน	1	2	3	4	5	เฉลี่ย
ความหนา (mm)	0.52	0.52	0.52	0.52	0.52	0.52
พื้นที่หน้าตัด $\times 10^{-6}$ (m ²)	6.76	6.76	6.76	6.76	6.76	6.76
ความยาวเดิม (mm)	57	57	57	57	57	57
แรงที่วัสดุขาด (N)	1091.69	1207.21	1059.74	1008.05	1233.23	1119.98
ระยะยืดรวม (mm)	2.76	2.89	2.79	2.80	2.86	2.82
ความเด็น (MPa)	161.49	178.58	156.77	149.12	182.43	165.68
ความเครียด	0.05	0.05	0.05	0.05	0.05	0.05
Young's Modulus (MPa)	6574.26	6305.16	6249.18	6451.27	6724.59	6460.89
Tensile Strength (MPa)	161.49	178.58	156.77	149.12	182.43	165.68

ชิ้นงาน G ที่ส่วนผสม โมโนสโตรีน 2 กรัม, ตัวทำแข็ง (Hardener) 0.5 กรัม

ชิ้นงาน	1	2	3	4	5	เฉลี่ย
ความหนา (mm)	0.57	0.57	0.57	0.57	0.57	0.57
พื้นที่หน้าตัด $\times 10^{-6}$ (m ²)	7.41	7.41	7.41	7.41	7.41	7.41
ความยาวเดิม (mm)	57	57	57	57	57	57
แรงที่วัสดุขาด (N)	1041.42	1104.17	978.70	838.63	1105.45	1105.45
ระยะยืดรวม (mm)	2.30	2.98	2.88	3.50	2.52	2.52
ความเด็น (MPa)	140.54	149.01	132.08	113.18	149.18	136.80
ความเครียด	0.04	0.05	0.05	0.06	0.04	0.04
Young's Modulus (MPa)	6587.34	5417.54	6405.65	6162.22	6092.76	6133.10
Tensile Strength (MPa)	140.54	149.01	132.08	113.18	149.18	136.80

ชิ้นงาน H ที่ส่วนผสม โมโนสโตรีน 2 กรัม, ตัวทำแข็ง (Hardener) 0.5 กรัม

ชิ้นงาน	1	2	3	4	5	เฉลี่ย
ความหนา (mm)	0.45	0.45	0.45	0.45	0.45	0.45
พื้นที่หน้าตัด $\times 10^{-6}$ (m ²)	5.85	5.85	5.85	5.85	5.85	5.85
ความยาวเดิม (mm)	57	57	57	57	57	57
แรงที่วัสดุขาด (N)	920.81	1016.35	792.27	818.28	796.01	868.74
ระยะยืดรวม (mm)	2.72	2.62	2.27	2.51	2.31	2.48
ความเด่น (MPa)	157.40	173.73	135.43	139.88	136.09	148.51
ความเครียด	0.05	0.05	0.04	0.04	0.04	0.04
Young's Modulus (MPa)	7558.53	6421.95	7700.43	6307.59	6139.32	6825.56
Tensile Strength (MPa)	157.40	173.73	135.43	139.88	136.09	148.51

ชิ้นงาน I ที่ส่วนผสม โมโนสโตรีน 2 กรัม, ตัวทำแข็ง (Hardener) 0.5 กรัม

ชิ้นงาน	1	2	3	4	5	เฉลี่ย
ความหนา (mm)	0.82	0.82	0.82	0.82	0.82	0.82
พื้นที่หน้าตัด $\times 10^{-6}$ (m ²)	10.66	10.66	10.66	10.66	10.66	10.66
ความยาวเดิม (mm)	57	57	57	57	57	57
แรงที่วัสดุขาด (N)	1066.08	1190.13	1123.45	1099.42	856.23	1067.06
ระยะยืดรวม (mm)	2.33	2.83	2.54	2.44	2.38	2.50
ความเด่น (MPa)	100.01	111.64	105.39	103.14	80.33	100.10
ความเครียด	0.04	0.05	0.05	0.04	0.04	0.04
Young's Modulus (MPa)	5650.29	5579.18	5633.36	5823.15	6345.93	5806.38
Tensile Strength (MPa)	100.01	111.64	105.39	103.14	80.33	100.10

สรุปและวิจารณ์ผลการทดสอบ

จากผลการทดสอบแรงดึงของชิ้นงานเรซิ่นเสริมไยแก้วสูตรละ 5 ชิ้น ด้วยเครื่องดึงวัสดุ Universal testing machine (UTM) เพื่อหาค่า Modulus of elasticity (E) หรือค่า Young's Modulus ของแต่ละชิ้นงาน จากกราฟแต่ละสูตรการทดสอบเรซิ่นเสริมไยแก้ว 9 สูตร จะเห็นได้ว่า มี 2 สูตรการหล่อที่ให้ค่าความเค้นและความเครียดสูง คือ สูตร C (MEKP (ตัวทำแข็ง) 0.5 กรัม, Styren Monomer (ตัวทำละลาย) 3 กรัม) มีค่าความเค้นเท่ากับ 6868.80 MPa และมีค่า Tensile Strength 196.31 MPa และสูตร E (MEKP (ตัวทำแข็ง) 1 กรัม, Styren Monomer (ตัวทำละลาย) 3 กรัม) มีค่าความเค้นเท่ากับ 7073.87 MPa และมีค่า Tensile Strength 226.78 MPa ดังนั้น จึงสรุปได้ว่าเลือกใช้สูตร E ในการขึ้นรูปใบพัดกังหัน เนื่องจากมีค่าค่า Young' Modulus และค่า Tensile Strength สูงกว่าสูตร C





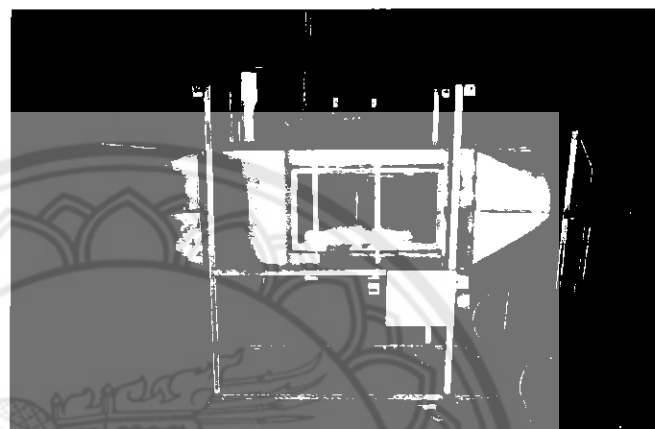
การทดสอบกั้งหันลมแกนตั้งในอุโมงค์ลม

วัตถุประสงค์การทดสอบ

หาประสิทธิภาพของกั้งหันลมแกนตั้งแบบ 3 ใบพัด แบบใบเรียบ และแบบใบโค้ง

วัสดุอุปกรณ์ที่ใช้ในการทดสอบ

- อุโมงค์ลม



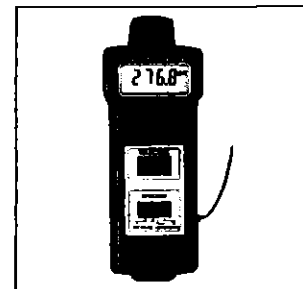
รูปที่ ข1 อุโมงค์ลม

- เครื่องวัดความเร็วลม



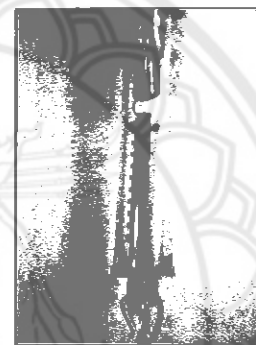
รูปที่ ข2 เครื่องวัดความเร็วลมชนิด testo 511

3. เครื่องวัดความเร็วรอบ



รูปที่ ข3 เครื่องวัดความเร็วรอบ MULTIFUNCTIONAL ENGINE TACHOMETER
950-1495

4. ตาชั่งสปริง



รูปที่ ข4 ตาชั่งสปริง

5. ชุดประกอบใบพัดกังหันลมแนวแกนตั้ง



รูปที่ ข5 ชุดประกอบใบพัดกังหันลมแนวแกนตั้ง

6. ชุดประกอบกังหันลมแนวแกนตั้งกับอุโมงค์ลม

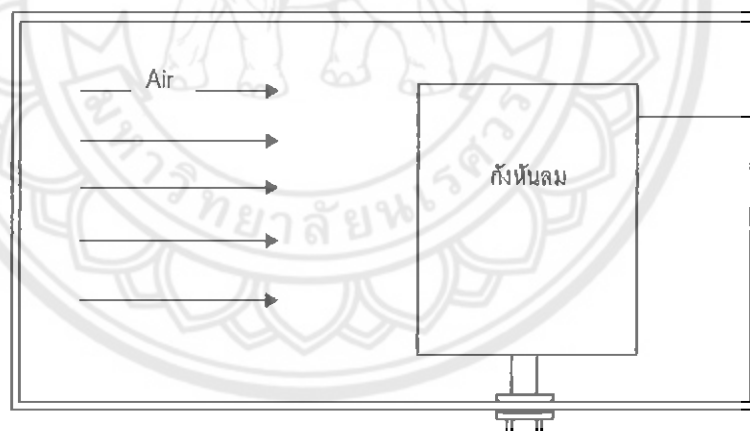
- ในชุดประกอบกังหันลมแนวแกนตั้งประกอบด้วยแกนฐานกังหันลมที่เป็นน็อตตัวผู้ น็อตตัวเมีย และวงแหวนรองน็อต 2 วง เพื่อตัวหนึ่งไว้รองด้านบนพื้นอุโมงค์ลมเวลาประกอบน็อตตัวผู้เข้ากับอุโมงค์ลม วงแหวนอีกด้านหนึ่งไว้รองให้พื้นอุโมงค์ลมรับน็อตตัวผู้และหมุนน็อตตัวเมียเข้าประกบเพื่อความแน่นหนา ป้องกันไม่ให้กังหันลมขยับเบี้ยวขณะทำการทดสอบ



รูปที่ ข6 ชุดประกอบกังหันลมแนวแกนตั้งกับอุโมงค์ลม

การประกอบแหวนและน็อตตัวเมีย
เข้ากับฐานน็อตตัวผู้ให้พื้นอุโมงค์ลม

ขั้นตอนการทดสอบ



ชุดประกอบจะเป็นตัวฐานคงอยู่ยืดเพื่อ
ไม่ทำให้กังหันลมเกิดการอ่อนไหวหรือเกิดการ
เบี้ยวในขณะที่ลมเข้ามาปกติไปกังหันลม

1. ประกอบกังหันลมเข้ากับอุโมงค์ลมโดยใช้ชุดประกอบกังหันลมแกนตั้งเข้ากับอุโมงค์ลมให้เรียบร้อย



รูปที่ ข7 การประกอบกังหันลมเข้ากับอุโมงค์ลม

2. เมื่อทำการประกอบกังหันลมเสร็จพร้อมการทดสอบแล้ว ปิดฝาอุโมงค์ลม แล้วเสียบปลั๊กเปิดพัดลมจนกังหันลมหมุนคงที่พร้อมที่จะทำการทดสอบ



รูปที่ ข8 แสดงการหมุนของกังหันลมก่อนทำการทดสอบ

3. ใส่ห่อวัดความเร็วลมที่ต่อ กับเครื่องวัดความเร็วลมเข้าไปในช่องระยะที่ต้องการวัดในอุโมงค์ลม และวัดค่าความเร็วลมทั้งหน้ากังหันลมและหลังกังหันลม บันทึกผลลงในตารางบันทึกผลให้ครบถ้วนช่อง



รูปที่ ข9 แสดงการวัดความเร็วลม

4. เมื่อวัดความเร็วลมเสร็จ ถอดอุปกรณ์วัดความเร็วลมออกจากอุโมงค์ลมให้เรียบร้อย แล้วทำการวัดความเร็วรอบ โดยถอดปลั๊กพัดลมให้กับหันลมกลุ่มมุนก่อน แล้วติดกระดาษเรืองแสงที่จะทำการวัดความเร็วรอบลงบนแผ่นอะคริลิกส่วนบนของกังหันลม เมื่อติดเสร็จเปิดพัดลมให้กับหันลม มุนคงที่ แล้วทำการวัดความเร็วรอบโดยใช้เครื่องวัดความเร็วรอบยิงแสงเลเซอร์ไปที่กระดาษเรืองแสงที่ติดไว้โดยยิงในแนวตั้งจากกับกระดาษเรืองแสง แล้วบันทึกค่าลงในตารางบันทึกผล



รูปที่ ข10 แสดงการติดกระดาษเรืองแสงลงบนแผ่นอะคริลิกเพื่อที่จะวัดความเร็วรอบ

5. เมื่อวัดความเร็วรอบเสร็จแล้ว ถอดปลั๊กพัดลมออกแล้วทำการติดตั้งชุดวัดทอร์ก (T) โดยประกอบตามช่องสปริงเข้ากับตัวกังหันที่ประกอบในอุโมงค์ลมให้เสร็จเรียบร้อย แล้วเปิดพัดลมทำการวัดทอร์ก (T) บันทึกค่าลงในตารางบันทึกผล



รูปที่ ข11 แสดงการวัดทอร์ก (T)

6. เมื่อวัดค่าต่างๆ ตามที่ต้องการและบันทึกผลเสร็จเรียบร้อยแล้ว ทำการปิดพัดลม เก็บอุปกรณ์ต่างๆ ให้เรียบร้อย



ผลการทดสอบเพื่อหาความเร็วลมเฉลี่ยหน้าใบพัดกังหัน-หลังใบ ความเร็วรอบ และแรงบิด
ตารางผลการทดสอบกังหันลมในอุโมงค์ลม กังหันลมแกนตั้งชนิด 3 ใบ แบบใบเรียน ครั้งที่ 1

ความสูง ที่ แมว	ความเร็วลมหน้ากังหันลม (m/s)							ความเร็วลมหลังกังหันลม (m/s)						
	1	2	3	4	5	6	7	1	2	3	4	5	6	7
1	4.5	4.1	4.2	3.7	3.2	3.4	3.3	2.6	1.6	2.3	2	2.2	2.2	2.1
2	4.2	3.6	3.9	3.6	3.4	3.3	3.4	3.2	2.1	1.8	1.7	1.5	2.4	2
3	4	4.3	4	3.8	3.3	3.8	4.1	3	2.4	0	0	0	2.3	2.1
4	5.5	4.5	4.1	4	3.7	3.5	5	2.5	2.7	0	0	1.1	1.8	2.8
5	5.4	4.2	3.9	4.2	5.1	3.2	5.3	3.1	2.2	0	1.3	2.2	2.4	2.6
6	3.5	3.3	3.4	4.4	3.6	3.4	4.5	2.9	2.7	1.4	1.2	2.1	2.5	2.2
7	4	4.2	3.8	3.7	3.5	4.1	3.7	2.7	2.9	2.6	2.7	2.4	2.2	2.7
ค่าเฉลี่ย	3.95							1.99						

ครั้งที่	ความเร็วรอบ (rpm)	แรงบิด (N)
1	451	1.7
2	421	1.7
3	423	1.6
ค่าเฉลี่ย	431.67	1.67

ตารางผลการทดสอบกังหันลมในอุโมงค์ลม กังหันลมแกนตั้งขนาด 3 ใน แบบใบเรียน ครั้งที่ 2

ความสูง ที่ แฉว	ความเร็วลมหน้ากังหันลม (m/s)							ความเร็วลมหลังกังหันลม (m/s)						
	1	2	3	4	5	6	7	1	2	3	4	5	6	7
1	4.9	4.6	4.4	4.2	4.4	4.2	4.5	3.1	3.5	1.4	2.9	1.9	2.2	2.4
2	4.6	3.3	3.7	3.3	3.6	4.5	3.5	3.3	2.9	2.3	1.2	1.3	1.8	2
3	5.2	5.1	4.3	4.4	3.9	4.2	3.7	3.1	3	0	0	0	1.1	2.3
4	5.5	4.5	4.8	3.5	4.2	3.9	4.3	3.2	3.3	0	0	1.5	2.4	2.5
5	5.4	5	5.1	4.7	3.8	4.2	3.6	3.3	3	0	2.2	1.4	2	2.9
6	3.8	5.3	5	3.8	4	3.9	4.1	3.4	3.1	2	1.9	1.7	1.5	2.6
7	3.5	4.2	4.3	4.2	3.5	3.3	3.2	2.6	2.2	2.4	2.2	2.4	2.7	2.2
ค่าเฉลี่ย	4.23							2.09						

ครั้งที่	ความเร็วรอบ (rpm)	แรงบิด (N)
1	450	1.7
2	419	1.8
3	414	1.7
ค่าเฉลี่ย	427.67	1.73

ตารางผลการทดสอบกังหันลมในอุโมงค์ลม กังหันลมแกนตั้งชนิด 3 ใน แบบใบเรียบครั้งที่ 3

ความสูง ที่ แฉว	ความเร็วลมหน้ากังหันลม (m/s)							ความเร็วลมหลังกังหันลม (m/s)						
	1	2	3	4	5	6	7	1	2	3	4	5	6	7
1	4.6	4.5	4.1	4.4	4.2	4.5	4.1	2.9	2.7	1.5	2.8	2.9	2.2	2.3
2	4	3.3	3.4	3.9	4.5	4.4	4.3	3	2.8	2.2	2	2.4	1.7	2
3	5.1	3	3	4.6	4.9	5.2	5.2	3.2	2.5	0	0	0	2	2.3
4	3.5	3.5	3.3	3.5	5.1	3.5	5	3.1	3	0	0	2.1	2.2	2.4
5	3.2	4	3.5	4.7	4.4	3.6	5.6	2.8	2.6	0	1.4	2	1.9	2.6
6	3.7	4.1	3.7	3.2	3.4	3.3	5.3	3.9	3.2	1.9	1.7	1.4	2.2	2
7	3.9	4.8	4.5	4.9	4.6	4.4	5.1	2.4	2.5	1.6	2.2	2.8	2.9	2.8
ค่าเฉลี่ย	4.17							2.10						

ครั้งที่	ความเร็วรอบ (rpm)	แรงบิด (N)
1	457	1.6
2	401	1.8
3	433	1.7
ค่าเฉลี่ย	430.33	1.70

ตารางผลการทดสอบกังหันลมในอุโมงค์ลม กังหันลมแกนตั้งชนิด 3 ใน แบบใบโด้ครั้งที่ 1

ความสูง ที่ แล้ว	ความเร็วลมหน้ากังหันลม (m/s)							ความเร็วลมหลังกังหันลม (m/s)						
	1	2	3	4	5	6	7	1	2	3	4	5	6	7
1	4.7	5.2	4.9	5	5.5	5.1	5.4	2.2	2.3	2.1	2	2.3	2.2	2.1
2	5.2	5	3.5	5.3	5	5.3	4.9	2.3	1.9	1.6	1.8	1.5	1.9	1.4
3	4.9	5.3	5.2	5	4.9	5.1	5.3	2.6	1.7	1.5	0	0	0	2.2
4	5	5.1	3.9	4.7	5.6	5.2	5.1	2	1.8	1.7	0	0	0	2
5	3.9	4.7	3.8	4.9	5.8	4.9	4.8	2.2	2	0	1.2	0	1	1.7
6	3.6	4.9	4.7	5.1	5.2	5.5	4.9	2.7	2.6	2.3	1.8	2.1	1.9	2
7	4.5	5.5	5	4.8	4.7	3.9	3.8	2.1	2	1.9	2	2.1	1.7	2.1
ค่าเฉลี่ย	4.88							1.64						

ครั้งที่	ความเร็วรอบ (rpm)	แรงบิด (N)
1	445	6.3
2	454	6.2
3	456	6.3
ค่าเฉลี่ย	451.67	6.27

ตารางผลการทดสอบกังหันลมในอุโมงค์ลม กังหันลมแกนตั้งชนิด 3 ใน แบบใบโถง ครั้งที่ 2

ความสูง ที่ แมว	ความเร็วลมหน้ากังหันลม (m/s)							ความเร็วลมหลังกังหันลม (m/s)						
	1	2	3	4	5	6	7	1	2	3	4	5	6	7
1	4.6	5.3	5.1	5.2	5.7	5	5.4	1.8	1.5	2.1	1.5	2.3	1.7	2
2	5.3	5.1	3.6	5	4.7	5.5	4.8	1.7	2	1.2	1.4	2.4	1.9	1.3
3	4.8	5.4	5.4	5.1	4.9	5.1	5.3	1.8	1.8	1.3	2.1	0	0	2.2
4	4.9	5	4.1	5.2	5	4.9	4.7	1.3	1.4	1.9	0	0	0	1.5
5	4	4.9	3.9	5	4.8	5.7	5.4	1.6	2	0	1.3	0	1.1	2.1
6	3.5	4.8	4.6	5.2	5.1	5.4	4.7	1.9	2	1.9	2.2	2	1.9	1.8
7	4.6	5.6	5.2	4.9	4.6	4.2	3.9	1.5	1.7	1.9	1.7	1.6	2.4	1.9
ค่าเฉลี่ย	4.90							1.52						

ครั้งที่	ความเร็วรอบ (rpm)	แรงบิด (N)
1	458	6.3
2	459	6.3
3	458	6.2
ค่าเฉลี่ย	458.33	6.27

ตารางผลการทดสอบกังหันลมในอุโมงค์ลม กังหันลมแกนตั้งชั้นที่ 3 ใน แบบใบโถง ครั้งที่ 3

ความสูง ที่ แฉว	ความเร็วลมหน้ากังหันลม (m/s)							ความเร็วลมหลังกังหันลม (m/s)						
	1	2	3	4	5	6	7	1	2	3	4	5	6	7
1	4.9	5.7	4.8	5.3	5.1	5.5	4.7	2	1	2.1	1	1.7	1.4	1.9
2	5.1	5.3	5	5.1	5	5.1	4.5	1.5	1.9	1.1	2	1.1	1.3	2
3	5	5.5	5.2	5.5	5.3	5.5	5.3	1.7	1.1	1.8	0	0	0	2.2
4	4.9	5.2	5	3.7	5	5.1	4.8	2	2.1	0	0	0	1.1	2.3
5	4.7	5.1	5.2	5.5	4.9	4.8	5.2	2.2	1.8	0	0	1.1	1.6	1.9
6	3.9	5.4	4.9	5	5.3	5.1	4.5	1.9	1.2	1.7	1.4	2	1.5	1.8
7	5.5	5	4.7	4.9	5.6	5	5.7	2	1.8	1.5	1.9	2.4	1.3	2
ค่าเฉลี่ย	5.06							1.41						

ครั้งที่	ความเร็วรอบ (rpm)	แรงบิด (N)
1	457	6.3
2	455	6.3
3	459	6.2
ค่าเฉลี่ย	457	6.27

ตารางสรุปความเร็วลมหน้าใบพัดกังหัน-หลังใบพัด ความเร็วรอบและแรงบิดที่ได้จากการทดสอบของกังหันลมแกนตั้งทึ้ง 2 แบบ

สรุป ผลการทดสอบกังหันลมในอุโมงค์ลม กังหันลมแกนตั้งชนิด 3 ใบ แบบใบเรียบ

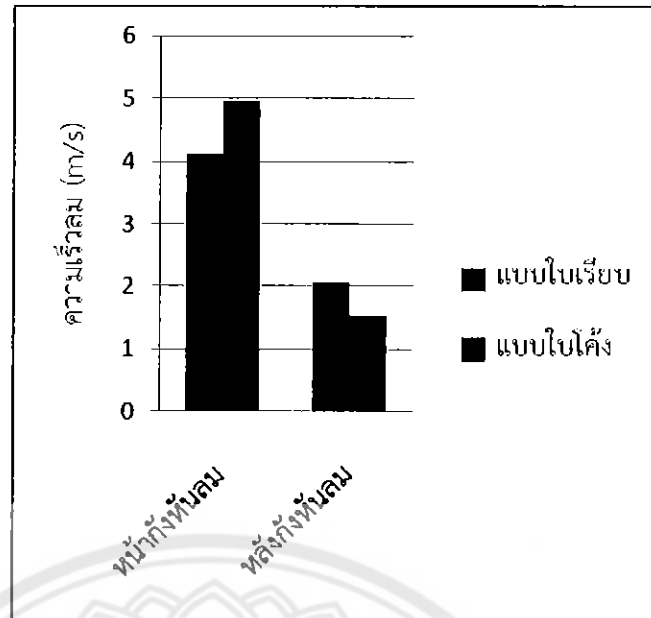
ความสูง ที่ แตก	ความเร็วลมหน้ากังหันลม (m/s)							ความเร็วลมหลังกังหันลม (m/s)						
	1	2	3	4	5	6	7	1	2	3	4	5	6	7
1	4.7	4.4	4.2	4.1	3.9	4	4	2.9	2.6	1.7	2.6	2.3	2.2	2.3
2	4.3	3.4	3.7	3.6	3.8	4.1	3.7	3.2	2.6	2.1	1.6	1.7	2	2
3	4.8	4.1	3.8	4.3	4	4.4	4.3	3.1	2.6	0	0	0	1.8	2.2
4	4.8	4.2	4.1	3.7	4.3	3.6	4.8	2.9	2.7	0	0	1.6	2.1	2.6
5	4.7	4.4	4.2	4.5	4.4	3.7	4.8	3.1	2.8	0	1.6	1.9	2.1	2.7
6	3.7	4.2	4	3.8	3.7	3.5	4.6	3.4	3	1.8	1.6	1.7	2.1	2.3
7	3.8	4.4	4.2	4.3	4.1	3.9	4	2.6	2.5	2.2	2.4	2.5	2.6	2.6
ค่าเฉลี่ย	4.12							2.06						

ครั้งที่	ความเร็วรอบ (rpm)	แรงบิด (N)
1	453	6.3
2	456	6.2
3	458	6.2
ค่าเฉลี่ย	455.67	6.23

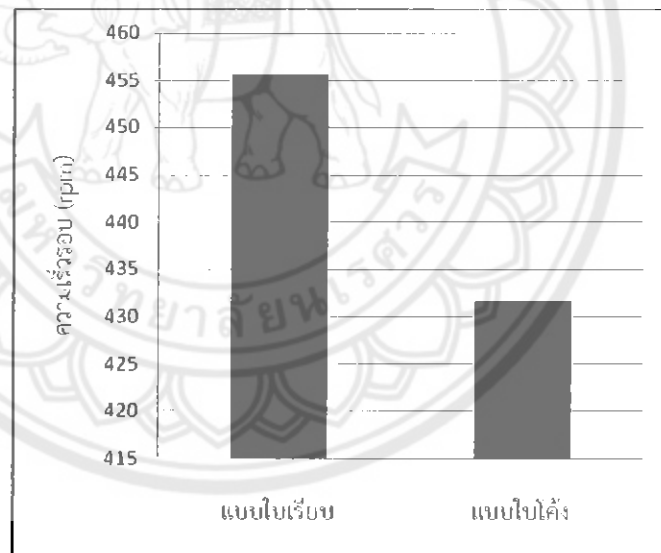
สรุป ผลการทดสอบกังหันลมในอุโมงค์ลม กังหันลมแกนตั้งชนิด 3 ใน แบบใบโถ้ง

ความสูง ที่ ແຄງ	ความเร็วลมหน้ากังหันลม (m/s)							ความเร็วลมหลังกังหันลม (m/s)						
	1	2	3	4	5	6	7	1	2	3	4	5	6	7
1	4.7	5.4	4.9	5.2	5.4	5.2	5.2	2	1.6	2.1	1.5	2.1	1.8	2
2	5.2	5.1	4	5.1	4.9	5.3	4.7	1.8	1.9	1.3	1.7	1.7	1.7	1.6
3	4.9	5.4	5.3	5.2	5	5.2	5.3	2	1.5	1.5	0.7	0	0	2.2
4	4.9	5.1	4.3	4.5	5.2	5.1	4.9	1.8	1.8	1.2	0	0	0.4	1.9
5	4.2	4.9	4.3	5.1	5.2	5.1	5.1	2	1.9	0	0.8	0.4	1.2	1.9
6	3.7	5	4.7	5.1	5.2	5.3	4.9	2.2	1.9	2	1.8	2	1.8	1.9
7	4.9	5.4	5	4.9	5	4.4	4.5	1.9	1.8	1.8	1.9	2	1.8	2
ค่าเฉลี่ย	4.95							1.53						

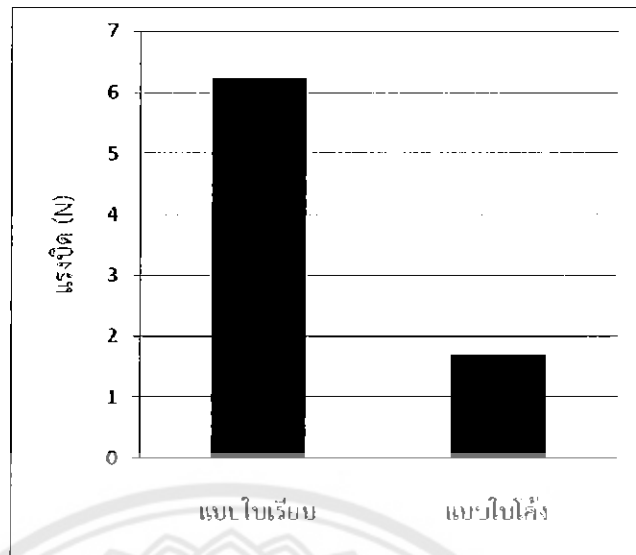
ครั้งที่	ความเร็วรอบ (rpm)	แรงบิด (N)
1	451	1.8
2	421	1.7
3	423	1.6
ค่าเฉลี่ย	431.67	1.7



รูปที่ ข12 กราฟแสดงการเปรียบเทียบความเร็วลมหน้ากังหันลมและความเร็วลมหลังกังหันลมของ กังหันลมแกนตั้งทั้ง 2 แบบ



รูปที่ ข13 กราฟแสดงการเปรียบเทียบความเร็วรอบของกังหันลมแกนตั้งทั้ง 2 แบบ



รูปที่ ข14 กราฟแสดงการเปรียบเทียบแรงบิดของกังหันลมแกนตั้งทั้ง 2 แบบ

สรุปและวิจารณ์ผลการทดลอง

จากการทดลองหาความเร็วลม ความเร็วรอบ และแรงบิด สรุปผลในการทดลองกังหันลม 2 แบบ ทั้ง 3 ครั้งได้ความเร็วลมเฉลี่ยหน้ากังหันลมแกนตั้งชนิด 3 ใน แบบใบเรียบ 4.12 เมตรต่อวินาที ความเร็วลมเฉลี่ยหลังกังหันลม 2.06 เมตรต่อวินาที กังหันลมแกนตั้งชนิด 3 ใน แบบใบโค้ง ความเร็วลมเฉลี่ยหน้ากังหันลม 4.95 เมตรต่อวินาที ความเร็วลมเฉลี่ยหลังกังหันลม 1.53 เมตรต่อวินาที ได้ความเร็วรอบเฉลี่ยของกังหันลมแกนตั้งชนิด 3 ใน แบบใบเรียบ 455.67 rpm ความเร็วรอบเฉลี่ยของกังหันลมแกนตั้งชนิด 3 ใน แบบใบโค้ง 431.67 rpm และได้แรงบิดเฉลี่ยของกังหันลมแกนตั้งชนิด 3 ใน แบบใบเรียบ 6.23 N และแรงบิดเฉลี่ยของกังหันลมแกนตั้งชนิด 3 ใน แบบใบโค้ง 1.7 N เมื่อเปรียบเทียบกัน ความเร็วลมหน้ากังหันลมแกนตั้งชนิด 3 ใน แบบใบโค้งจะมากกว่ากังหันลมแกนตั้งชนิด 3 ใน แบบใบเรียบ ความเร็วลมหลังกังหันลมแกนตั้งชนิด 3 ใน แบบใบเรียบจะมากกว่ากังหันลมแกนตั้งชนิด 3 ใน แบบใบโค้ง ความเร็วรอบของกังหันลมแกนตั้งชนิด 3 ใน แบบใบเรียบจะมากกว่ากังหันลมแกนตั้งชนิด 3 ใน แบบใบโค้ง และแรงบิดของกังหันลมแกนตั้งชนิด 3 ใน แบบใบโค้งจะมากกว่ากังหันลมแกนตั้งชนิด 3 ใน แบบใบเรียบ ซึ่งผลที่มาก น้อยกว่ากันทั้ง 2 แบบนี้ อาจ เพราะเกิดจากลักษณะใบพัดของกังหันลมทั้ง 2 แบบ ที่แตกต่างกัน การรับพลังงาน การถูกดูดซับพลังงานที่ต่างกัน ทำให้ค่าที่วัดได้ออกมาต่างกัน แต่เมื่อดูในภาพรวมแล้ว กังหันลมแกนตั้งชนิด 3 ใน แบบใบโค้งจะให้ประสิทธิภาพมากกว่ากังหันลมแกนตั้งชนิด 3 ใน แบบใบเรียบ เนื่องจากมีการหมุนเร็วทันที รอบรื่นกว่ากังหันลมแกนตั้งชนิด 3 ใน แบบใบเรียบ มีทิศทางของลมเข้าที่แน่นอนกว่าเพระไบมีลักษณะโค้ง ลมจะเข้าแล้วส่วนเป็นร่องความโค้งของใบแล้วหมุนไปในทิศทางเดียวได้อย่างราบรื่น ส่วนกังหันลมแกนตั้งชนิด 3 ใน แบบใบเรียบ ใบและมุมมีสัดส่วนที่เท่ากันหมด เมื่อมีลมเข้ามาจะทำให้การเริ่มหมุนลำบาก อาจมีการส่ายของใบสักพักก่อนที่จะหมุนไปในทิศทางเดียวได้อย่างราบรื่น ดังนั้น หากเทียบกันโดยรวมแล้วทั้งการหมุน การถูกดูดซับพลังงาน เมื่อนำไปคำนวณแล้วกังหันลมแกนตั้งชนิด 3 ใน แบบใบโค้งจะให้ประสิทธิภาพมากกว่ากังหันลมแกนตั้งชนิด 3 ใน แบบใบเรียบ



1. การคำนวณหาค่าประสิทธิภาพของกังหันลม (η_T) ของกังหันลมทั้ง 2 แบบ

จากค่าประสิทธิภาพของกังหัน (η_T) เท่ากับอัตราส่วนของกำลังลมที่กังหันลมสามารถดึงออกมากได้ (P_w) กับกำลังลมที่กังหันลมได้รับ (P_a)

$$\eta_T = \frac{P_w}{P_a}$$

จาก

$$\frac{1}{4} \rho A (v_1^2 - v_2^2) (v_1 + v_2)$$

เมื่อ ความหนาแน่นของอากาศ $\rho = 1.23 \text{ kg/m}^3$

ตารางความเร็วลมที่วัดได้จากหน้ากังหันลมและหลังกังหันลม

ชนิดกังหันลม	ความเร็วลมเฉลี่ย (m/s)	
	หน้ากังหันลม	หลังกังหันลม
ใบเรียบ	4.12	2.06
ใบโค้ง	4.95	1.53

1.1 กังหันลมแกนตั้งชนิด 3 ใบแบบใบเรียบ
พื้นที่รับลมของกังหันลม

$$A = DH = 0.30 \times 0.30 = 0.09 \text{ m}^2$$

$$\text{เมื่อ } P_a = \frac{1}{2} (1.23)(0.09)(4.12)^3 = 3.87 \text{ W}$$

$$P_w = \frac{1}{2} (1.23)(0.09)(4.12^2 - 2.06^2)(4.12 + 2.06) = 2.177 \text{ W}$$

ดังนั้นจะได้

$$\eta_T = \frac{P_w}{P_a} = \frac{2.177}{3.87} = 0.5625 = 56.25 \%$$

1.2 กังหันลมแกนตั้งชนิด 3 ใบแบบใบโค้ง

พื้นที่รับลมของกังหันลม

$$A = DH = 0.30 \times 0.30 = 0.09 \text{ m}^2$$

$$\text{เมื่อ } P_a = \frac{1}{2} (1.23)(0.09)(4.95)^3 = 6.71 \text{ W}$$

$$P_w = \frac{1}{2} (1.23)(0.09)(4.95^2 - 1.53^2) = 3.974 \text{ W}$$

ตั้งนี้จะได้

$$\eta_T = \frac{P_w}{P_a} = \frac{3.974}{6.71} = 0.59201 = 59.20\%$$

2. การคำนวณหาประสิทธิภาพเชิงกลของกังหันลมทั้ง 2 แบบ

จากค่าประสิทธิภาพเชิงกลของกังหันลม (η_M) เท่ากับอัตราส่วนของกำลังที่กังหันลมผลิตได้ (P_{out}) กับกำลังที่กังหันลมได้รับ (P_a)

$$\eta_M = \frac{P_{out}}{P_a}$$

จาก $P_a = \frac{1}{2} \rho A V_1^3$

$$P_{out} = T \cdot \omega$$

เมื่อ $T = F \cdot r$; แกนเพลาของกังหันลมมีขนาดเส้นผ่านศูนย์กลาง 10 mm

$$\omega = \frac{2\pi N}{60}$$

และ ความหนาแน่นของอากาศ $\rho = 1.23 \text{ kg/m}^3$

ตารางความเร็วลมเฉลี่ยหน้ากังหันลม ความเร็วรอบและแรงที่กังหันทำได้

ชนิดกังหันลม	ความเร็วลมเฉลี่ยหน้ากังหันลม (m/s)	ความเร็วรอบเฉลี่ย (rpm)	แรง (N)
ใบเรียบ	4.12	431.67	1.70
ใบโค้ง	4.95	455.67	6.23

2.1 กังหันลมแกนตั้งชนิด 3 ใบแบบใบเรียบ

พื้นที่รับลมของกังหันลม

$$A = DH = 0.30 \times 0.30 = 0.09 \text{ m}^2$$

เมื่อ $P_a = \frac{1}{2} (1.23)(0.09)(4.12)^3 = 3.87 \text{ W}$

และ $T = 1.70(0.005) = 0.0085 \text{ N.m}$

$$\omega = \frac{2\pi(431.67)}{60} = 45.20 \text{ rad/s}$$

จะได้ว่า $P_{out} = (0.0085)(45.20) = 0.38 \text{ W}$

ดังนั้นจะได้

$$\eta_M = \frac{0.38}{3.87} = 0.0982 = 9.82 \%$$

2.2 กังหันลมแกนตั้งชนิด 3 ในแบบใบโถ้ง

พื้นที่รับลมของกังหันลม

$$A = DH = 0.30 \times 0.30 = 0.09 \text{ m}^2$$

$$\text{เมื่อ } P_a = \frac{1}{2} (1.23)(0.09)(4.95)^3 = 6.71 \text{ W}$$

$$\text{และ } T = 6.23(0.005) = 0.0312 \text{ N.m}$$

$$\omega = \frac{2\pi(455.67)}{60} = 47.72 \text{ rad/s}$$

$$\text{จะได้ว่า } P_{out} = (0.0312)(47.72) = 1.49 \text{ W}$$

ดังนั้นจะได้

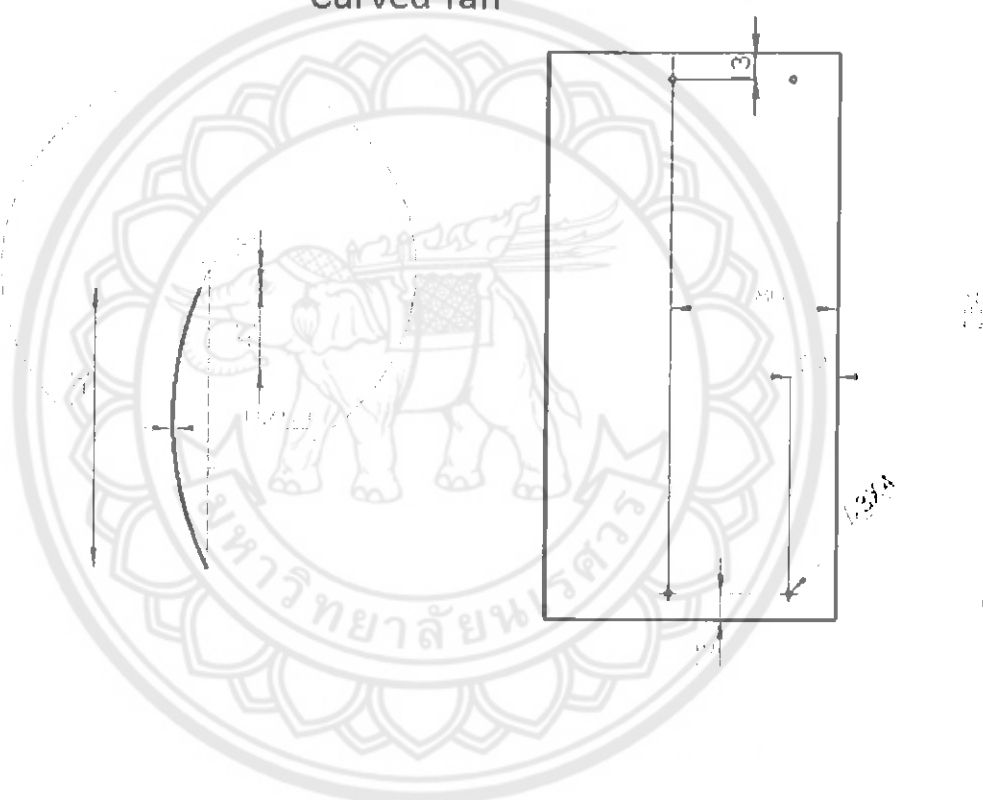
$$\eta_M = \frac{1.49}{6.71} = 0.2223 = 22.23 \%$$

สรุปผลการเปรียบเทียบ

จากการทดสอบเพื่อหาประสิทธิภาพ และประสิทธิภาพเชิงกลของกังหันลมแกนตั้งชนิด 3 ในแบบใบโถ้ง และกังหันลมแกนตั้งชนิด 3 ในแบบใบเรียน พบร่วมกันว่า การทดสอบภายใต้ช่วงความเร็วลม 3-5 เมตรต่อวินาที กังหันลมแกนตั้งชนิด 3 ในแบบใบโถ้ง มีประสิทธิภาพของกังหันลม 59.2 เปอร์เซ็นต์ และมีประสิทธิภาพเชิงกลของกังหันลม 22.23 เปอร์เซ็นต์ ส่วนกังหันลมแกนตั้งชนิด 3 ในแบบใบเรียน มีประสิทธิภาพของกังหันลม 56.25% และมีประสิทธิภาพเชิงกลของกังหันลม 9.82 เปอร์เซ็นต์ เนื่องจากการทดลองในอุโมงค์ลมขนาดเล็กทำให้ค่าประสิทธิภาพของกังหันคลาดเคลื่อนจากความเป็นจริง จึงทำการเปรียบเทียบเฉพาะค่าประสิทธิภาพเชิงกลเท่านั้น เมื่อเปรียบเทียบกังหันลมทั้ง 2 แบบแล้ว ลมแกนตั้งชนิด 3 ในแบบใบโถ้งมีประสิทธิภาพเชิงกลมากกว่า 12.41 เปอร์เซ็นต์

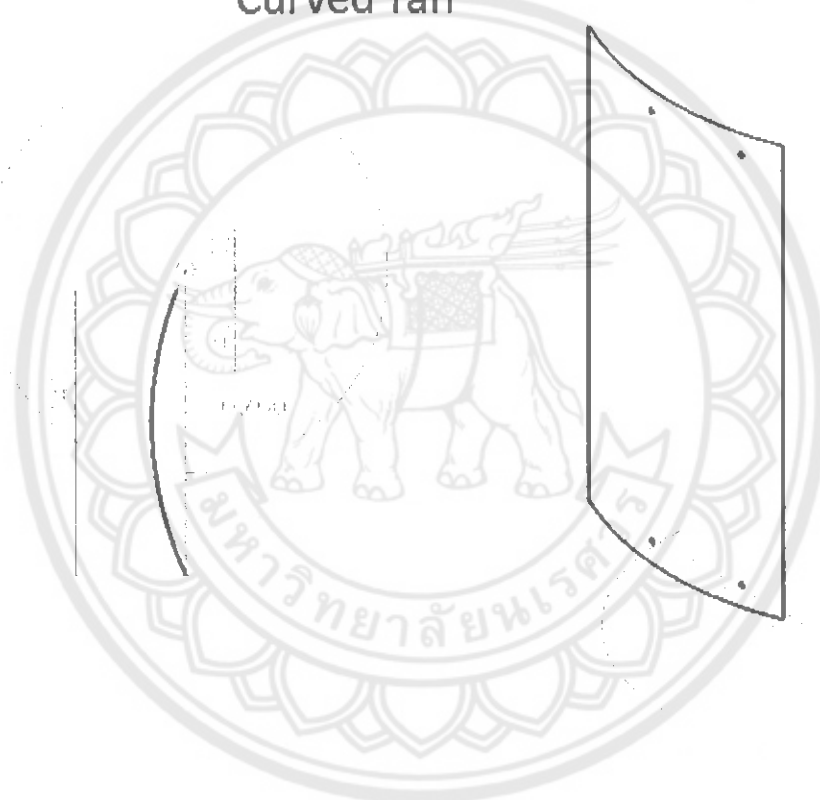


Curved fan



FACULTY OF ENGINEERING NARESUAN UNIVERSITY	Curved fan	PROJECT	SCALE: 1:2
		DATE : 28/03/2556	DNBY : Mechanical Project

Curved fan



FACULTY OF ENGINEERING
NARESUAN UNIVERSITY

Curved fan

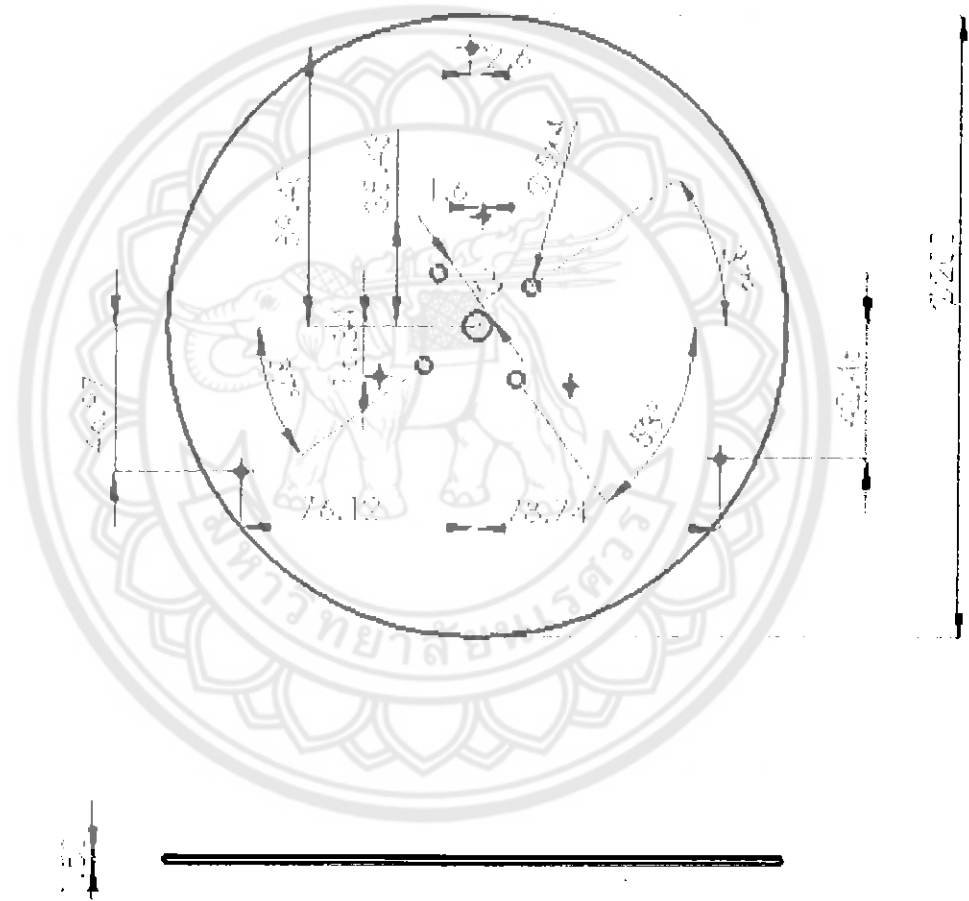
PROJECT

SCALE: 1:2

DATE : 28/03/2556

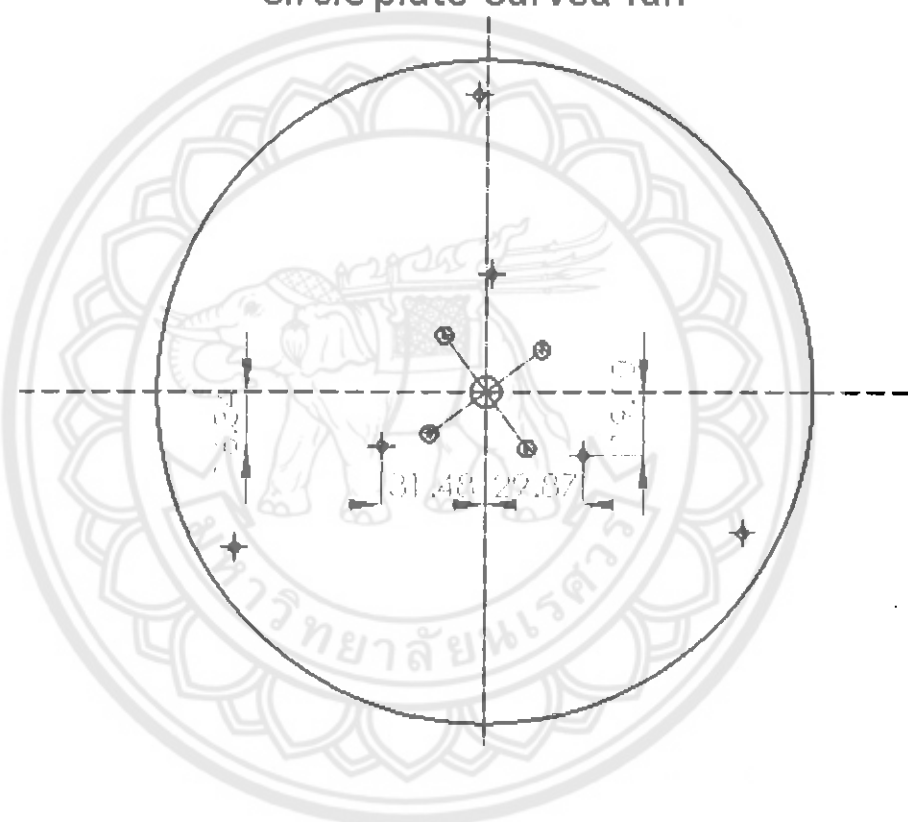
DNBY : Mechanical Project

Circle plate Curved fan



FACULTY OF ENGINEERING NARESUAN UNIVERSITY	Circle plate Curved fan	PROJECT DATE : 28/03/2556	SCALE: 1:2 DNBY : Mechanical Projet
---	-------------------------	---------------------------------	--

Circle plate Curved fan



FACULTY OF ENGINEERING
NARESUAN UNIVERSITY

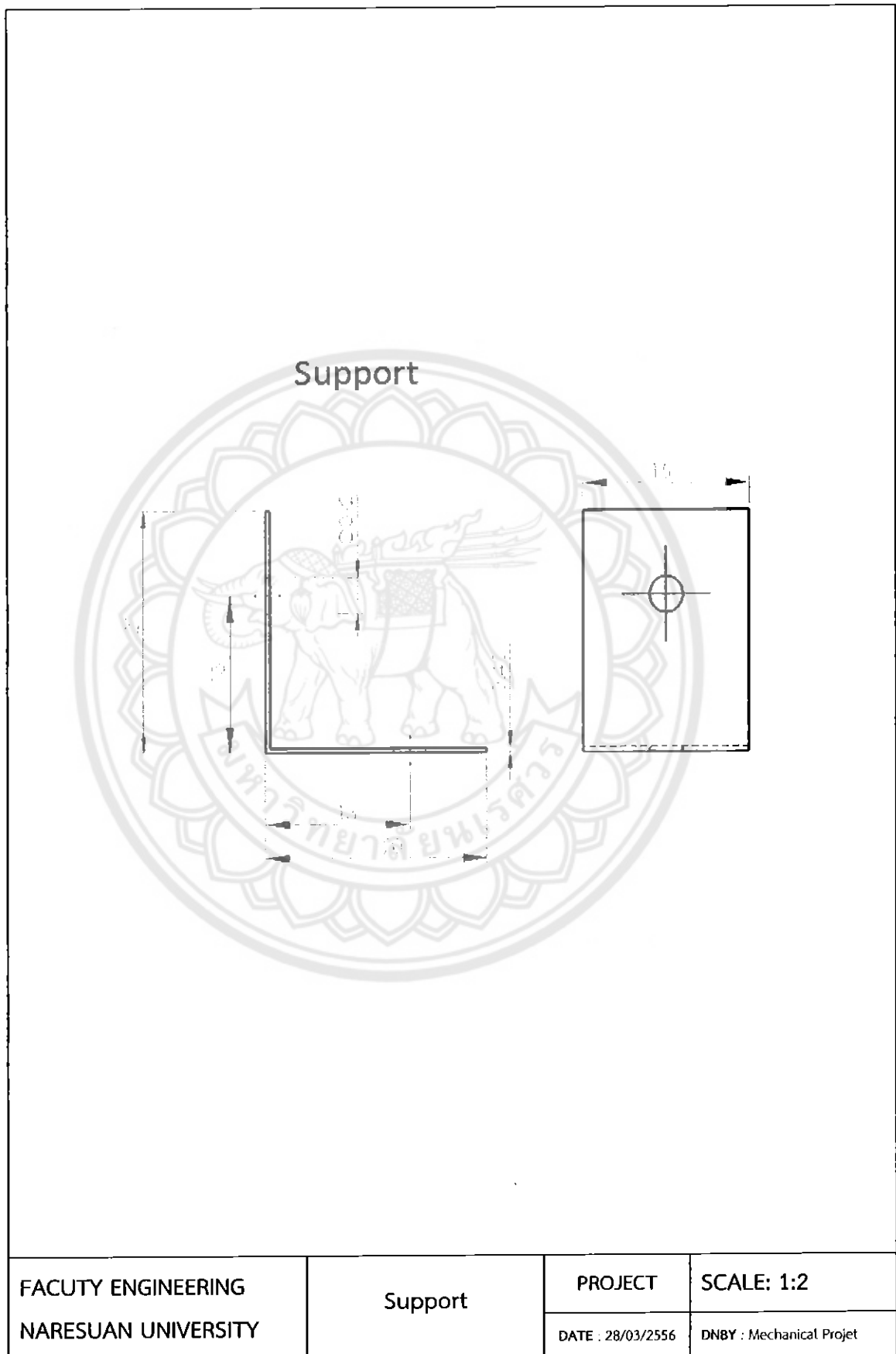
Circle plate Curved fan

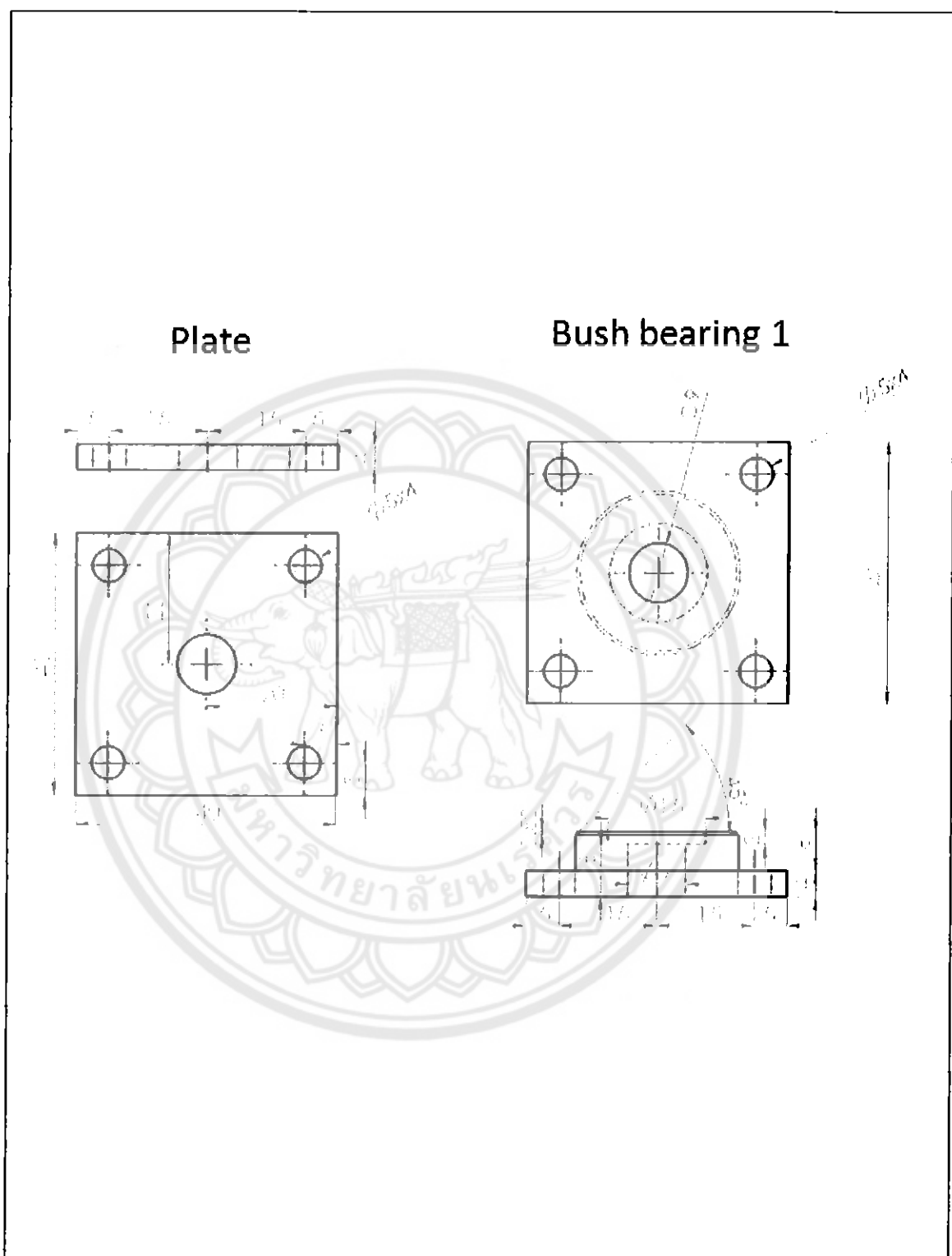
PROJECT

SCALE: 1:2

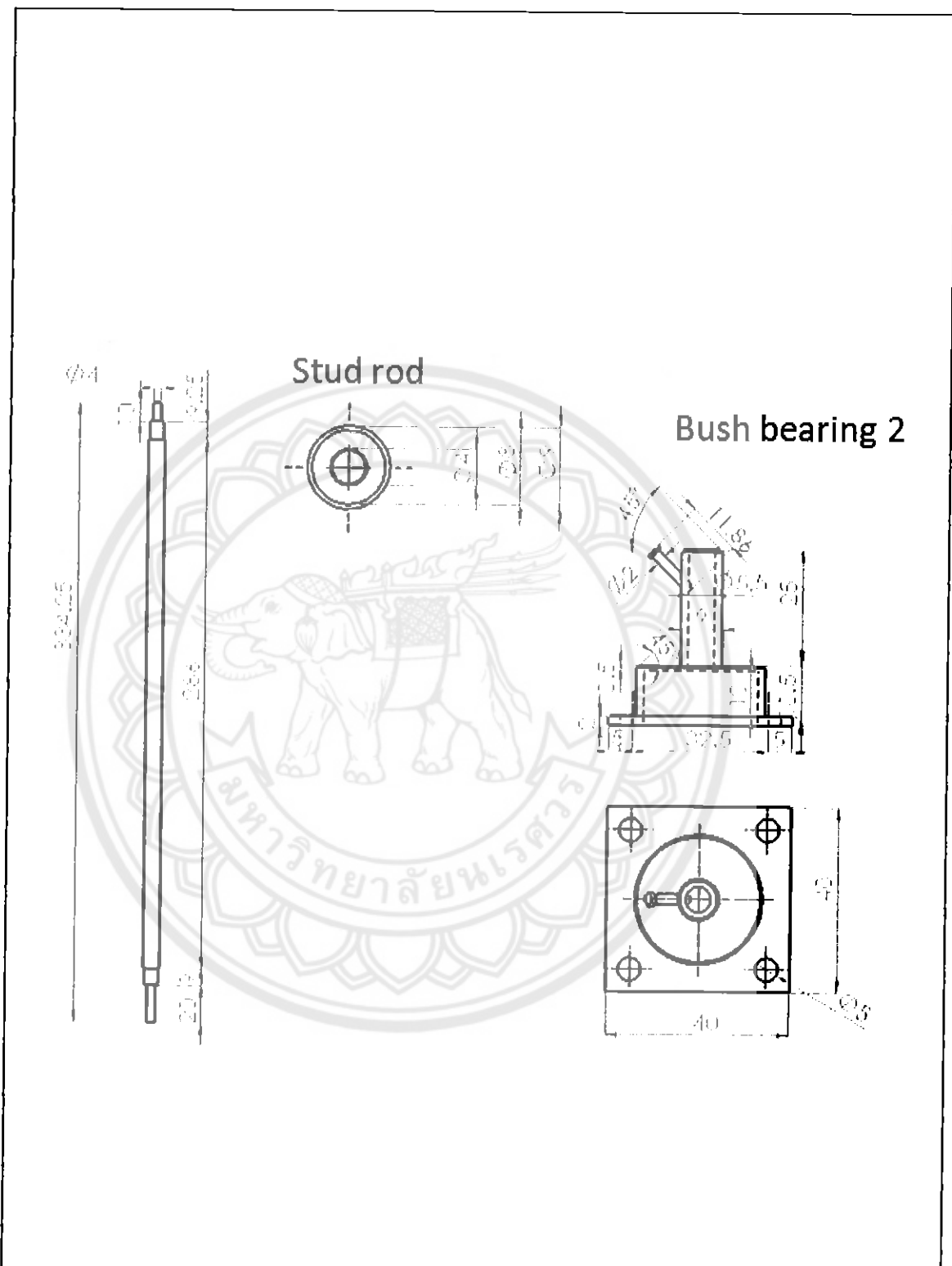
DATE :
28/03/2556

DNBY : Mechanical Projct



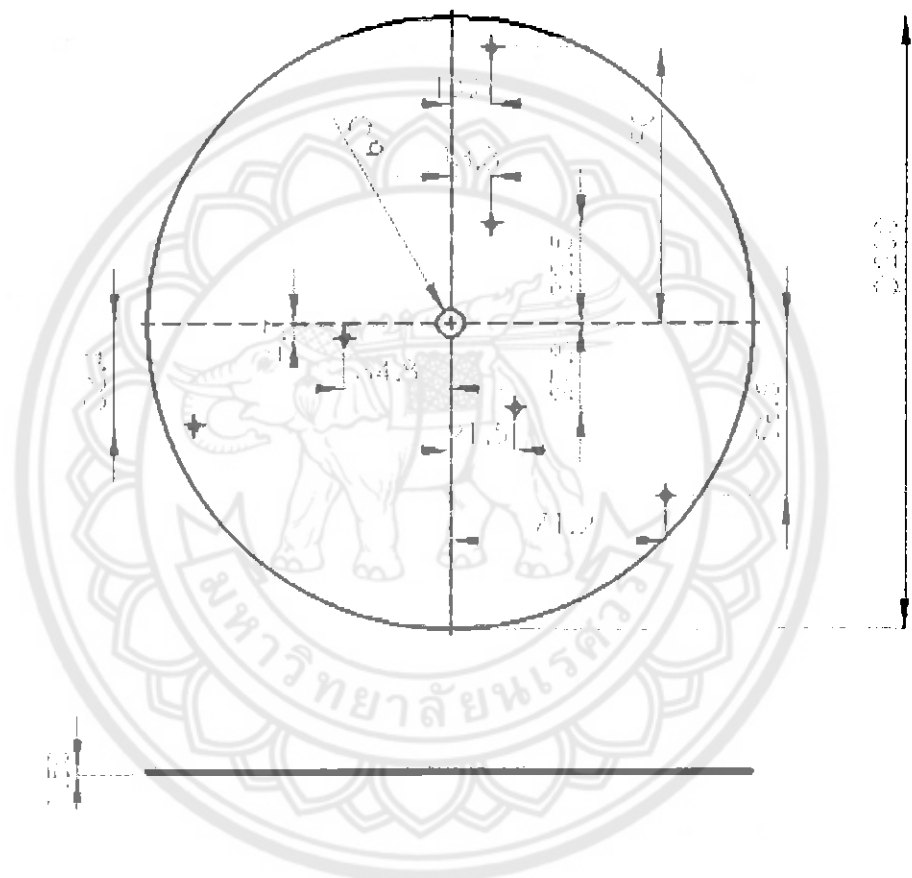


FACULTY OF ENGINEERING NARESUAN UNIVERSITY	Plate and Bush bearing 1	PROJECT	SCALE: 1:2
		DATE : 28/03/2556	DNBY : Mechanical Project

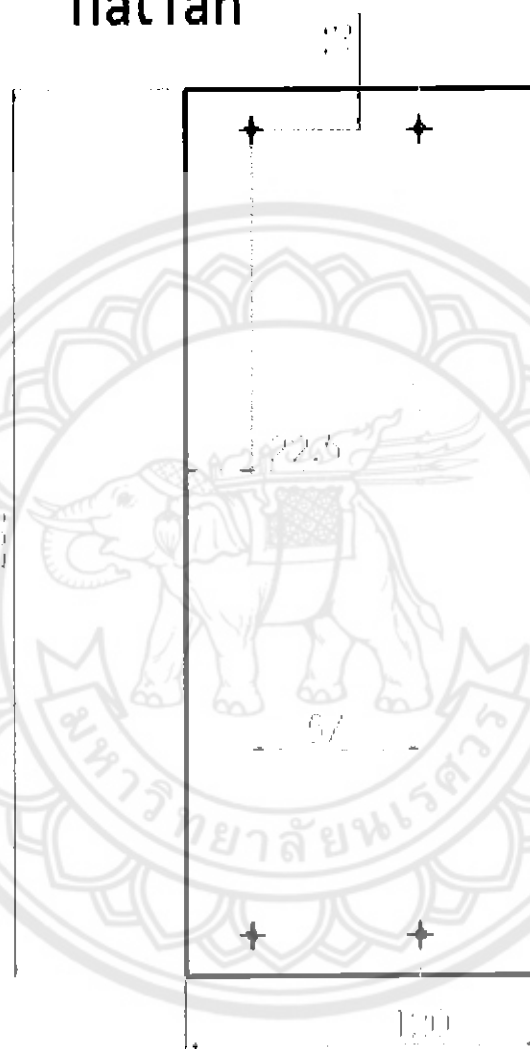


FACULTY OF ENGINEERING NARESUAN UNIVERSITY	Stud rod and Bush bearing 2	PROJECT DATE : 28/03/2556	SCALE: 1:2 DNBY : Mechanical Projet
---	-----------------------------	---------------------------------	---

Plate flat fan



FACUTY OF ENGINEERING NARESUAN UNIVERSITY	Plae flat fan	PROJECT	SCALE: 1:2
		DATE : 28/03/2556	DNBY : Mechanical Projct

flat fan

1200

570

1200

570

Flat fan

FACUTY OF ENGINEERING
NARESUAN UNIVERSITY

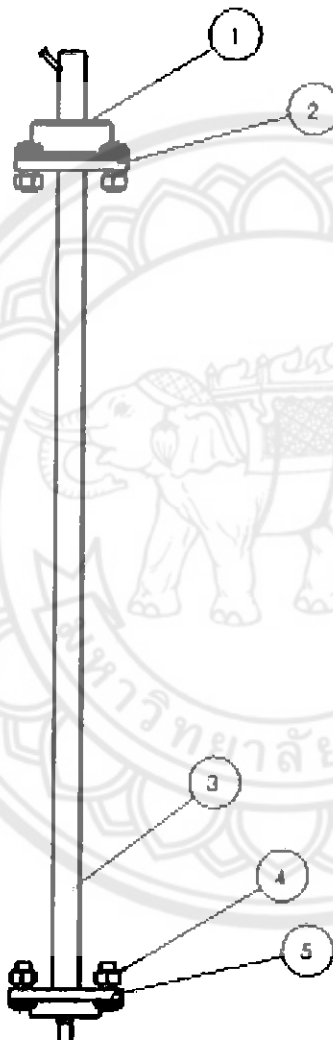
PROJECT

SCALE: 1:2

DATE : 28/03/2556

DNBY : Mechanical Projct

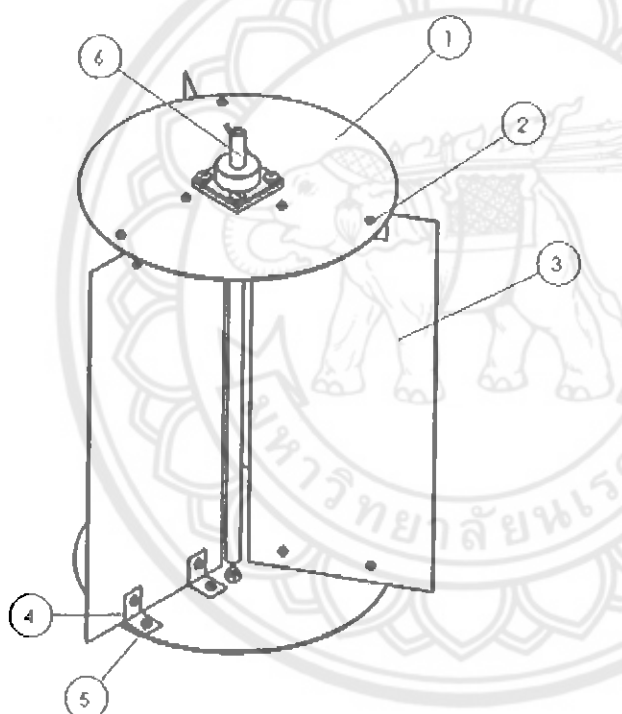
Stud rod set



1	Bush bearing 2
2	Plate
3	Stud
4	Bolt & Nutt M5
5	Bush bearing 1

FACULTY OF ENGINEERING NARESUAN UNIVERSITY	Stud rod set	PROJECT	SCALE: 1:2
		DATE : 28/03/2556	DNBY : Mechanical Projct

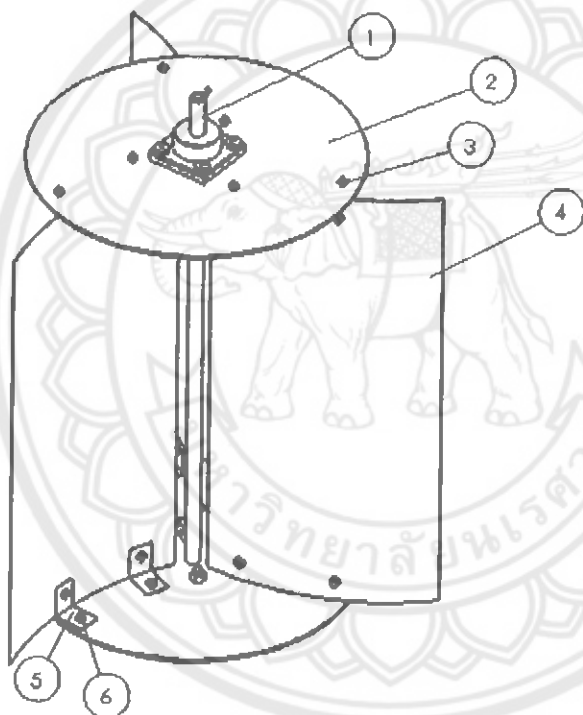
Assembly flat fan



1	Plate flat fan.
2	Bolt & Nutt M3
3	flat fan
4	Support
5	Bolt & Nutt M3
6	Stud rod set

FACUTYOFENGINEERING NARESUANUNIVERSITY	Assembly flat fan	PROJECT	SCALE: 1:2
		DATE : 28/03/2556	DNBY : Mechanical Projct

Assembly curved fan



1	Stud rod set
2	plate Curved fan
3	Bolt & Nutt M3
4	Curved fan
5	Support
6	Bolt & Nutt M3

FACULTY OF ENGINEERING NARESUAN UNIVERSITY	Assembly curved fan	PROJECT DATE : 28/03/2556	SCALE: 1:2 DNBY : Mechanical Projct
---	---------------------	------------------------------	--